

Tema :
Protección de Transformadores

Protección de transformadores

Deben considerar...

- Protección contra perturbaciones de origen externo
 - *Sobretensiones de origen atmosférico (Rayos).*
 - *Desconexiones extemporáneas.*
 - *Cortocircuitos de origen diverso.*
 - *Sobrecargas.*

(Detectan anomalía externa y tratan de evitar que afecte al transformador).

- Protección contra defectos internos.
 - *Dieléctricos.*
 - *Eléctricos.*
 - *Electrodinámicos.*
 - *Térmicos.*
 - *Mecánicos.*

(Ante una anomalía tratan de minimizar daño)

- Detección de defectos incipientes
 - *Contactos defectuosos*
 - *Puntos flotantes*

(Detectar defecto incipiente para evitar su evolución)

CAUSAS DE LAS FALLAS

➤ PERFORACIÓN DE LA AISLACIÓN

La perforación de la aislación entre arrollamientos o entre arrollamiento y núcleo puede ser causada por:

- Envejecimiento de la aislación debido a al exceso de temperatura durante tiempos prolongados
- Aceite contaminado
- Descargas por efecto corona en la aislación
- Sobretensiones transitorias producidas por tormentas o maniobras en la red
- Esfuerzos en los arrollamientos debido a fallas externas con altas corrientes.

ENVEJECIMIENTO DE LA AISLACIÓN

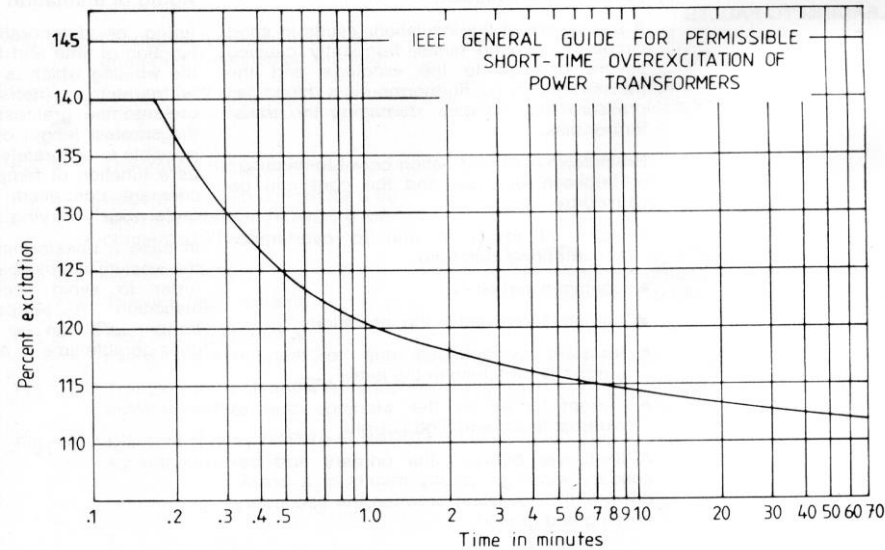
- El envejecimiento o deterioro de la aislación es una función del tiempo y la temperatura.
- No es posible predecir en forma precisa el tiempo de vida como una función de la temperatura y tiempo
- Una medida posible es mejorar el sistema de enfriamiento o reducir la carga para evitar un envejecimiento acelerado de la aislación.

SOBRECALENTAMIENTO DEBIDO A LA SOBREEXCITACIÓN

- De acuerdo a la norma IEC 76-1, los transformadores deben ser capaces de suministrar la corriente nominal para una tensión aplicada igual al 105% de la tensión nominal.
- Cuando un transformador se opera a tensiones muy elevadas o a frecuencias anormalmente bajas, su núcleo se sobreexcita.

Debe ser desconectado si la tensión es muy elevada o la frecuencia es demasiado baja.

Guía general de la IEEE para sobreexcitaciones admisibles los transformadores pueden resistir sobreexcitaciones solo por tiempos reducidos.



Sobreexcitación permisible de corto tiempo

- Las unidades transformador-generador normalmente están expuestas a condiciones de sobretensiones y subfrecuencias. Deben estar provistos luego con un relé de sobreexcitación que actúe cuando la relación entre la tensión y la frecuencia (V/Hz) se torna elevada.

CONTAMINACIÓN DEL ACEITE Y DISPERSIÓN

- Aceite: medio de aislación eléctrica y también de medio de refrigeración.
- El aceite debe cumplir con los requerimientos de la norma IEC 296.
- El testeado de la capacidad dieléctrica del aceite se realiza normalmente in-situ para obtener rápidamente un chequeo de la pureza del aceite.
- El nivel de aceite debe monitorearse; puede ocurrir una perforación de la aislación si el nivel es muy bajo.

ENFRIAMIENTO REDUCIDO

- Los sistemas de enfriamiento forzado deben estar supervisados, y debe activarse una alarma si el sistema de refrigeración se para.
- La temperatura del aceite puede ser medida en forma constante y puede tomarse acciones antes que el transformador se recaliente.

TIPOS DE FALLA Y REGÍMENES ANORMALES

Se pueden dividir en dos clases: fallas externas y fallas internas.

Tabla 1
Modelo funcional del Transformador [7,8]

Componente del Sistema	Defecto Posible	Falla y modo de Falla
<p>Sistema Dieléctrico</p> <p>Aislamiento Mayor Aislamiento Menor Aislamiento de cables Pantallas electrostáticas</p>	<p>Envejecimiento anormal del aceite Envejecimiento anormal del papel Descargas Parciales Contenido excesivo de Agua Contaminación del aceite Contaminación de la superficie</p>	<p>Arqueo debido a:</p> <p>Envejecimiento Excesivo papel Descargas Parciales Destructivas Descargas Progresivas Descargas localizadas en superficies</p>
<p>Sistema Mecánico</p> <p>Soportes Devanados Soporte de terminales</p>	<p>Perdida de sujeción en devanados Perdida de devanado</p>	<p>Falla del aislamiento solido debido a:</p> <p>Falla de soporte de conductores Desplazamiento de devanado (radial, axial, helicoidal)</p>
<p>Circuito Electromagnético</p> <p>Núcleo Devanados Aislamiento de la estructura Sujeción de la estructura Escudos Estáticos Circuito de aterrizamiento</p>	<p>Circulación de Corrientes Dispersión de Flujo Envejecimiento de laminaciones Perdida de sujeción del núcleo Potencial Flotante Corto circuito (circuito abierto) en el circuito de puesta a tierra</p>	<p>Producción excesiva de gases debido a:</p> <p>Sobrecalentamiento General Sobrecalentamiento localizado Arqueo / Descargas de baja energía Corto-circuitos entre espiras</p>
<p>Circuito de corriente</p> <p>Terminales Conductores de devanados</p>	<p>Malas uniones Falsos contactos Contactos deteriorados</p>	<p>Corto-circuito debido a:</p> <p>Sobrecalentamiento localizado</p>

➤ **Fallas externas**

Ocurren fuera del transformador.

Estas fallas incluyen:

- **Sobrecargas:**

- causan un recalentamiento del trafo, pudiendo provocar daños en forma permanente. La constante de tiempo de sobrecalentamiento es sin embargo larga, y puede tomar horas de exposición hasta que la condición se torna de seriedad.
- Una causa de sobrecarga puede ser la desigual distribución de cargas de transformadores en paralelo.

- **Sobretensión:**

- Transitorios electromagnéticos (factores climáticos). causan solicitaciones en los finales de espiras y con esto probables perforaciones. Dispositivos de descarga que están diseñados para tal propósito.
- Transitorios debido a desbalances de potencias-frecuencia (maniobras).

- Condiciones de operación en emergencia, tal como pérdida repentina de carga en una porción del sistema que causa la elevación de la tensión (causa sobreflujo en el transformador, incrementa las pérdidas en el hierro, resulta en un rápido recalentamiento del circuito de hierro del trafo, daños de la aislación de la laminación del hierro y aún de la aislación de los arrollamientos.
- **Sub-frecuencia:**
 - es provocada también por grandes perturbaciones del sistema que causan desbalances entre la generación y la carga.
 - La condición es similar a la sobretensión en que se incrementa la corriente de excitación a frecuencias bajas.
 - Usualmente la relación de tensión/frecuencia no se permite que supere 1.1 pu., el cual se denomina volt/hertz límite.
- **Cortocircuitos en el sistema externo:**
 - Fallas del sistema que son externas a la zona de protección del trafo.
 - Las elevadas corrientes de fallas externas causan también elevadas sollicitaciones en los arrollamientos, con su máximo en el primer ciclo. Este corto tiempo hace casi imposible proteger al trafo contra tal sollicitación.
 - La estrategia de protección para tales eventos es, por lo tanto, materia de diseño del transformador.

➤ **Fallas internas**

- Son fallas que ocurren dentro de la zona de protección del trafo. Incluye fallas externas que ocurren dentro de la zona que cubren los TI's.
- En general se dividen en dos grupos: fallas incipientes y fallas activas.

Fallas incipientes: se desarrollan en forma lenta, pero que pueden evolucionar en fallas más serias si no se detecta la causa y se corrige. Pueden ser, sobrecalentamiento, sobre-flujo o sobre-presión.

- **Sobrecalentamiento**: debido a diversas condiciones como:
 - ✓ Conexión interna pobre ya sea en los circuitos eléctricos o magnéticos
 - ✓ Pérdida de refrigerante.
 - ✓ Bloqueo del flujo de refrigerante.
 - ✓ Pérdida de ventiladores o bombas de enfriamiento.
- **Sobre-flujo**: ya se discutió anteriormente.

- **Sobre-presión:** La sobrepresión en el tanque del trafo ocurre debido a la liberación de gases o productos que acompañan al calentamiento localizado debido a cualquier causa.
 - ✓ falla entre espiras puede producirse en forma lenta, liberando gases en el proceso, o calentamiento local que puede originar gases, provocando un aumento de presión, el cual puede desarrollarse repentinamente o lentamente durante un largo período de tiempo.

Fallas activas: Son fallas que ocurren en forma repentina y que requieren normalmente una rápida acción del sistema de protección para desconectar el transformador del sistema de potencia y limitar su deterioro.

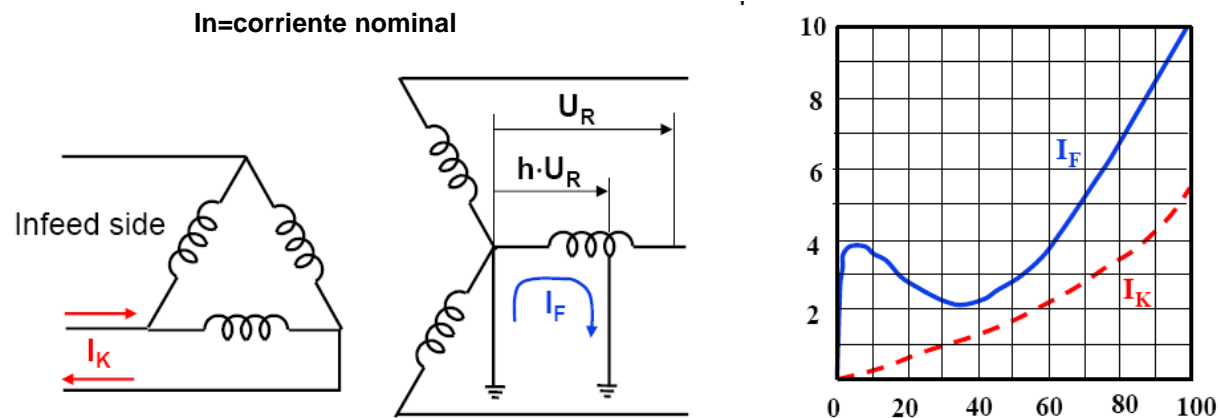
- Cortocircuitos en arrollamientos conectados estrella-triángulo, ya sea, puesta a tierra con impedancia, puesta a tierra directa o aislado
- Cortocircuitos en arrollamientos conectados en triángulo.
- Cortocircuitos fase-fase
- Cortocircuitos entre espiras
- Fallas del núcleo
- Fallas del tanque.

Tabla 1
Modelo funcional del Transformador [7,8]

Componente del Sistema	Defecto Posible	Falla y modo de Falla
Sistema Dieléctrico Aislamiento Mayor Aislamiento Menor Aislamiento de cables Pantallas electrostáticas	Envejecimiento anormal del aceite Envejecimiento anormal del papel Descargas Parciales Contenido excesivo de Agua Contaminación del aceite Contaminación de la superficie	Arqueo debido a: Envejecimiento Excesivo papel Descargas Parciales Destructivas Descargas Progresivas Descargas localizadas en superficies
Sistema Mecánico Soportes Devanados Soporte de terminales	Perdida de sujeción en devanados Perdida de devanado	Falla del aislamiento solido debido a: Falla de soporte de conductores Desplazamiento de devanado (radial, axial, helicoidal)
Circuito Electromagnético Núcleo Devanados Aislamiento de la estructura Sujeción de la estructura Escudos Estáticos Circuito de aterrizamiento	Circulación de Corrientes Dispersión de Flujo Envejecimiento de laminaciones Perdida de sujeción del núcleo Potencial Flotante Corto circuito (circuito abierto) en el circuito de puesta a tierra	Producción excesiva de gases debido a: Sobrecalentamiento General Sobrecalentamiento localizado Arqueo / Descargas de baja energía Corto-circuitos entre espiras
Circuito de corriente Terminales Conductores de devanados	Malas uniones Falsos contactos Contactos deteriorados	Corto-circuito debido a: Sobrecalentamiento localizado

FALLAS A TIERRA EN UN ARROLLAMIENTO SECUNDARIO CONECTADO EN ESTRELLA A TIERRA SIN RESISTENCIA DE PUESTA A TIERRA

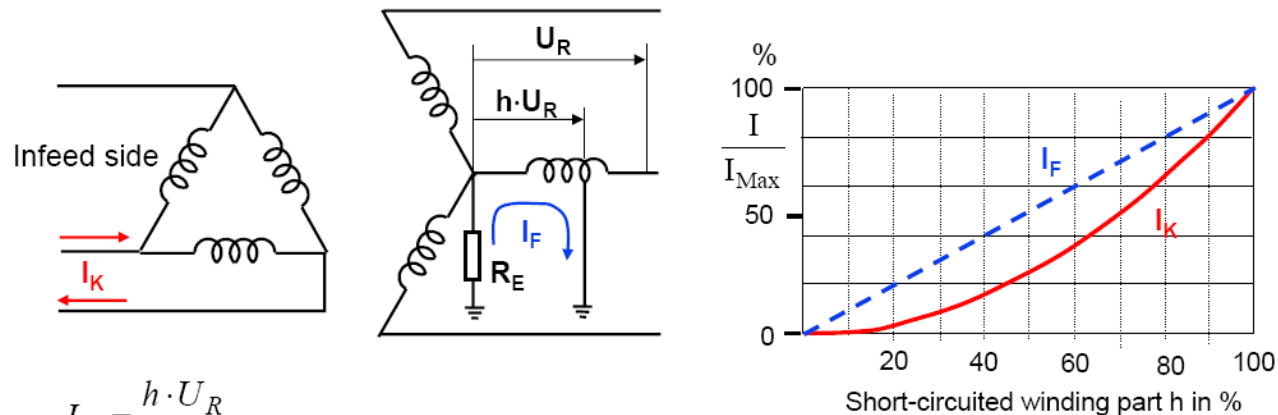
- La magnitud de la corriente de falla está determinada por la reactancia y la tensión entre el punto de falla y tierra.
- La reactancia decrece rápidamente para fallas aproximándose al neutro.
- Corriente de falla mayor para una falla cerca del neutro que para una falla a la mitad del arrollamiento.



- Corriente del primario, para una falla a tierra entre 0-40% desde el neutro es menor a $1.5 \times I_n$. Un relé de sobrecorriente del lado primario no puede detectar fallas a tierra.

FALLAS A TIERRA EN UN ARROLLAMIENTO SECUNDARIO CONECTADO EN ESTRELLA A TIERRA A TRAVÉS DE UNA ALTA IMPEDANCIA DE PUESTA A TIERRA

- La corriente de falla está determinada aquí por la impedancia de puesta a tierra y la ubicación de la falla. La corriente del primario es aproximadamente proporcional al cuadrado de la fracción cortocircuitada del arrollamiento.



$$I_F = \frac{h \cdot U_R}{R_E}$$

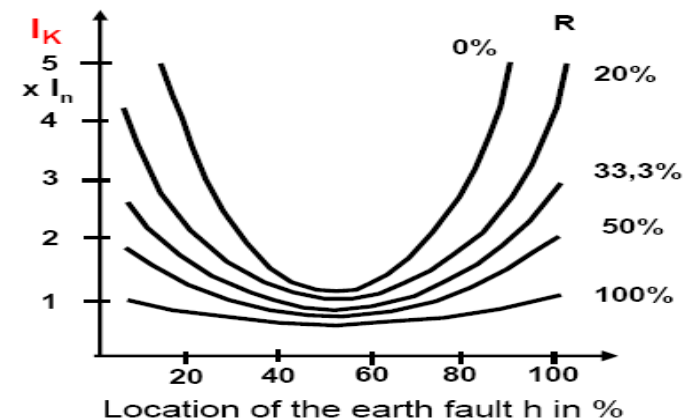
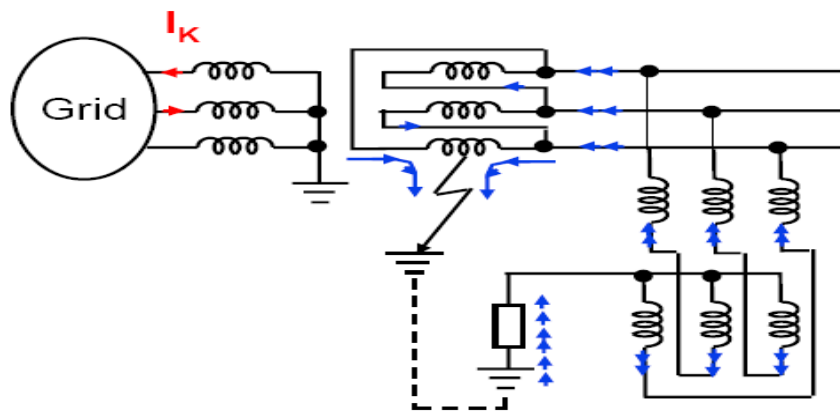
$$I_K = \frac{h \cdot w_2}{w_1} \cdot I_F = h \cdot \frac{U_{2n}}{U_{1n} \cdot \sqrt{3}} \cdot I_F$$

$$I_K = h^2 \cdot \frac{1}{\sqrt{3}} \cdot \frac{U_{2n}}{U_{1n}} \cdot \frac{U_R}{R_E}$$

Corriente de falla a tierra en un arrollamiento en estrella puesto a tierra a través de una impedancia alta

FALLAS A TIERRA EN UN ARROLLAMIENTO CONECTADO EN TRIÁNGULO

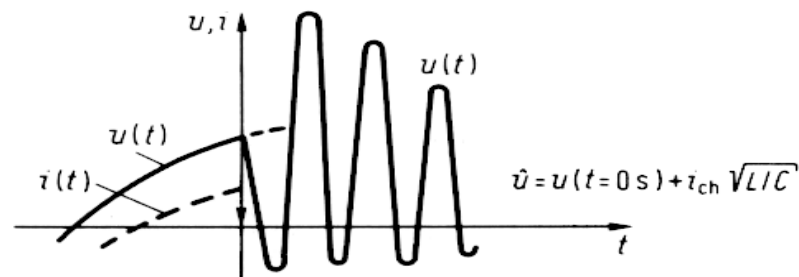
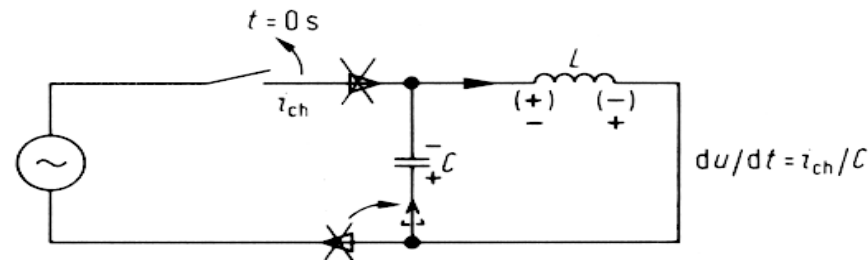
- La magnitud de la corriente de falla a tierra depende del sistema de puesta a tierra del sistema.
- La impedancia de falla de un arrollamiento conectado en triángulo es máxima para fallas en el punto medio del arrollamiento y puede llegar a ser entre 25% a 50%.
- Las corrientes de falla pueden ser, por lo tanto, iguales o menores que la corriente nominal cuando la impedancia de fuente no es despreciable.



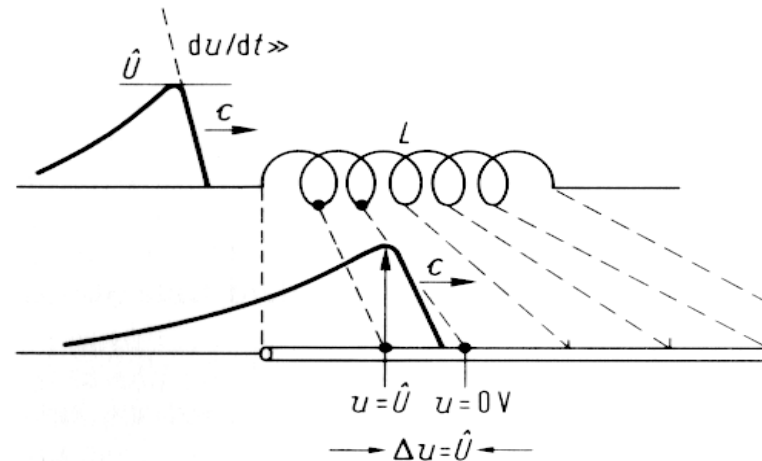
- Para fallas cerca del final de un arrollamiento, la corriente de falla alcanza el valor de la corriente de falla para una falla monofásica.

FALLAS ENTRE ESPIRAS

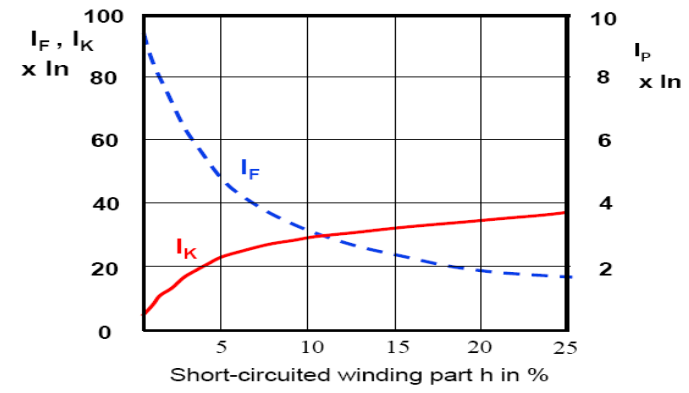
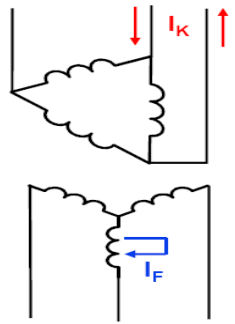
- Contacto metálico directo o descarga entre conductores dentro del mismo arrollamiento físico.
- Las fuerzas dinámicas por fallas en el sistema, pueden deteriorar la aislación y provocar una falla entre espiras (transformadores relativamente pequeños y viejos).
- Las espiras de entrada son a menudo expuestas a sobretensiones de alta velocidad de cambio: picos inductivos de sobretensión en el caso de desconexión de cargas inductivas de un trafo en vacío.



- Sobretensiones con una gran pendiente de cambio o frente de onda muy escarpado (sobretensiones atmosféricas y algunas sobretensiones de maniobra).



- Diferencia tensión longitudinal elevada y desigual a lo largo del arrollamiento que solicita fuertemente la aislación entre conductores vecinos (entre el 70% y el 80% de todas las fallas son contactos entre espiras).
- La falla puede producirse también a causa de descargas por efecto corona. La espira en cortocircuito actúa como un anillo en cortocircuito y conduce, debido a al acoplamiento de transformación entre el resto del arrollamiento y la parte den cortocircuito, a corrientes de fallas extremadamente altas. Las fuerzas resultantes pueden arrancar o aplastar el anillo.



- Las fallas entre espiras que abarcan pocas espiras son dificultosas para detectar por medio de relés de corriente, dado que las corrientes en los terminales se incrementa muy poco (la corriente de falla es igual a la corriente nominal cuando se cortocircuitan del 2% al 4% de las espiras).
- La corriente en las espiras cortocircuitadas puede llegar a 50-100 veces la corriente nominal. Eso significa recalentamiento local, presencia de arco, descomposición del aceite y liberación de gas.

FALLAS FASE-FASE

- Cortocircuitos entre fases dan lugar a corrientes elevadas, limitadas solamente por la impedancia de fuente y la impedancia de dispersión del transformador.

FALLAS EN EL NÚCLEO

- Las laminaciones del núcleo del trafo se aíslan para evitar la circulación de corrientes de Eddy, cruzando el entre-hierro entre láminas adyacentes.
- Se aíslan las sujeciones que mantienen las láminas juntas para no permitir que las mismas causen un cortocircuito magnético a lo largo de la laminación.

- Cualquier sobre-calentamiento o sobre-flujo del transformador implica la posibilidad de causar un corto magnético (paso de corrientes de Eddy incrementarán gradualmente las pérdidas en el núcleo causando sobre-calentamientos localizados).
- Esta condición no afecta mayormente a las corrientes en terminales del trafo, haciéndola difícil de detectar (normalmente por relés de gases, daño importante para acompañado por emisión de gases e incremento de la presión del tanque por arriba del nivel del aceite).

FALLAS DEL TANQUE

- En transformadores inmersos en aceite, el refrigerante primario es el flujo de aceite alrededor del núcleo y bobinas del trafo.
- Ante pérdida de aceite, sobrecalentamiento y reducción del material aislante (efecto similar por el bloqueo de la circulación del refrigerante).
- Algunos trafos son refrigerados también por ventiladores externos cuyo aire enfría al aceite circulante. Fallas de tales ventiladores también pueden causar exceso de calentamiento.

DESCARGAS EN LOS BUSHING

- Las descargas en los bushings pueden ser del tipo atmosférico u otros fenómenos de descarga, que resulte en un camino de cortocircuito hacia el tanque que está puesto a tierra.
- Tales fallas, o fallas en conexiones externas del trafo, son detectadas por algunos, sino todos, tipos de esquemas de protección del trafo.

➤ SISTEMAS DE PROTECCIÓN

- La filosofía básica de los dispositivos de protección es diferente para fallas incipientes que para fallas activas.
- Objetivos de la protección:
 - ✓ **Protección contra fallas activas:** aislación rápida del trafo fallado, así minimizar el efecto de la perturbación y también, minimizar el daño en el transformador (reparaciones largas y caras, peligro para el personal).

- ✓ **Protección contra fallas incipientes:** No requieren una rápida detección y aislación (se desarrollan en forma lenta, tiempo para la observación cuidadosa y testeo. Muchas veces estas fallas no son detectadas por los relés dedicados a las fallas activas. Esto sugiere un equipo de protección suplementario dedicado a tal fin.

- ✓ Se utiliza normalmente relés de protección rápidos y confiables. Se recomienda que la protección provoque el disparo instantáneo de todos los interruptores del transformador en caso de falla interna (protección primaria), y que también desconecte el transformador en caso de cortocircuito externo, a modo de respaldo.

- ✓ Generalmente los transformadores con depósito de aceite están equipados de la siguiente manera:
 - Transformadores con potencia nominal mayor a 5 MVA:
 - Relé detector de gas (Relé Buchholz, ver más adelante)
 - Protección contra sobrecargas (relé térmicos o sistemas de monitoreo de la temperatura)
 - Protección de sobrecorriente
 - Protección contra fallas a tierra
 - Protección diferencial (protección principal ante fallas internas)
 - Relé de presión para el compartimiento del conmutador del TAP
 - Relé de monitoreo del nivel de aceite

- Transformadores de potencia nominal menor a 5 MVA:
 - Relé detector de gas (Relé Buchholz)
 - Protección contra sobrecarga
 - Protección de sobrecorriente
 - Protección contra fallas a tierra

- Transformadores que pueden estar expuestos a sobretensiones:
 - Debe incluirse protección contra sobreexcitación

➤ OTROS TIPOS DE PROTECCIONES

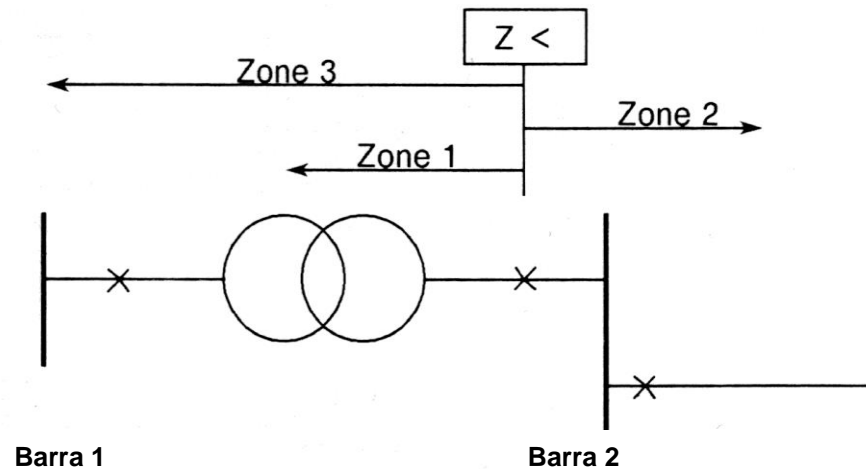
APLICACIÓN DE RELÉS DE SOBRECORRIENTE

- Su función es normalmente hacer de back up del relé diferencial y de los relés de protección del lado de carga del transformador. También pueden ser la protección principal en caso de que no se utilice protección diferencial.

- Normalmente se utilizan unidades 51 temporizadas con unidades 50 instantáneas para el caso de corrientes de cortocircuito muy elevadas.

APLICACIÓN DE RELÉS DE DISTANCIA

- A veces utilizado en lugar de los relés diferenciales como protección principal del transformador y al mismo tiempo puede actuar como protección primaria o back up de las barras.
- Alcance y la dirección de actuación de un relé de distancia ajustado en:
 - ✓ Alcance de zona 1 a 70-80% dentro del transformador
 - ✓ Alcance de zona 2 cubriendo la barra 2 en forma reversa
 - ✓ Alcance de zona 3 a través del transformador cubriendo la barra 3



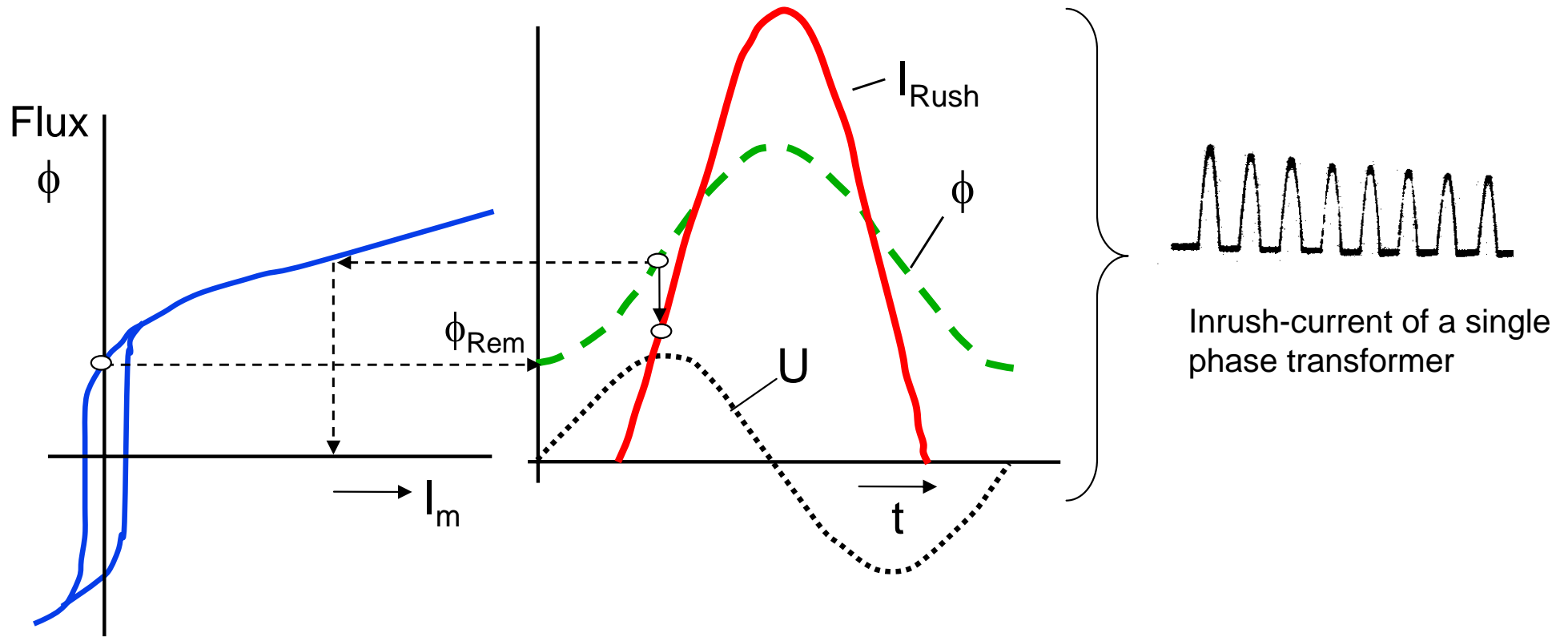
Transformador protegido por un relé de distancia

FUNCIONES DE PROTECCIÓN

Typical Transformer data

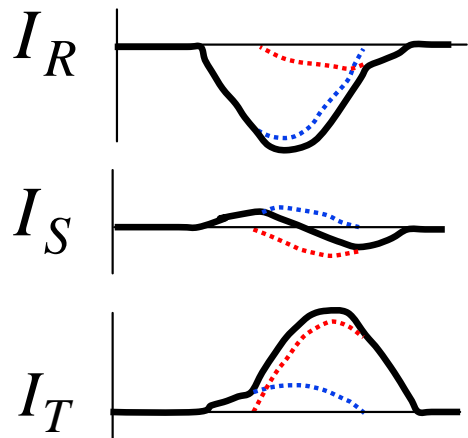
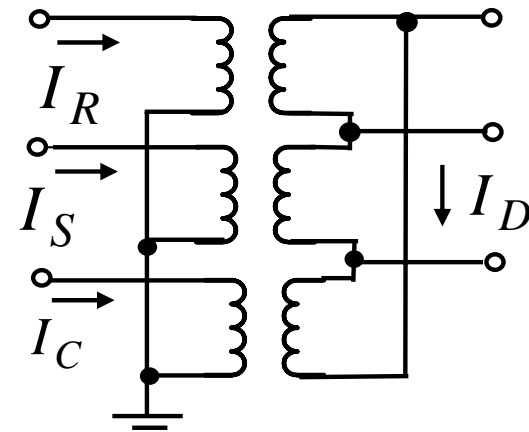
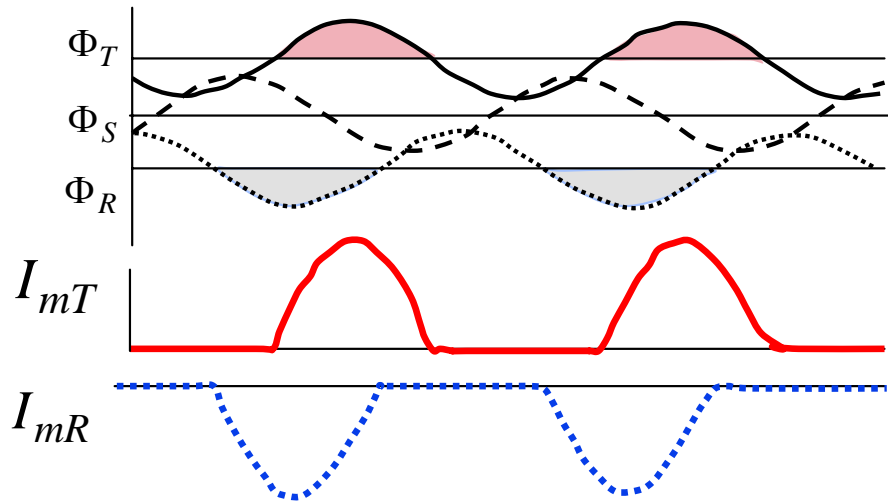
Rated power	Ratio	Short-circuit voltage	No-load magnetizing current
MVA	kV/kV	% UN	% I _n
850	850/21	17	0.2
600	400/230	18.5	0.25
300	400/120	19	0.1
300	230/120	24	0.1
40	110/11	17	0.1
16	30/10.5	8.0	0.2
6.3	30/10.5	7.5	0.2
0.63	10/0.4	4.0	0.15

Transformer Inrush current



Inrush currents of a Y-Δ-transformer

Neutral of Y-winding earthed

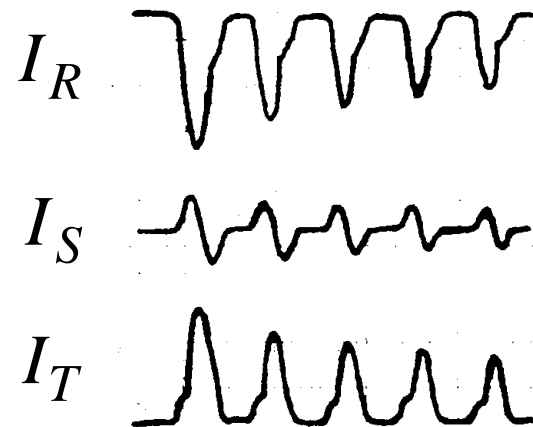


$$I_R = \frac{5}{6} \cdot I_{mR} - \frac{1}{6} \cdot I_{mC}$$

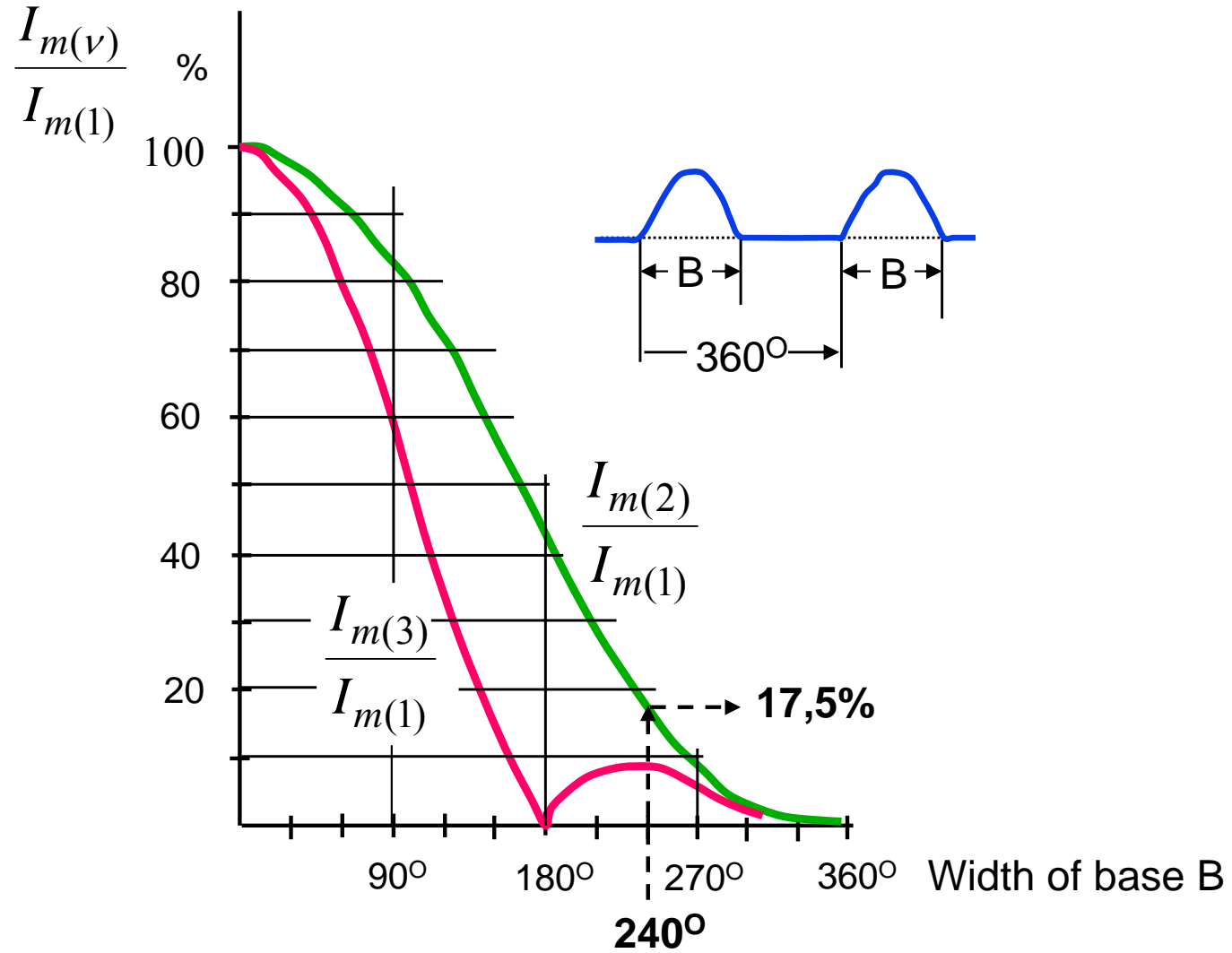
$$I_S = -\frac{1}{6} \cdot I_{mR} - \frac{1}{6} \cdot I_{mT}$$

$$I_T = \frac{5}{6} \cdot I_{mT} - \frac{1}{6} \cdot I_{mR}$$

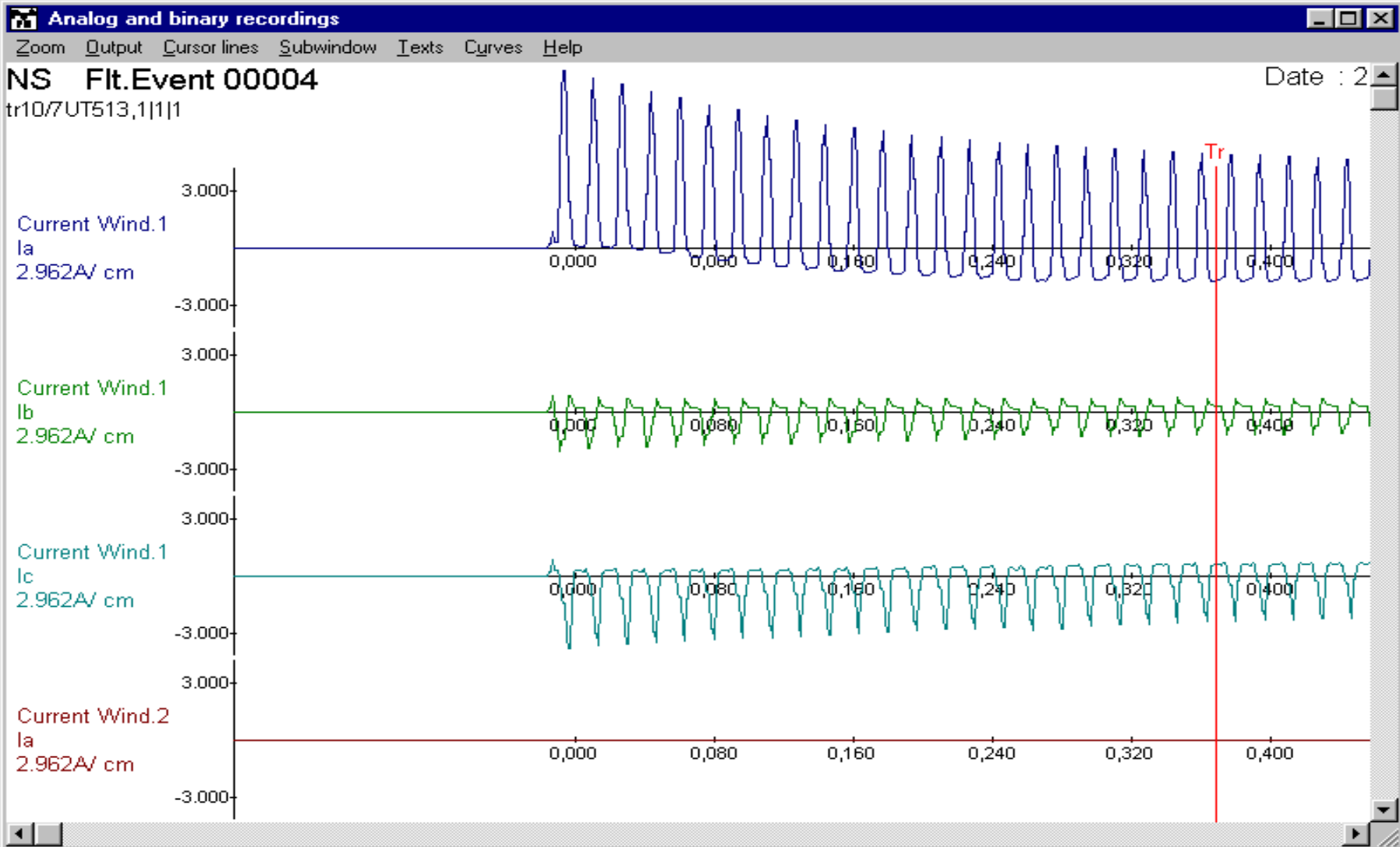
Oscillogram:



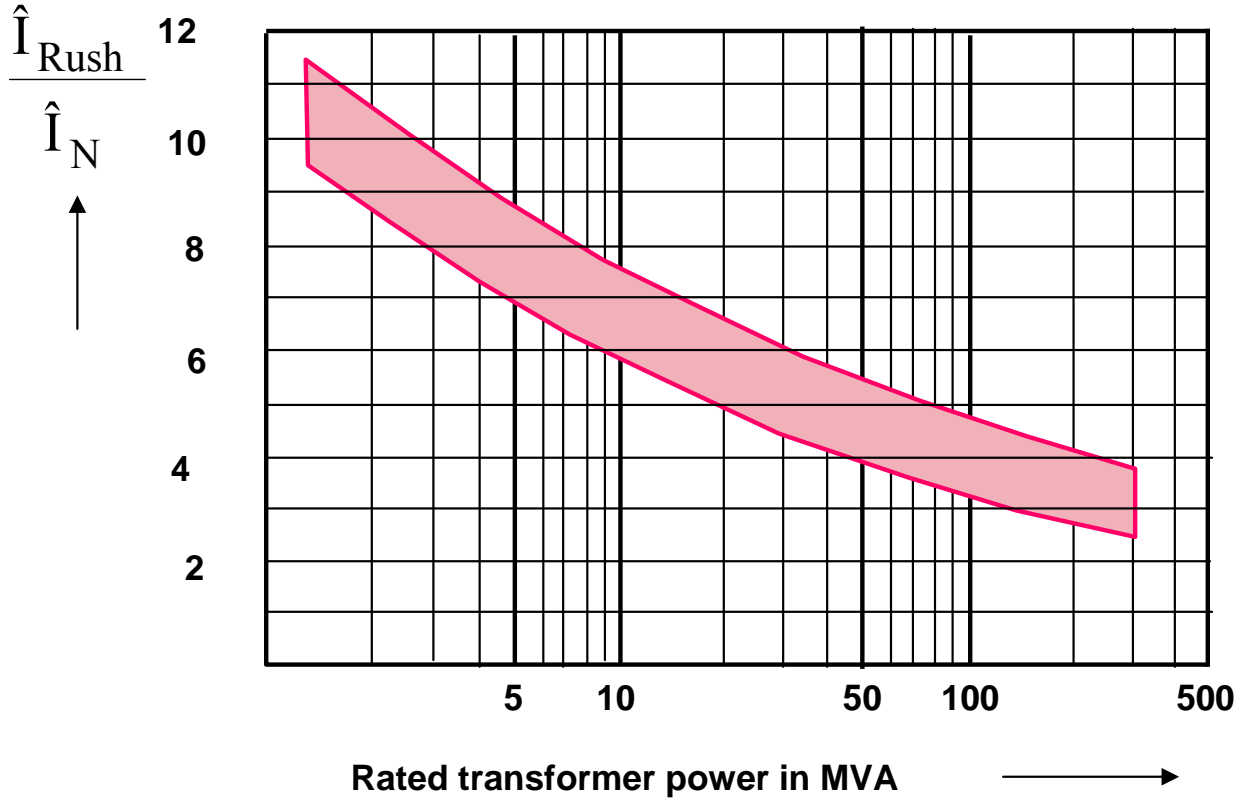
Inrush current : Content of 2nd und 3rd harmonic



Inrush currents of a three-phase transformer recorded with relay



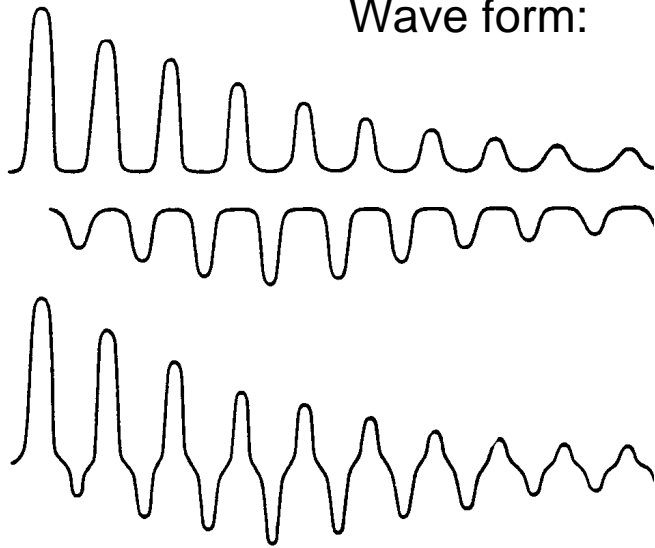
Transformer Inrush current: Amplitude and time constant



Rated power in MVA	time constant in seconds
0,5....1,0	0,16....0,2
1,0 10	0,21,2
>10	1,2720

Sympathetic Inrush

Wave form:

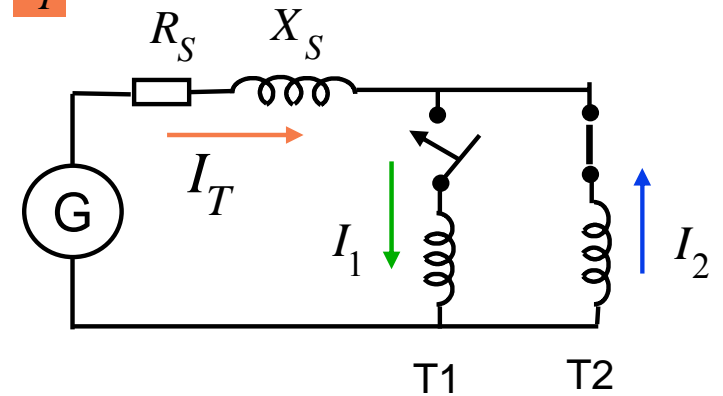
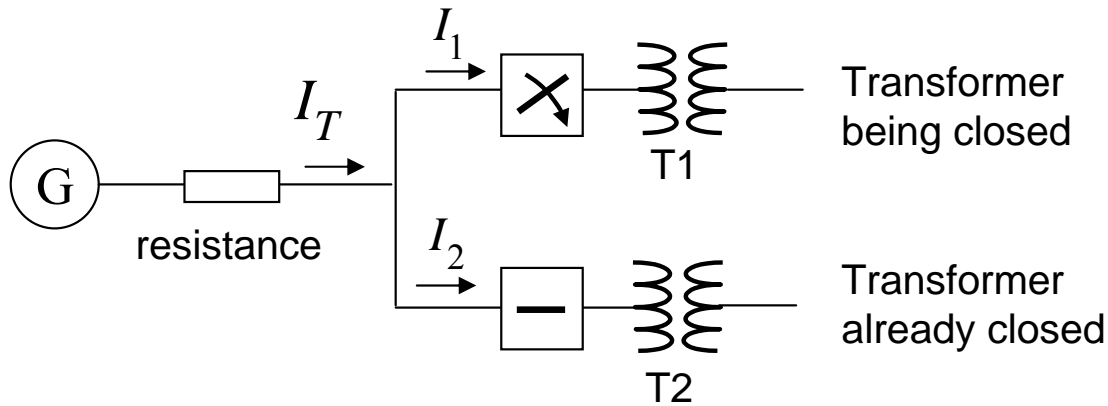
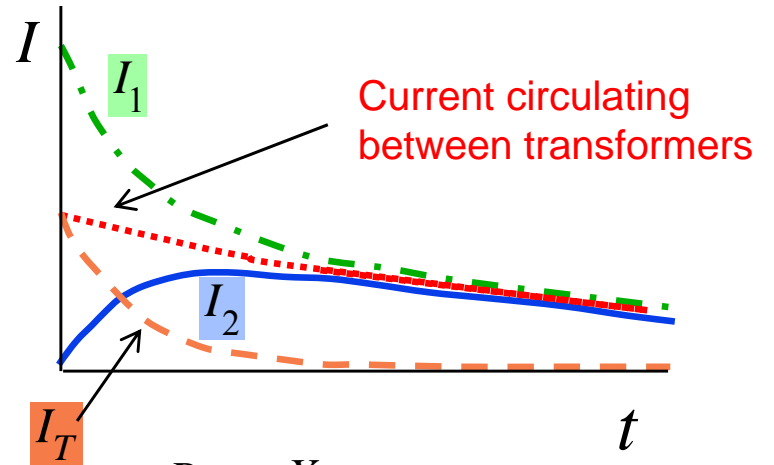


I_1

I_2

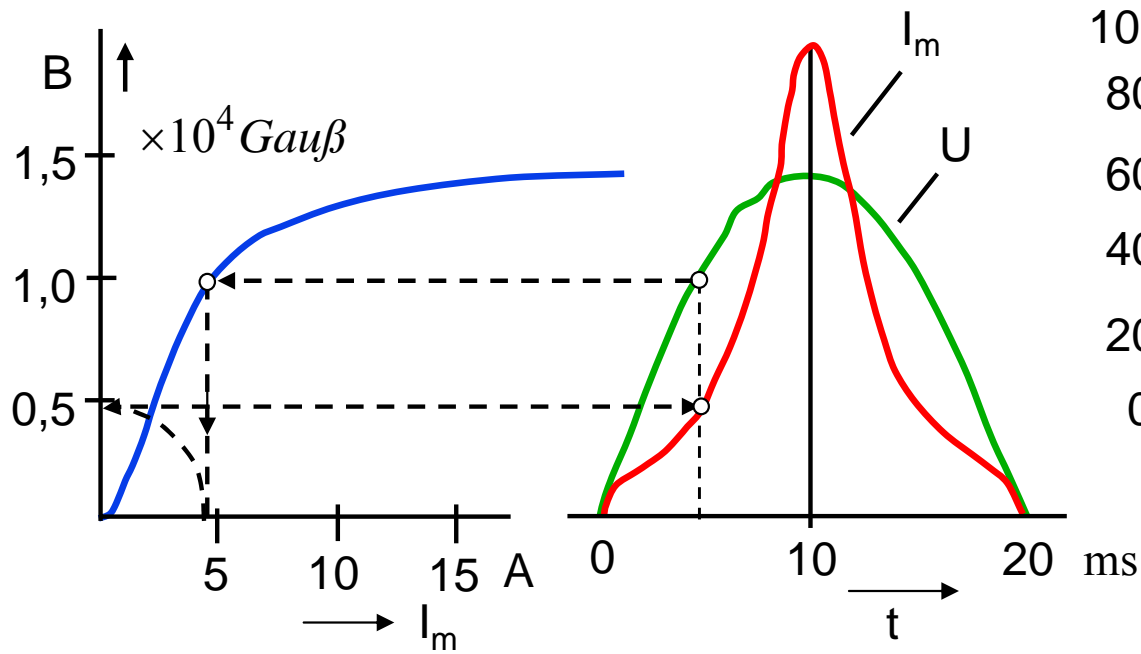
I_T

Transient currents:

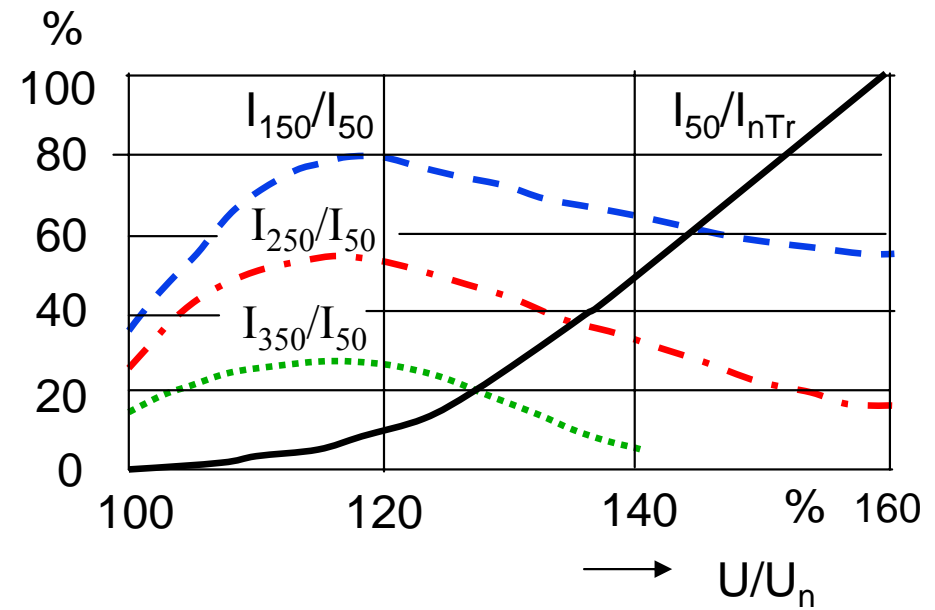


Transformer overfluxing

Deduction of wave form

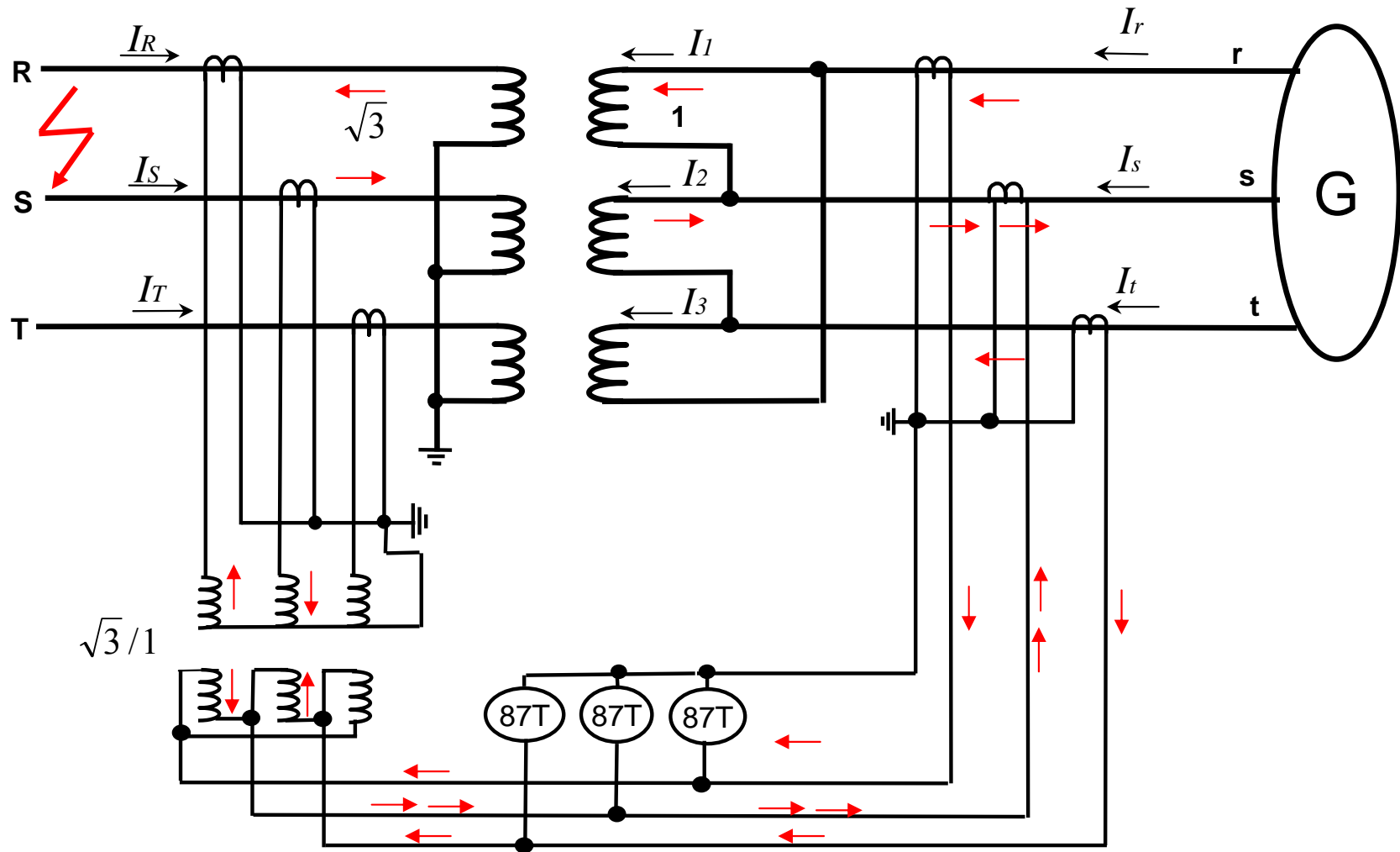


Harmonic content



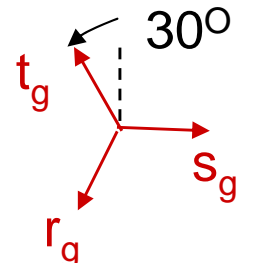
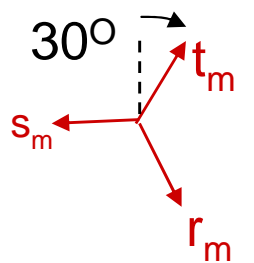
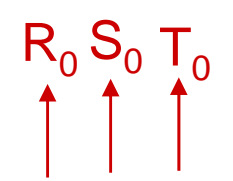
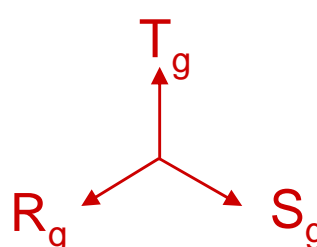
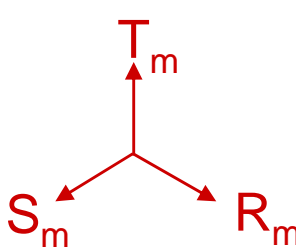
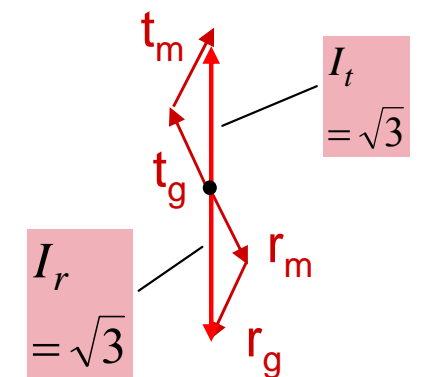
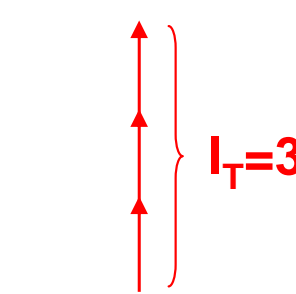
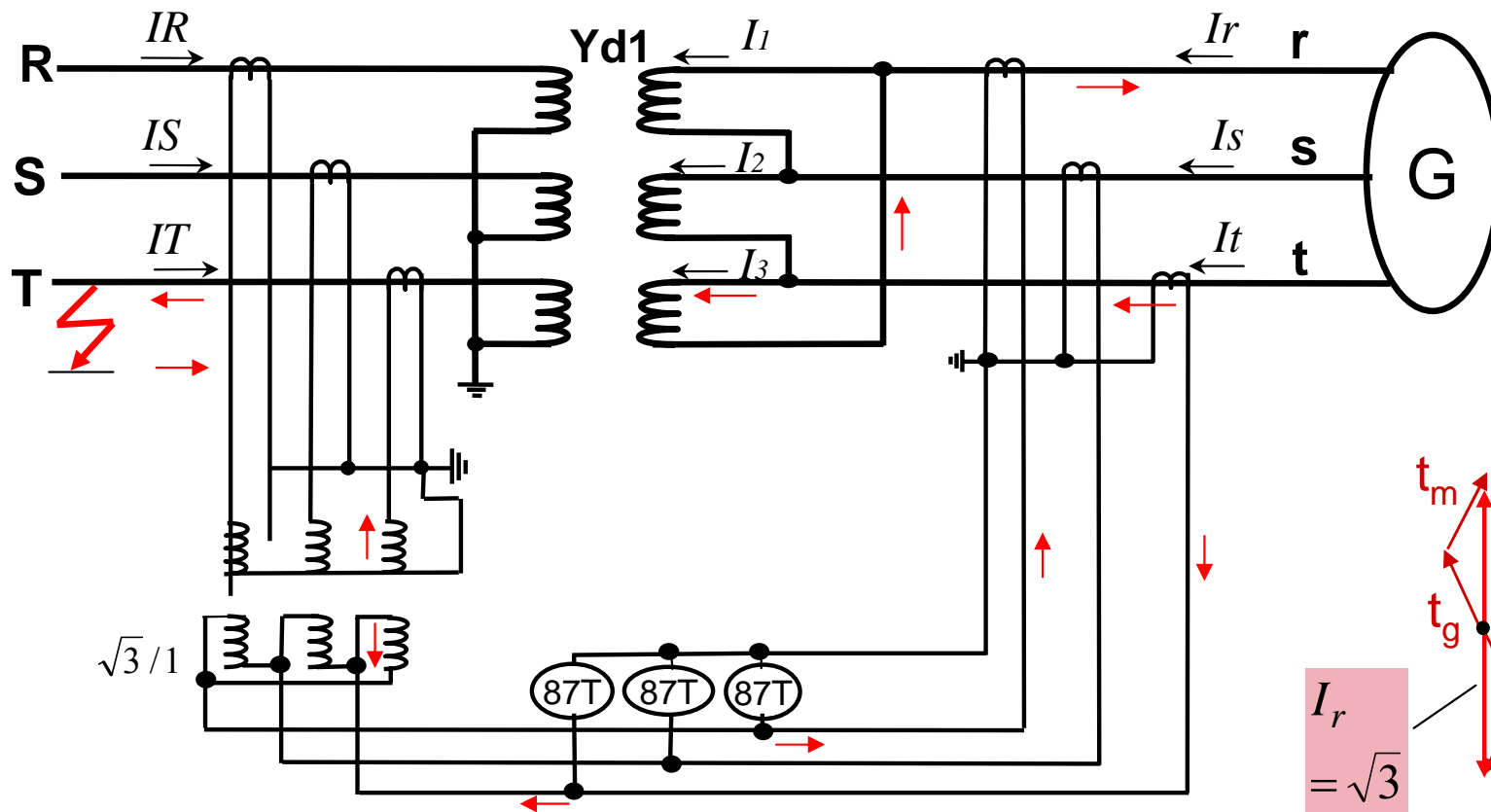
Vector group adaptation with matching CTs

Current distribution with external ph-ph fault



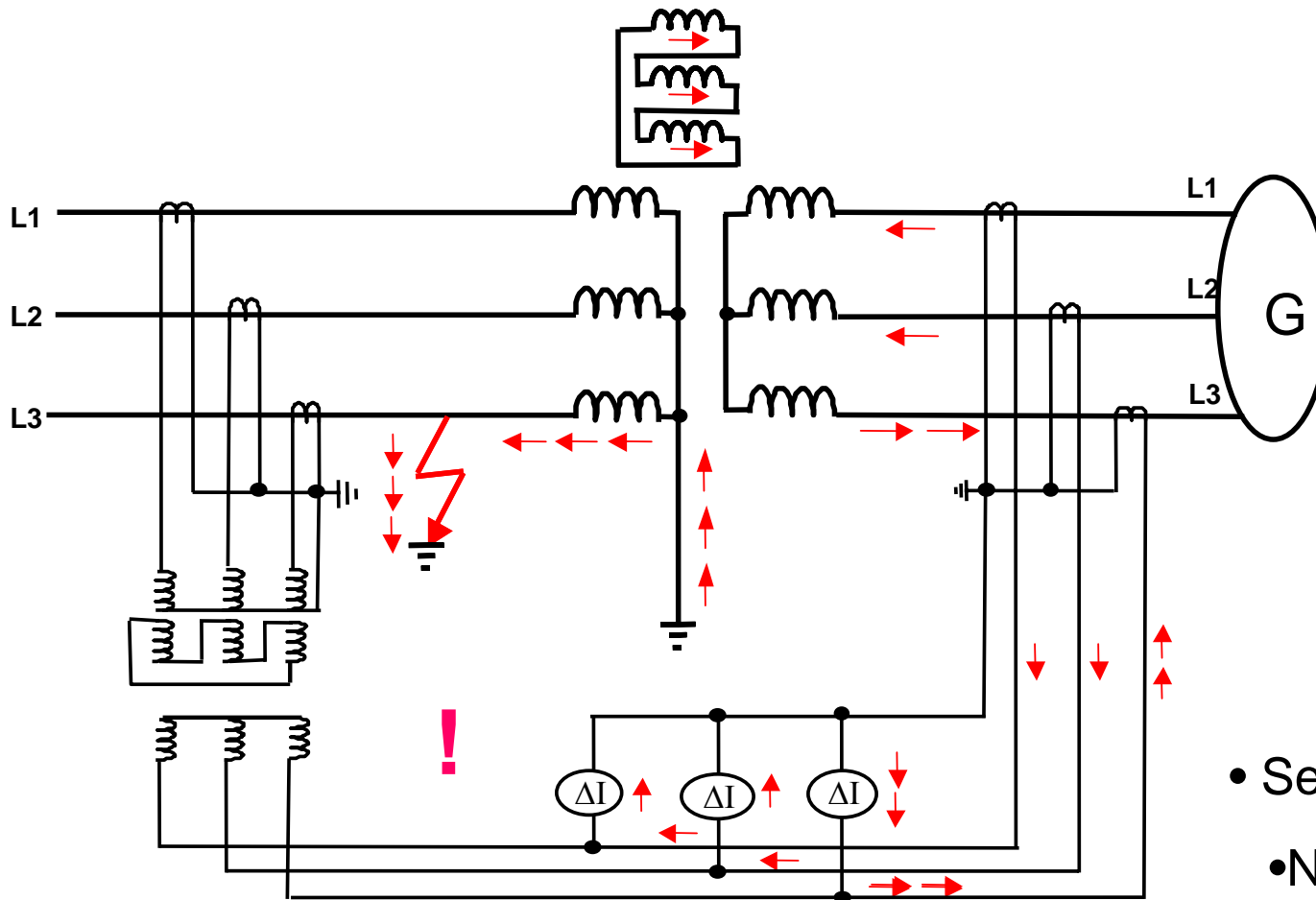
Vector group adaptation with matching CTs

Current distribution with external ph-E fault



Traditional I_0 -elimination with matching CTs

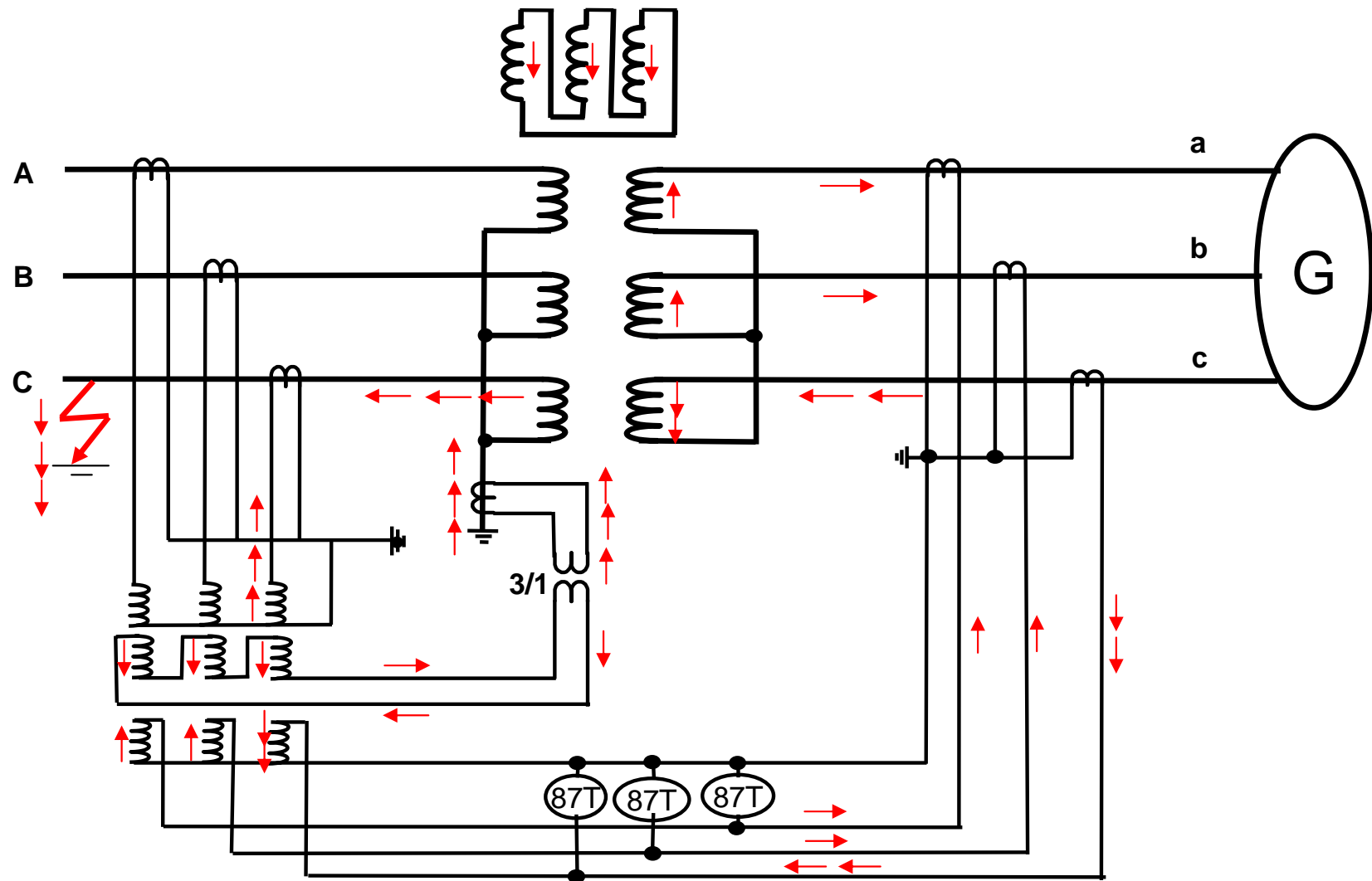
Current distribution in case of an internal earth fault



- Sensitivity only $2/3 I_F$!
- Non-selective fault indication!

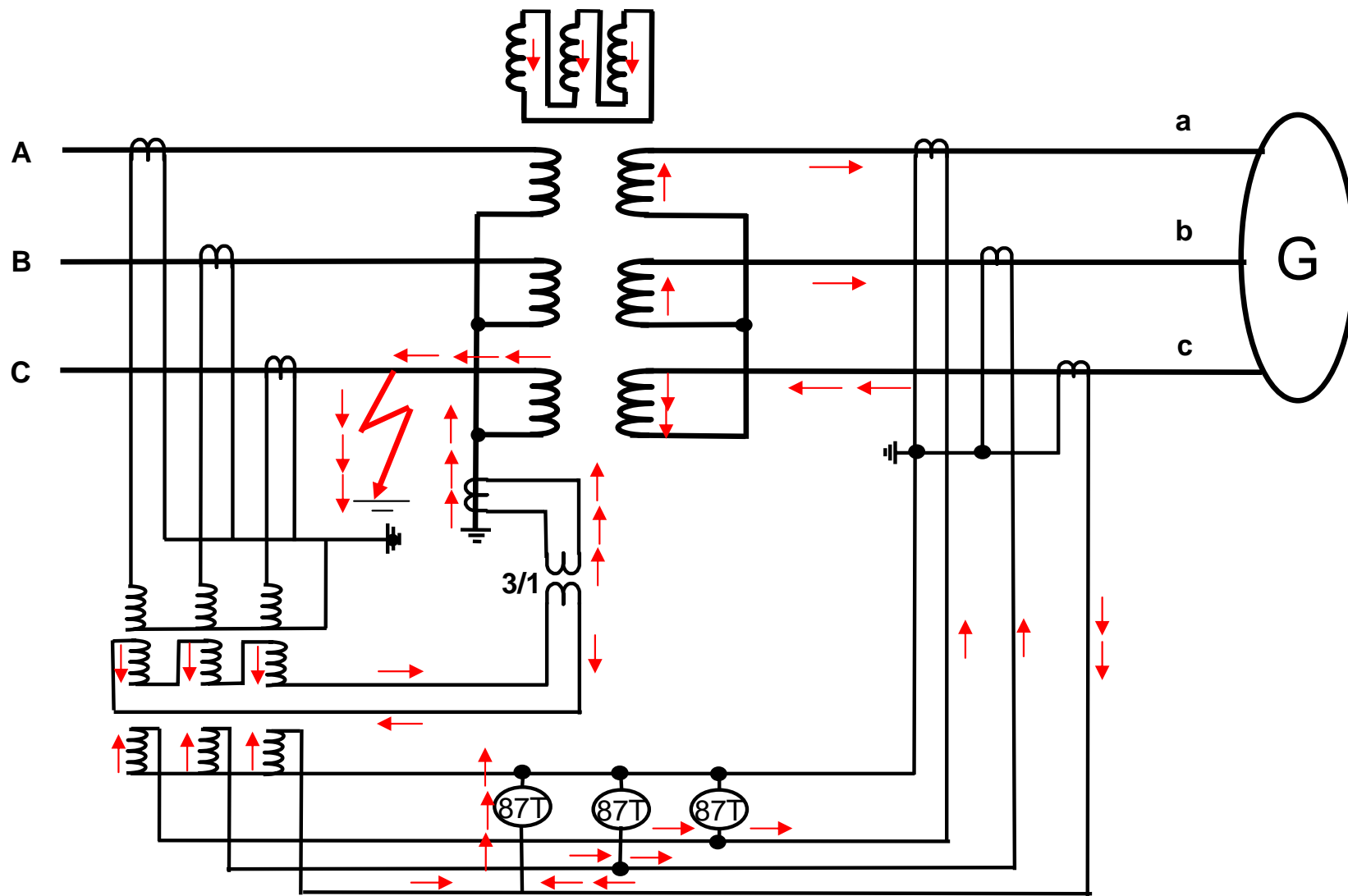
Traditional I_0 -correction with matching CTs

Current distribution with external ph-E fault

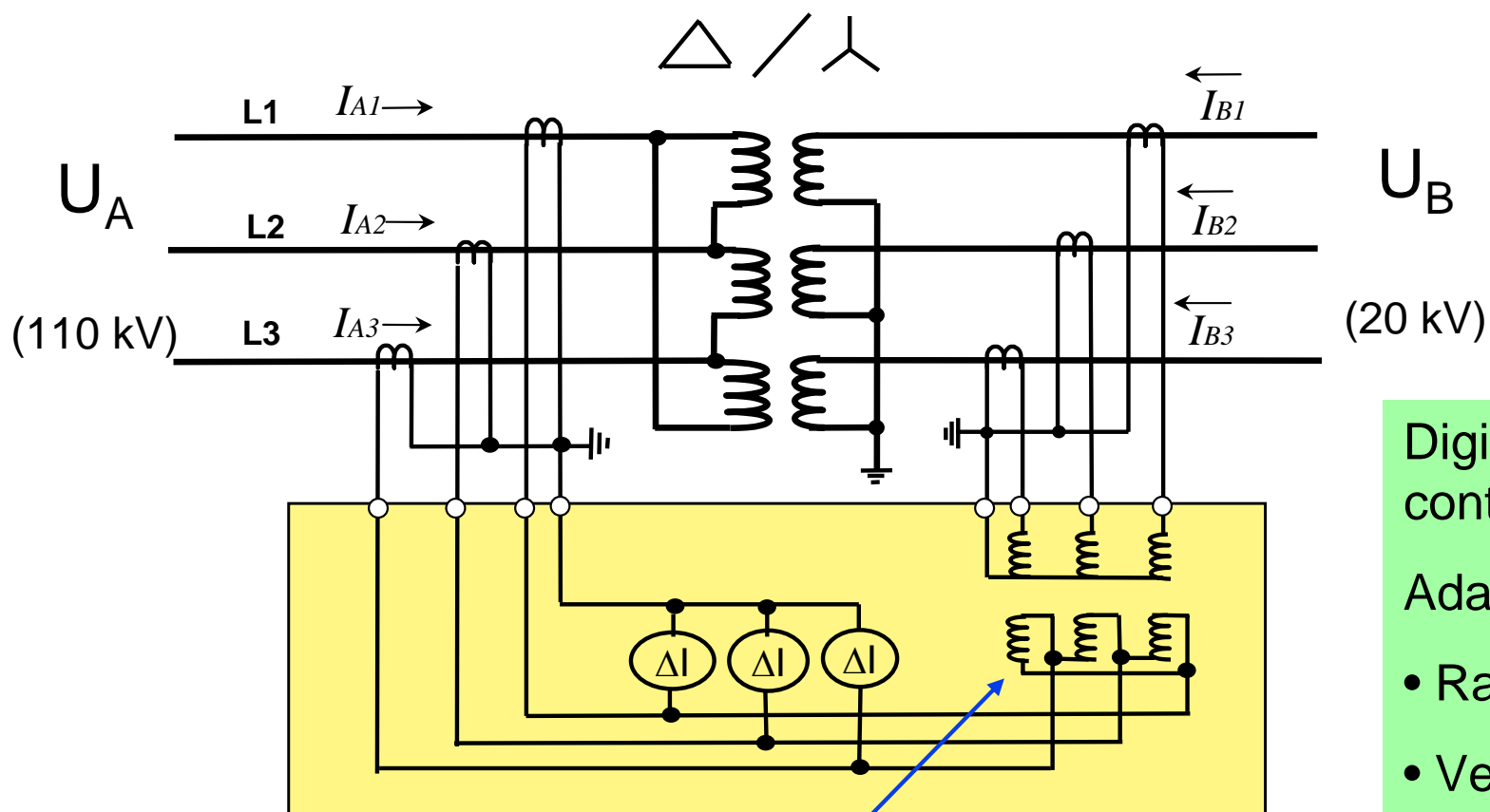


Traditional I_0 -correction with matching CTs

Current distribution with internal ph-E fault



Transformer differential protection, connection



Software replica of matching transformers

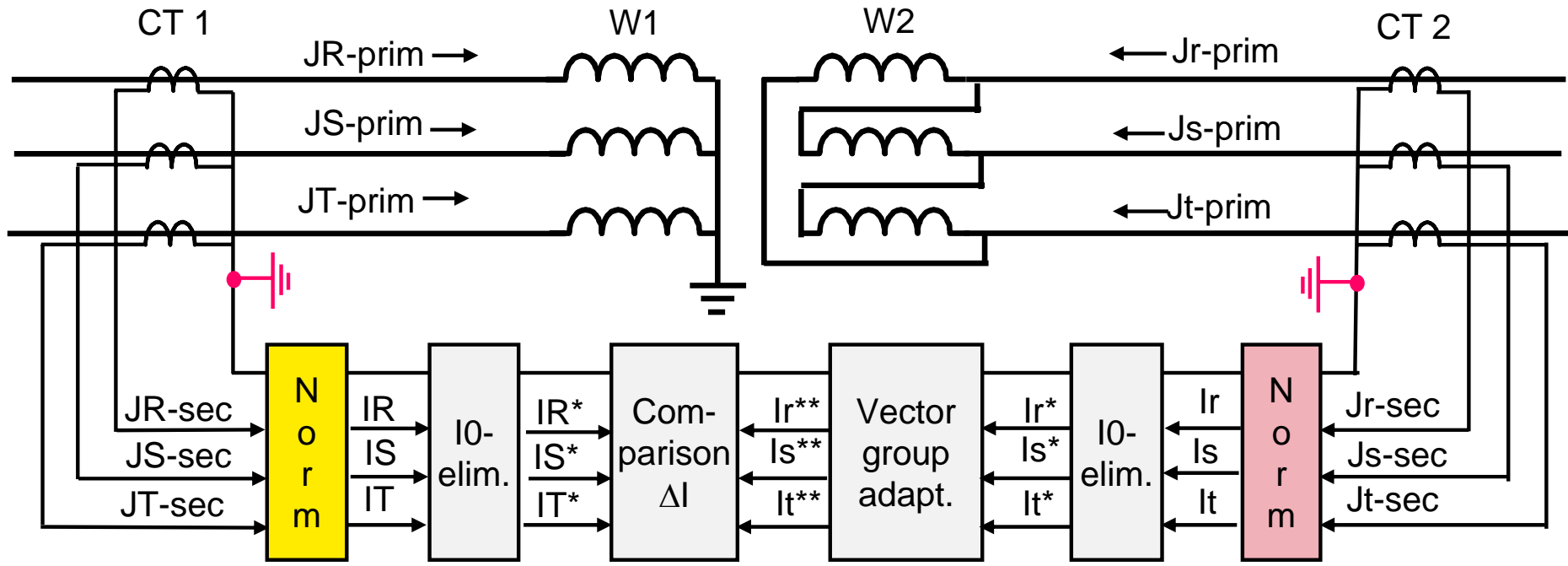
Digital protection contains:

Adaptation to

- Ratio U_A / U_B
- Vector group

Digital transformer protection

Adaptation of currents for comparison (1)



$$I_{N-Transf-W1} = \frac{S_N}{\sqrt{3} \cdot U_{N-1}}$$

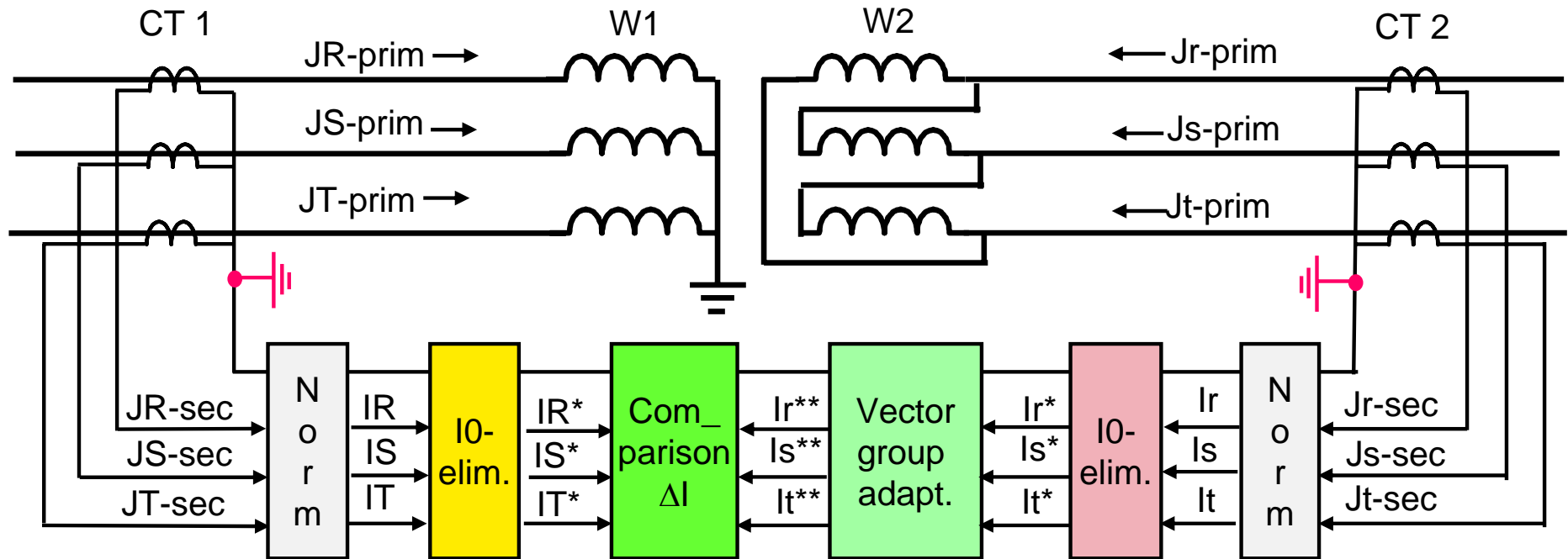
$$I_{N-Transf-W2} = \frac{S_N}{\sqrt{3} \cdot U_{N-2}}$$

$$\begin{vmatrix} I_R \\ I_S \\ I_T \end{vmatrix} = \frac{I_{N-Prim-CT1}}{I_{N-Transf-W1}} \cdot \begin{vmatrix} J_{R-sec} \\ J_{S-sec} \\ J_{T-sec} \end{vmatrix} = k_{CT-1} \cdot \begin{vmatrix} J_{R-sec} \\ J_{S-sec} \\ J_{T-sec} \end{vmatrix}$$

$$\begin{vmatrix} I_r \\ I_s \\ I_t \end{vmatrix} = \frac{I_{N-Prim-CT2}}{I_{N-Transf-W2}} \cdot \begin{vmatrix} J_{r-sec} \\ J_{s-sec} \\ J_{t-sec} \end{vmatrix} = k_{CT-2} \cdot \begin{vmatrix} J_{r-sec} \\ J_{s-sec} \\ J_{t-sec} \end{vmatrix}$$

Digital transformer protection

Adaptation of currents for comparison (2)



$$I_0 = \frac{1}{3} \cdot (I_R + I_S + I_T)$$

$$I_R^* = I_R - I_0$$

$$I_S^* = I_S - I_0$$

$$I_T^* = I_T - I_0$$

$$\begin{bmatrix} I_{\Delta-R} \\ I_{\Delta-S} \\ I_{\Delta-T} \end{bmatrix} = \begin{bmatrix} I_R^* \\ I_S^* \\ I_T^* \end{bmatrix} + \begin{bmatrix} I_r^{**} \\ I_s^{**} \\ I_t^{**} \end{bmatrix}$$

Example Yd5:

$$\begin{bmatrix} I_r^{**} \\ I_s^{**} \\ I_t^{**} \end{bmatrix} = \frac{1}{\sqrt{3}} \begin{bmatrix} -1 & 0 & 1 \\ 1 & -1 & 0 \\ 0 & 1 & -1 \end{bmatrix} \cdot \begin{bmatrix} I_r^* \\ I_s^* \\ I_t^* \end{bmatrix}$$

$$I_0 = \frac{1}{3} \cdot (I_R + I_S + I_T)$$

$$I_r^* = I_r - I_0$$

$$I_s^* = I_s - I_0$$

$$I_t^* = I_t - I_0$$

Adaptation of currents for comparison

Relay input data

Input data:

- n times 30⁰ vector group number
(only for 2nd and 3rd winding,
1st winding is reference)
- UN (kV) Rated winding voltage
- SN (MVA) rated winding power
- INW (A) Primary rated CT current
- Line or BB direction of CT neutral
- Elimination /
Correction /
without I₀-treatment
- Side XX Assignment input for REF
- INW S (A) Primary rated current of neutral CT
- Neutral CT Earth side connection to relay: Q7 or Q8?

Winding 1 (reference) is normally:

- High voltage side

At windings with
tap changer:

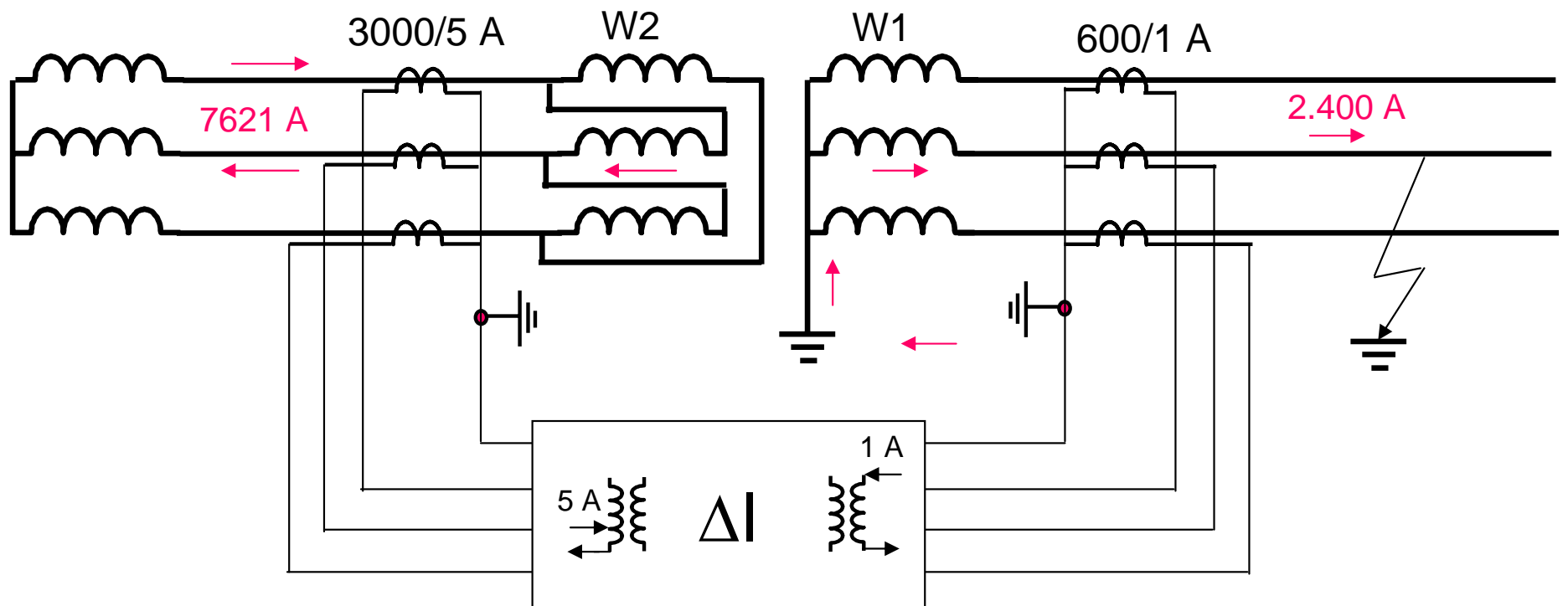
$$U_N = 2 \cdot \frac{U_{max} \cdot U_{min}}{U_{max} + U_{min}}$$

Digital transformer protection

Current adaptation, Example (1)

$$S_N = 100 \text{ MVA}$$

$$U_{N1} = 20 \text{ kV} \quad Yd5 \quad U_{N2} = 110 \text{ kV}$$



Digital transformer protection

Current adaptation, Example (2)

20-kV-side

$$I_{N-Trafo-W2} = \frac{100\text{MVA}}{\sqrt{3} \cdot 20\text{kV}} = 2887\text{A}$$

$$J_{R,S,t-sek} = \frac{1}{3000} \cdot 13200 / \sqrt{3} = 4,4 / \sqrt{3} \text{ A}$$

$$I_{Norm} = \frac{3000}{2887} \cdot 4,4 / \sqrt{3} = 4,57 / \sqrt{3} \text{ A}$$

I0-elimination:

$$\begin{pmatrix} I_r^{**} \\ I_s^{**} \\ I_t^{**} \end{pmatrix} = \frac{1}{\sqrt{3}} \begin{vmatrix} -1 & 0 & 1 \\ 1 & -1 & 0 \\ 0 & 1 & -1 \end{vmatrix} \cdot \begin{pmatrix} 4,57/\sqrt{3} \\ -4,57/\sqrt{3} \\ 0 \end{pmatrix} = \begin{pmatrix} -4,57/3 \\ 2 \cdot 4,57/3 \\ -4,57/3 \end{pmatrix}$$

$$I_{A-R} = I_R^* + I_r^{**} = 4,57/\sqrt{3} - 4,57/\sqrt{3} = 0$$

$$I_{A-S} = I_S^* + I_s^{**} = -2 \cdot 4,57/\sqrt{3} + 2 \cdot 4,57/\sqrt{3} = 0$$

$$I_{A-T} = I_T^* + I_t^{**} = 4,57/\sqrt{3} - 4,57/\sqrt{3} = 0$$

110-kV-side

$$I_{N-Trafo-W1} = \frac{100\text{MVA}}{\sqrt{3} \cdot 110\text{kV}} = 525\text{A}$$

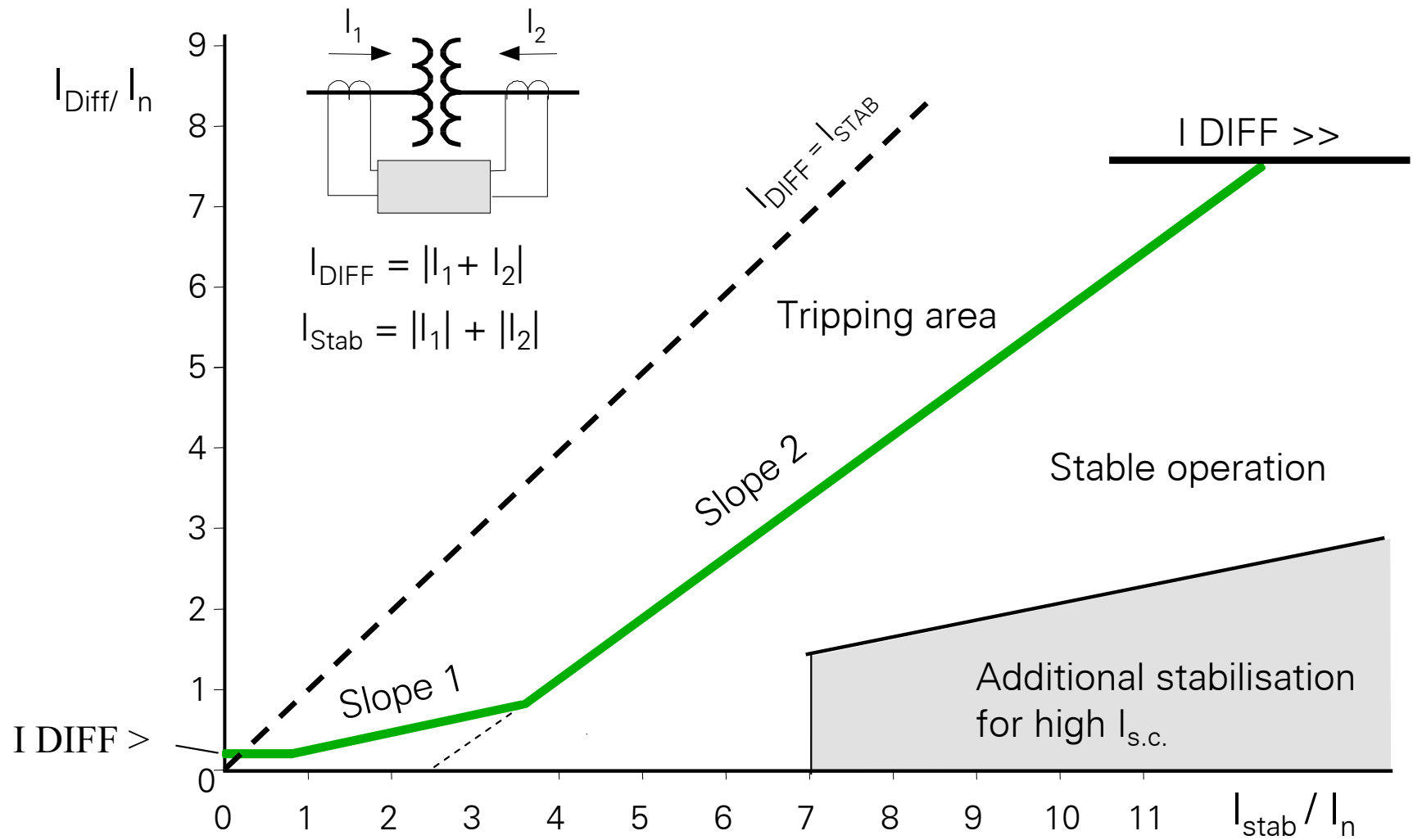
$$J_{R,S,T-sek} = \frac{1}{600} \cdot 2400 = 4,0 \text{ A}$$

$$I_{Norm} = \frac{600}{525} \cdot 4 = 4,57\text{A}$$

Vector group adaptation: Yd5

$$\begin{pmatrix} I_r^* \\ I_s^* \\ I_t^* \end{pmatrix} = \frac{1}{3} \begin{vmatrix} 2 & -1 & -1 \\ -1 & 2 & -1 \\ -1 & -1 & 2 \end{vmatrix} \cdot \begin{pmatrix} 0 \\ -4,57 \\ 0 \end{pmatrix} = \begin{pmatrix} 4,57/3 \\ -2 \cdot 4,57/3 \\ 4,57/3 \end{pmatrix}$$

Operating characteristic

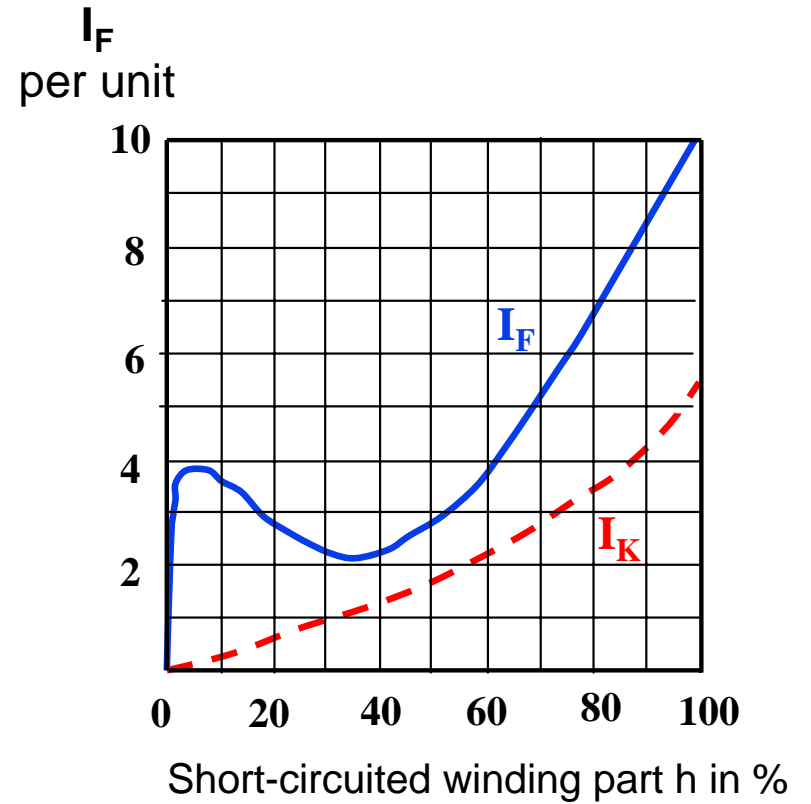
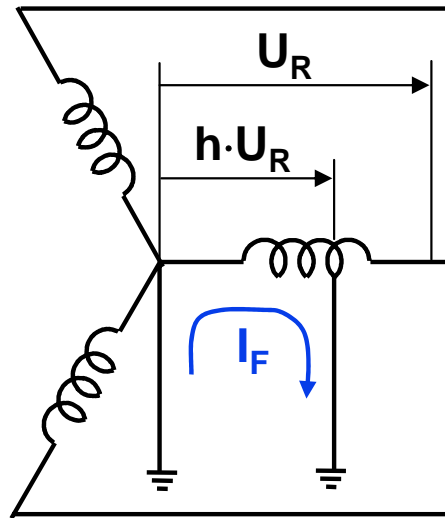
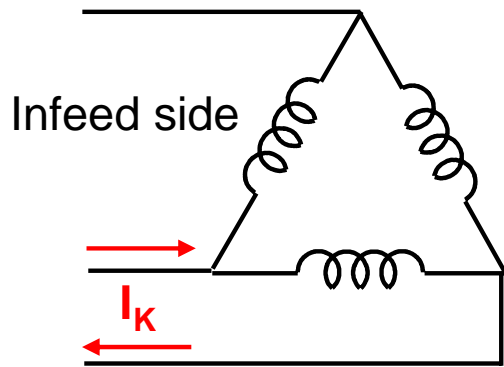


I_0 -elimination / correction: Summary

- **I_0 - elimination** necessary at all windings with earthed neutral or with grounding transformer in the protection range
Earth fault sensitivity reduced to 2/3 !
Incorrect fault type indication!
- **I_0 - correction** provides full earth current sensitivity and correct phase selective fault type indication, however requires CT in the neutral-to-earth connection of the transformer.
- As an alternative, earth differential protection can be used to enhance earth fault sensitivity.

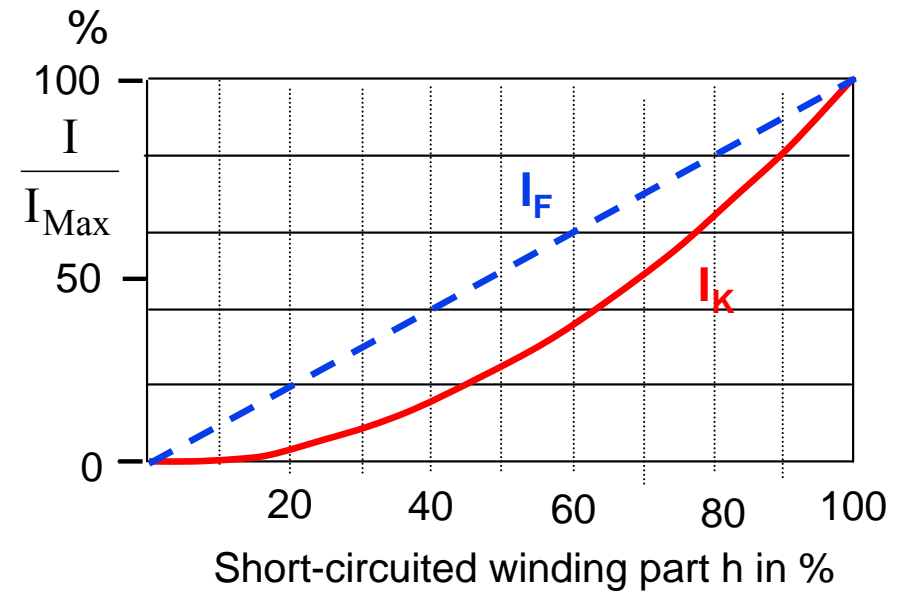
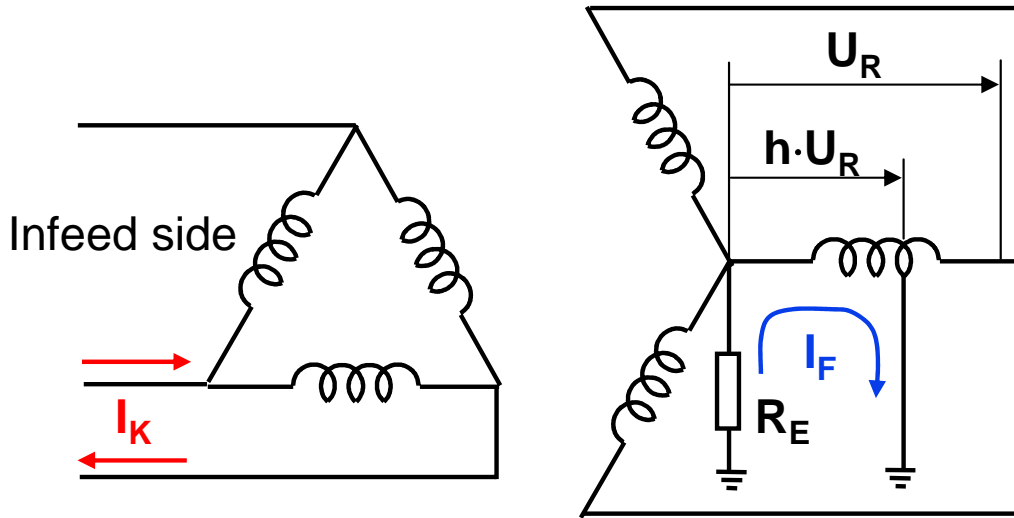
Transformer winding to earth fault

Solid earthed neutral



Transformer winding to earth fault

Resistance or reactance earthed neutral



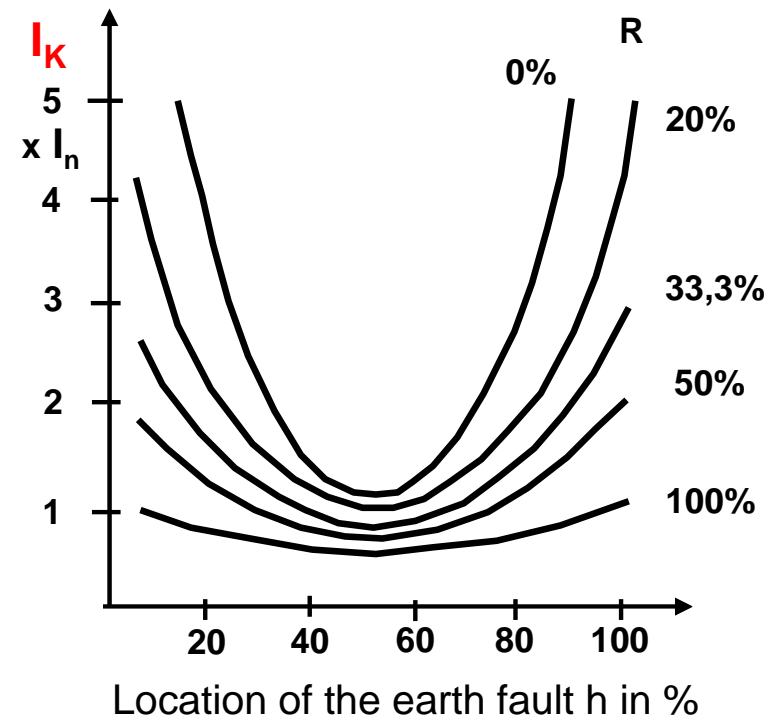
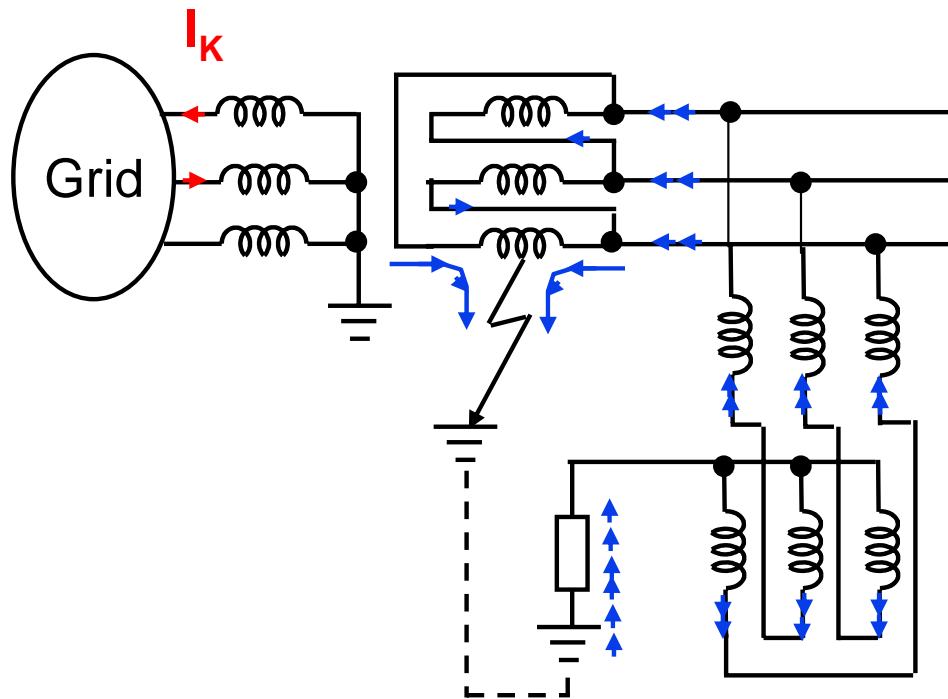
$$I_F = \frac{h \cdot U_R}{R_E}$$

$$I_K = \frac{h \cdot w_2}{w_1} \cdot I_F = h \cdot \frac{U_{2n}}{U_{1n} \cdot \sqrt{3}} \cdot I_F$$

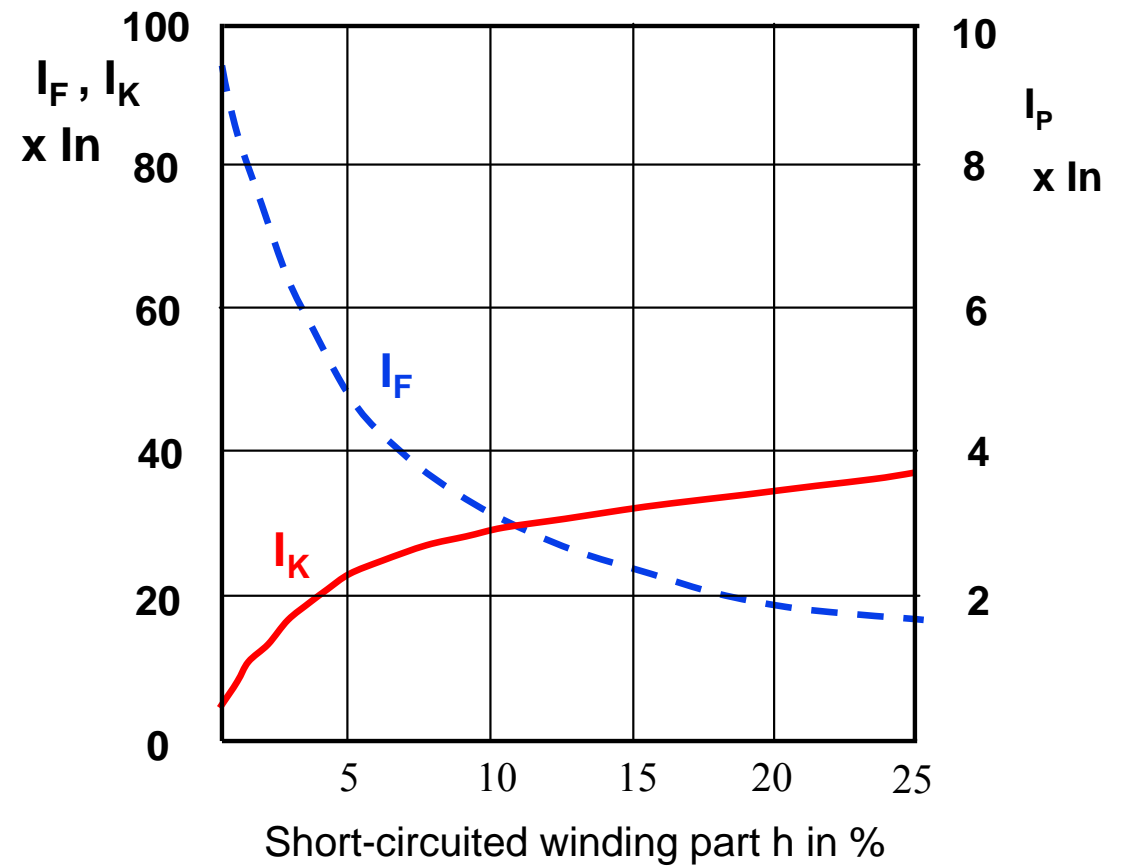
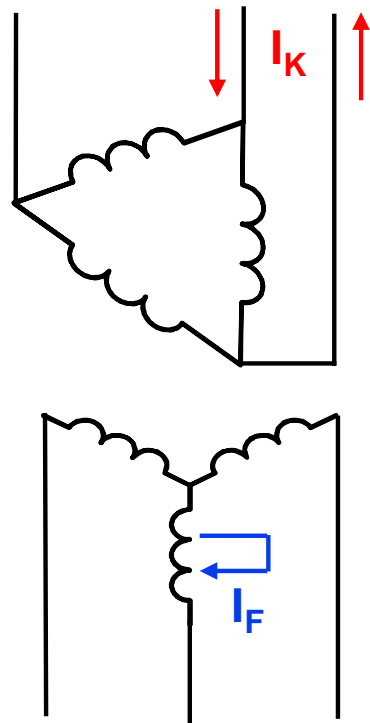
$$I_K = h^2 \cdot \frac{1}{\sqrt{3}} \cdot \frac{U_{2n}}{U_{1n}} \cdot \frac{U_R}{R_E}$$

Transformer winding to earth fault

Earth fault in the delta winding



Transformer winding short-circuit



Restricted earth fault protection of relay 7UT6

$$I_0^* = I_N$$

$$I_0^{**} = I_R + I_S + I_T = 3I_0$$

$$I_{restr} = |I_0^* - I_0^{**}| - |I_0^* + I_0^{**}|$$

Basic operating area:

$$I_{Op} = I_0^*$$

$$\text{for } -90^\circ \leq \varphi(I_0^* / I_0^{**}) \leq +90^\circ$$

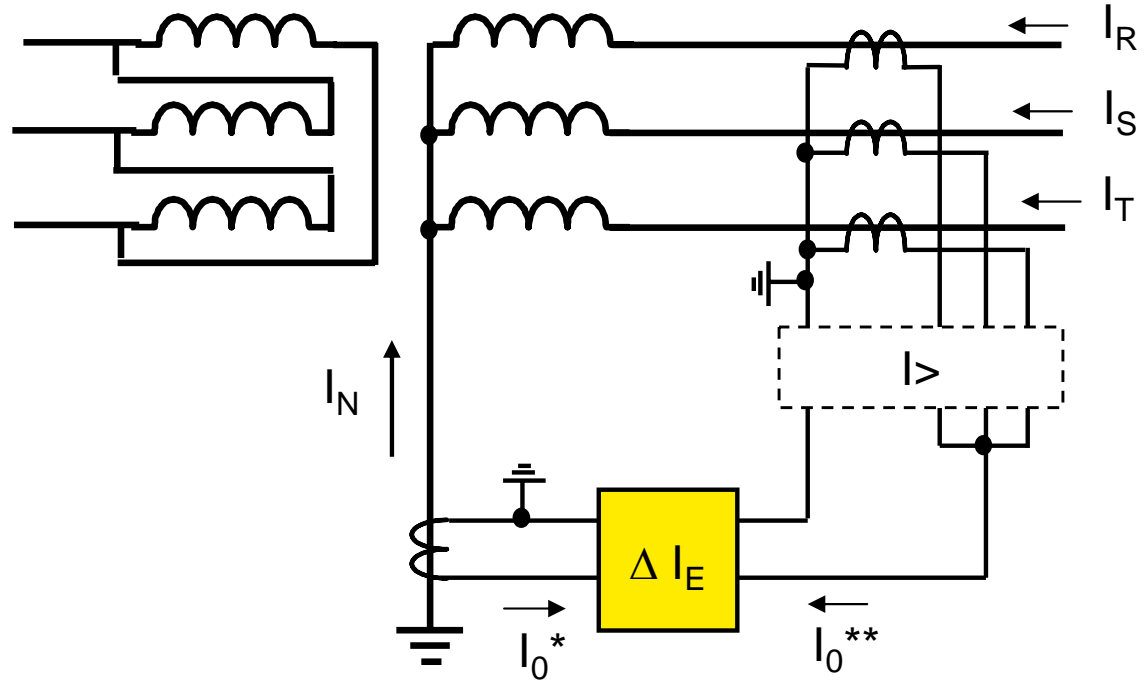
$$\text{if } I_{Op} \geq I_{set}$$

Extended operating area:

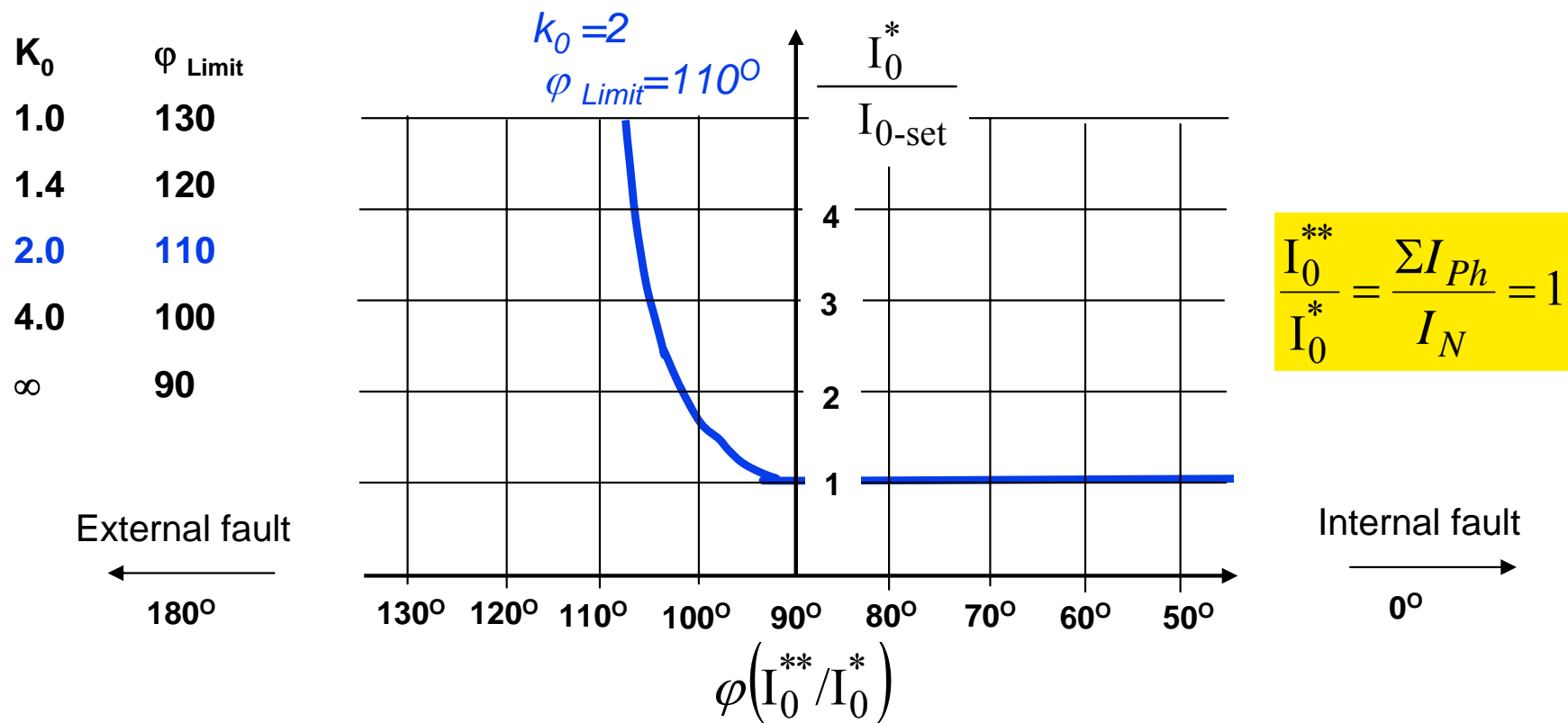
$$I_{Op} = I_0^* - k_0 \cdot I_{restr}$$

$$\text{for } +90^\circ \leq \varphi(I_0^* / I_0^{**}) \leq +270^\circ$$

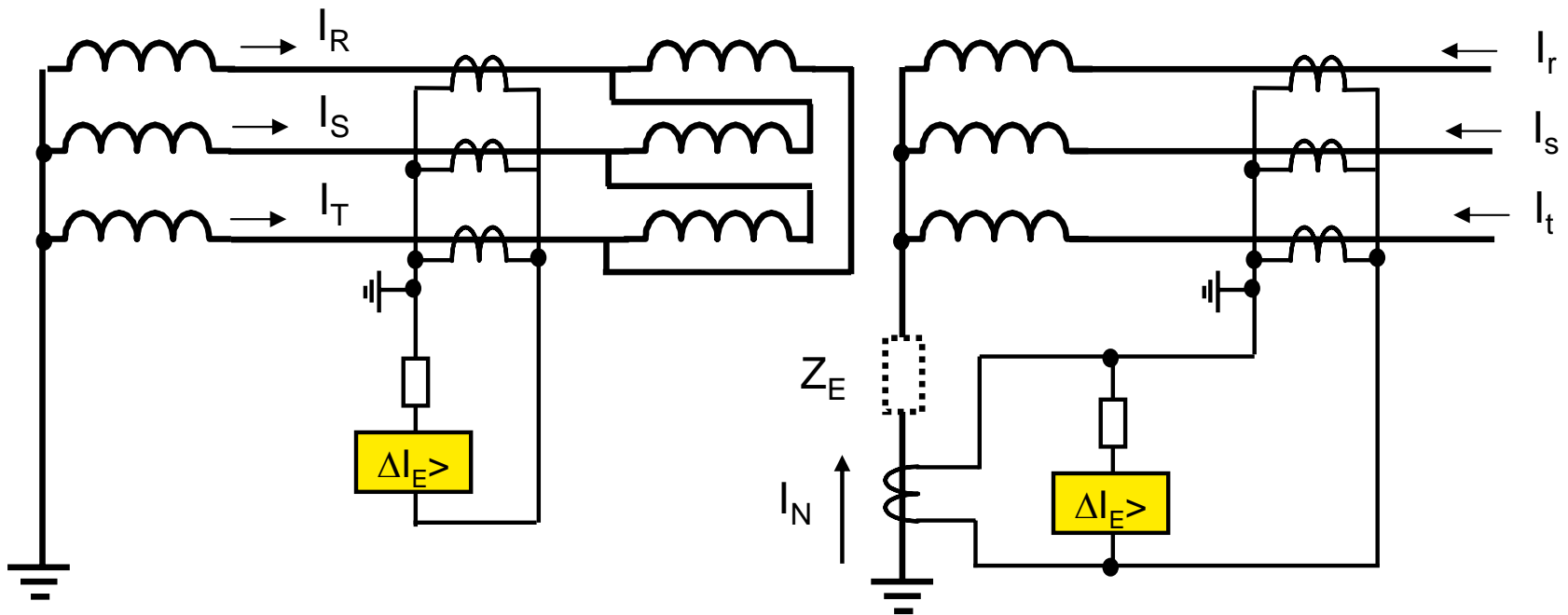
$$\text{if } I_{Op} \geq I_{restr}$$



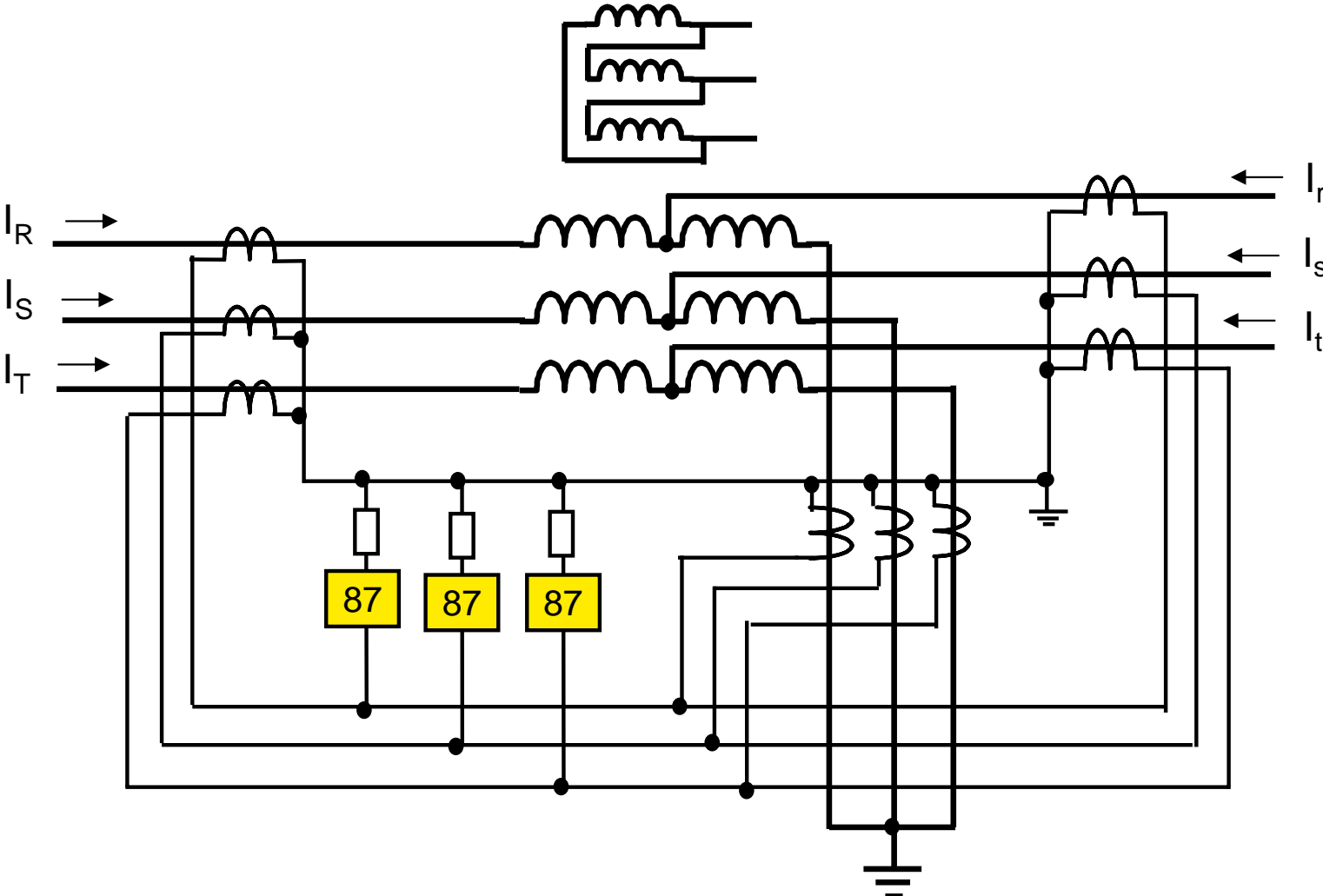
Restricted earth fault protection Operating characteristic (2)



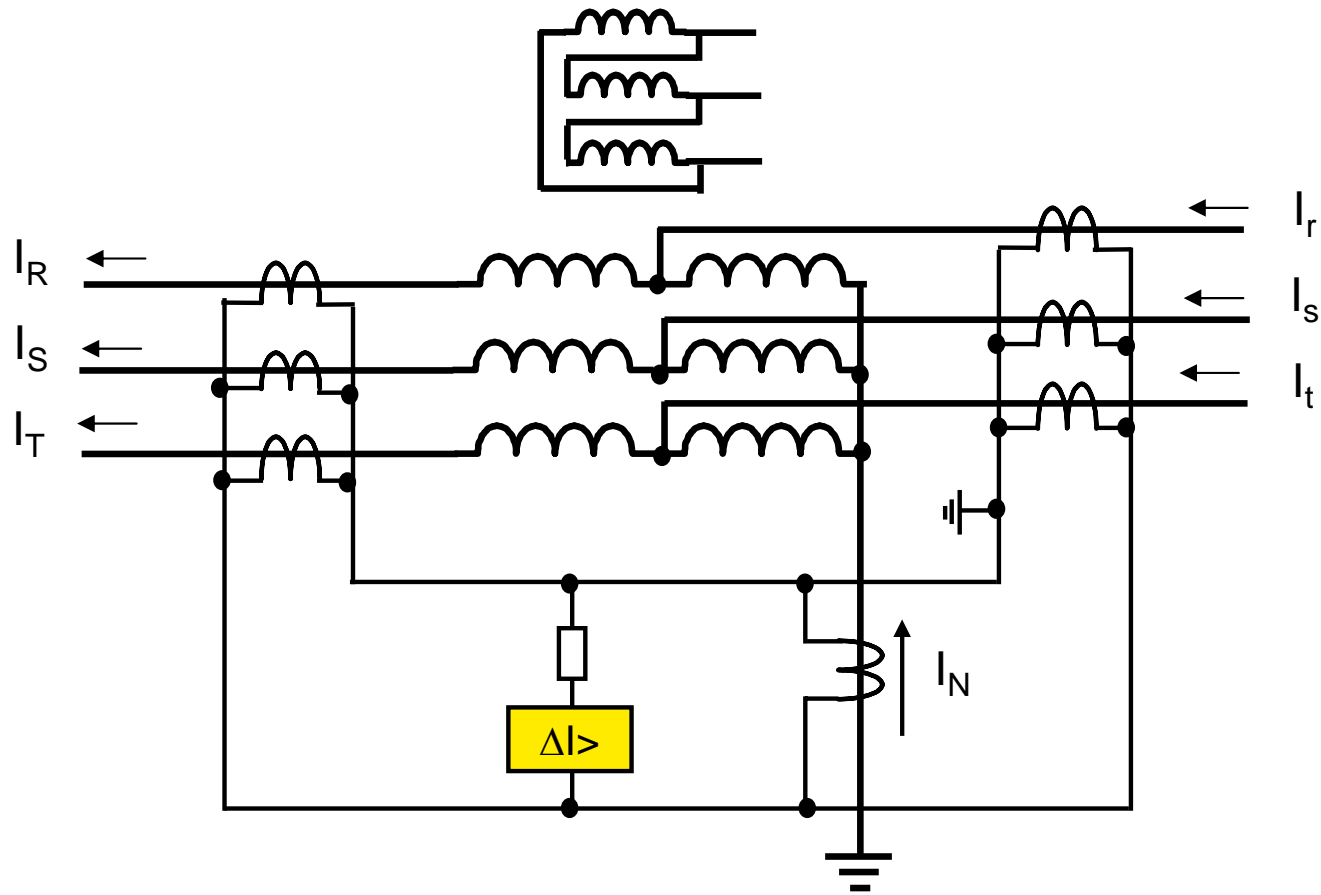
Transformer HI-earth fault protection



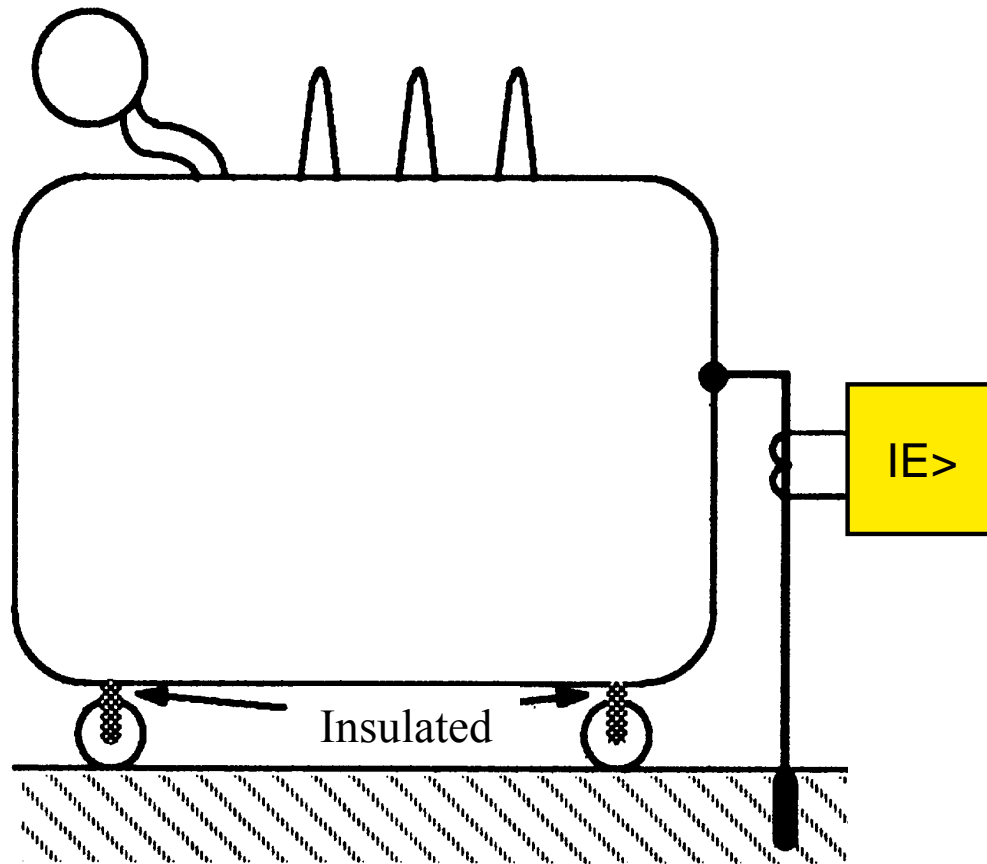
HI differential protection of an autotransformer



HI earth fault protection of an autotransformer



Transformer tank protection 64T: Principle



Advantages of digital transformer differential protection

- ◆ High stability against c.t. saturation provided by integrated saturation detector and add-on stabilisation
- ◆ High stable against inrush currents due to advanced filter technology (Fourier analysis) and optional cross-blocking function
- ◆ High stability against over-excitation (5th harmonic blocking)
- ◆ Short tripping time - typically 1.5 cycles
- ◆ High set ΔI fast tripping < 1 cycle
- ◆ Sensitive earth differential protection against interturn faults and earth faults near winding neutral
- ◆ Integral ratio and vector group adaptation (no external auxiliary CTs required)
- ◆ Integral thermal overload protection
- ◆ External start of fault recording (e.g. by gas pressure relays)

Integrated protection functions

87T

Transformer differential protection

- $\Delta I >$
- Rush-stabilised (2nd harmonic)
- Stabilised against overfluxing (5th harmonic)
- $\Delta I >>$ high set element, non-stabilised

49-1

49-2

Thermal overload protection

50/51

50HS

Time overcurrent protection (IT or DT)

87N

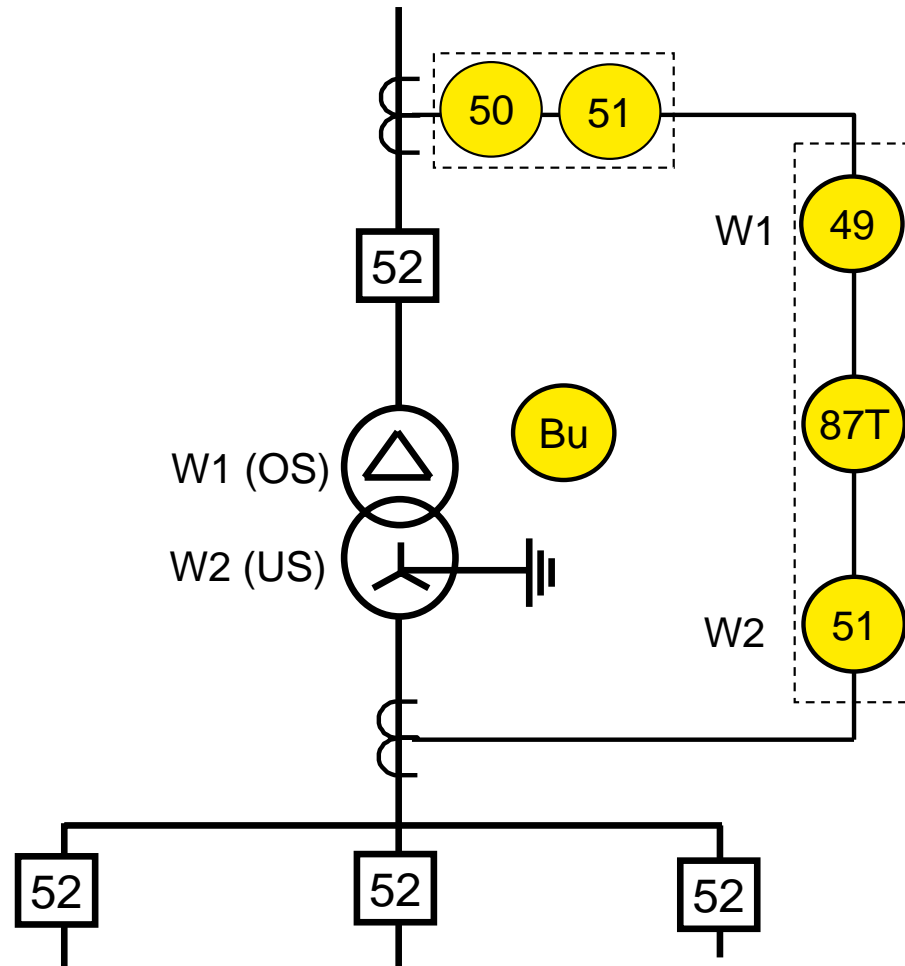
Earth current differential protection (7UT613)

64T

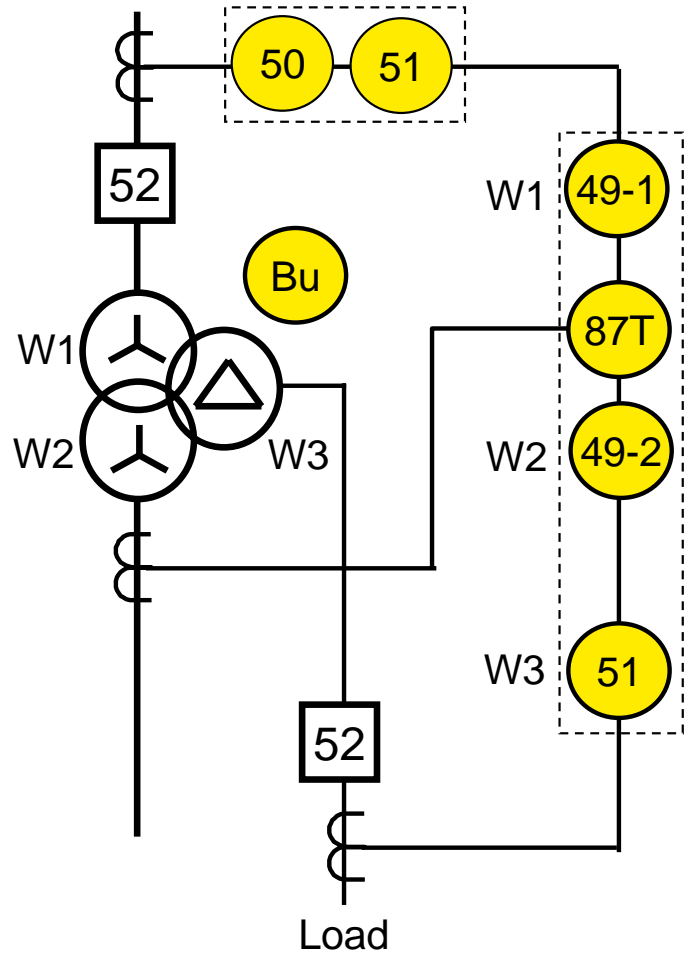
Tank protection (7UT613)

Application examples

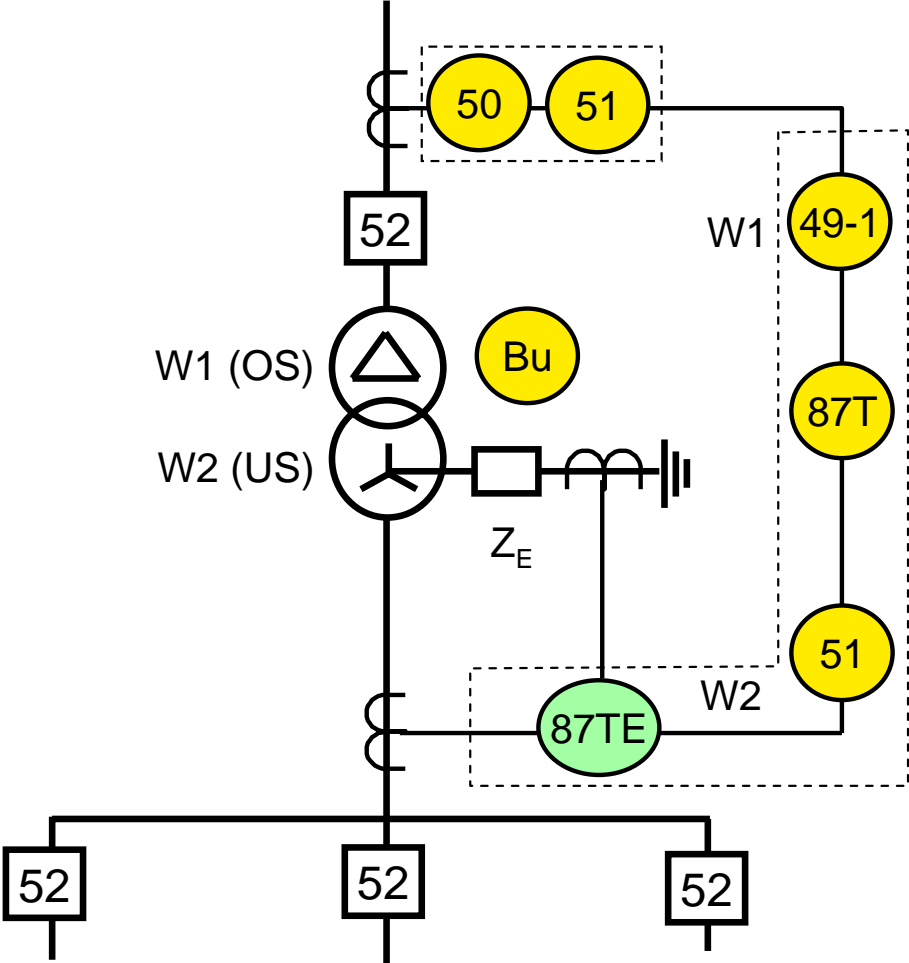
Protection of a two winding transformer



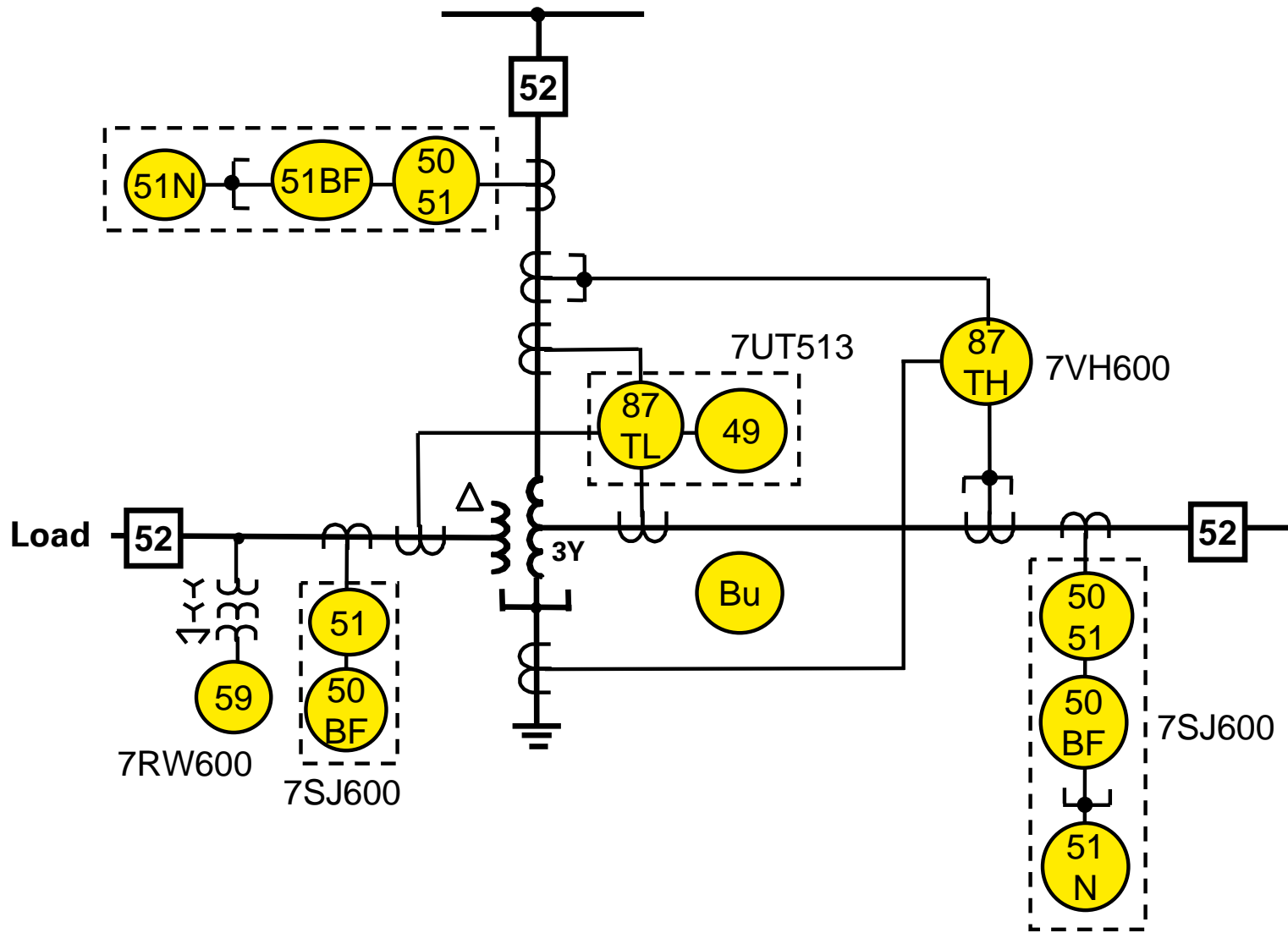
Protection of a three winding transformer



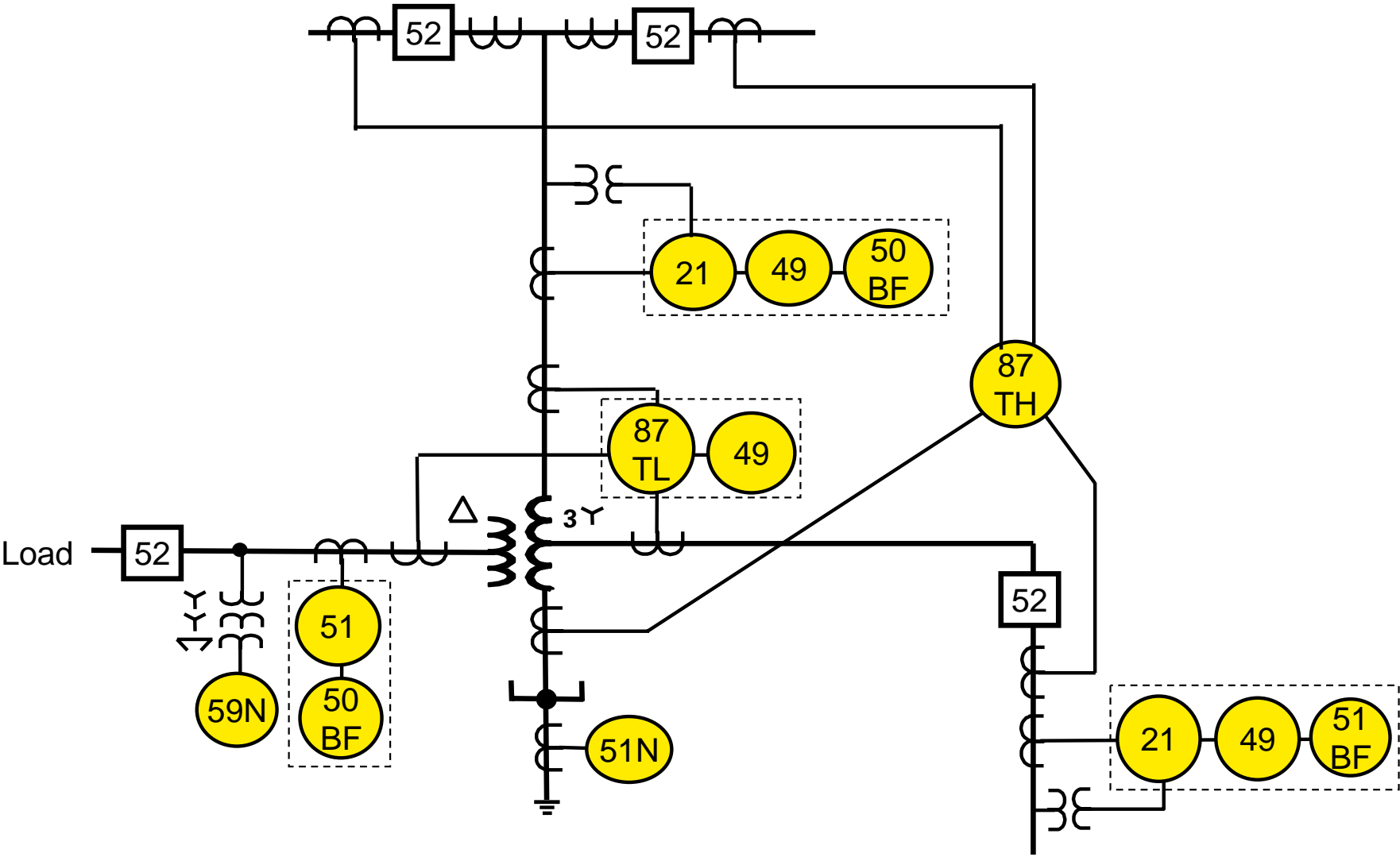
Restricted earth fault protection for a two winding transformer



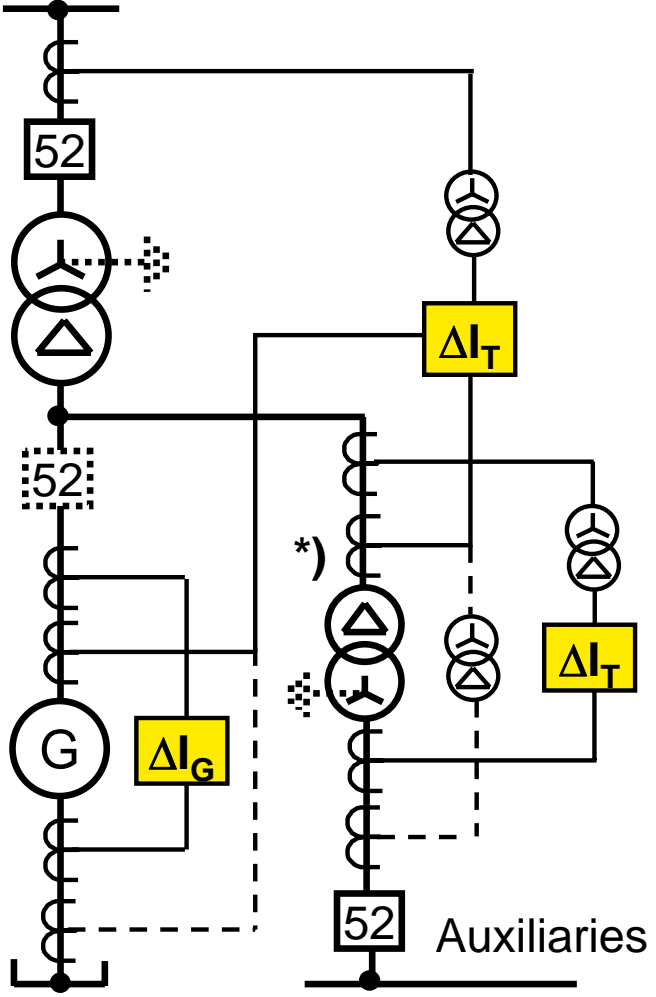
Protection of an autotransformer



Protection of a large transformer bank

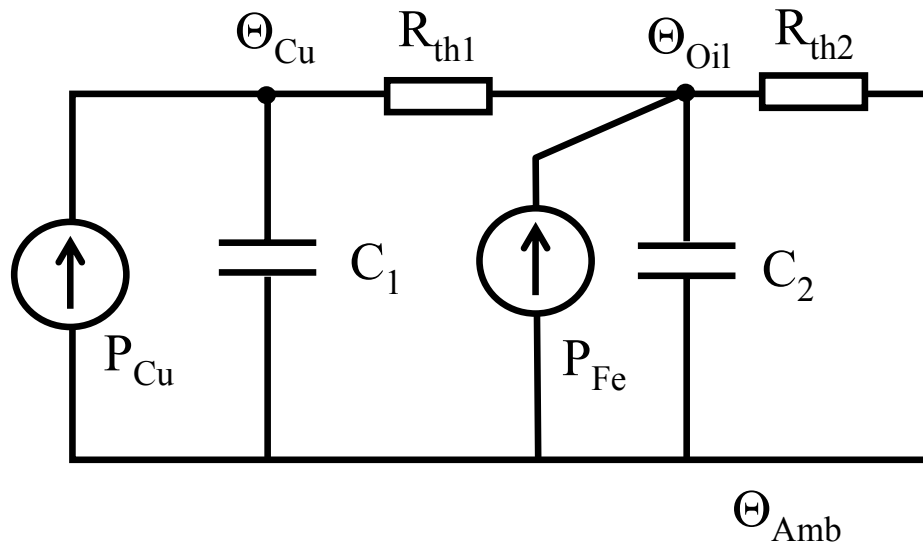


Differential protection of generation units (2)



*) same ratio as generator CTs

Thermal protection of transformers



Legend:

P_{Cu} : Winding losses ($I^2 \cdot R$)

P_{Fe} : Core and tank losses

R_{th1} : Thermal resistance Copper-Oil

R_{th2} : Thermal resistance Oil-Air (cooling medium)

C_1 : Winding thermal capacity

C_2 : Thermal capacity of Oil, Core and tank

Θ_{Cu} : Winding copper temperature

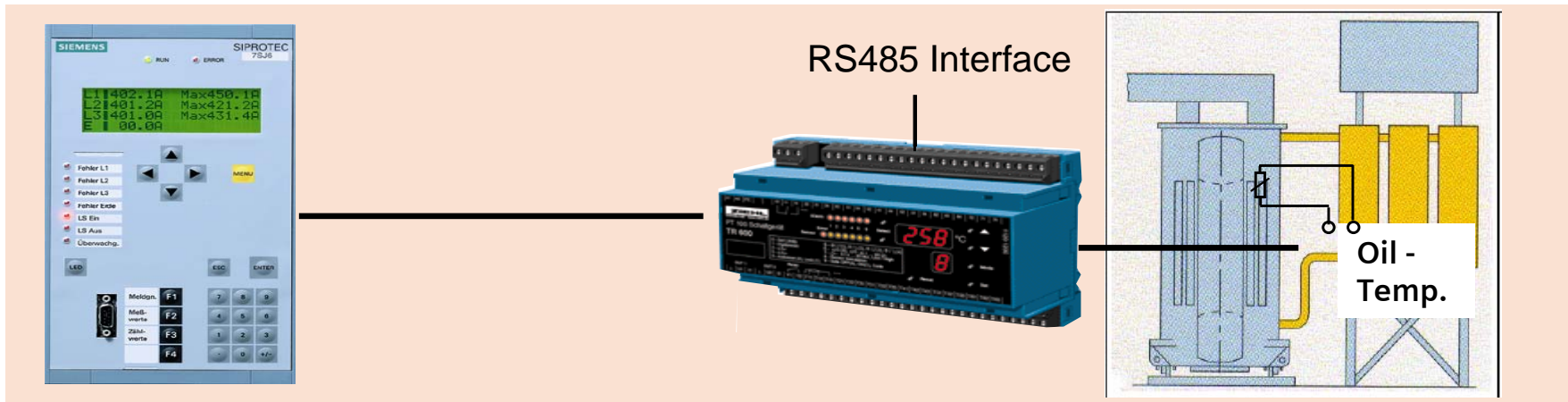
Θ_{Oil} : Oil temperature

$\Theta_{Amb.}$: Ambient temperature

Lifetime of insulation depends on the winding Hot-spot temperature.

6 °C higher temperature increases the aging of the insulation by the factor 2!

Temperature monitoring



- Two thermo-devices can be connected to the serial service interface
- Monitoring of up to 12 measuring points (6 per thermo-device)
- One input is reserved for hot spot monitoring (measurement of oil temperature)
- Thermistors: Pt100, Ni100 or Ni120

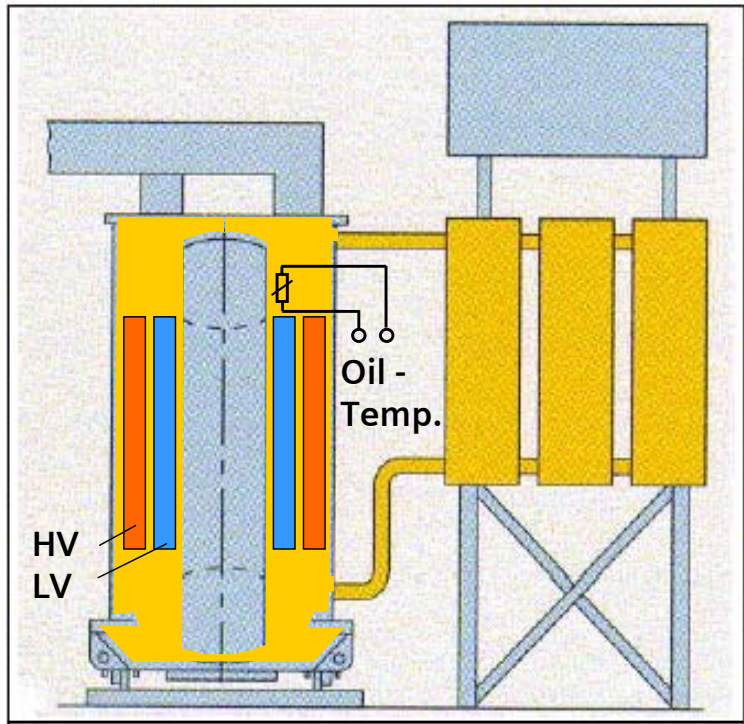
The the upper oil temperature is directly measured by the use of thermoelement.
 The hot spot temperature is calculated by the relay using the thermal model Cu-Oil:

$$\frac{d\Theta_{Cu}}{dt} = \frac{1}{\tau_{Th}} \cdot \left(\frac{I}{I_r} \right)^2 - \frac{1}{\tau_{Th}} \cdot (\Theta_{Cu} - \Theta_{Oil})$$

I = actual transformer current
 I_r = rated transformer current
 τ_{th} = time constant of the winding

7UT6: Temperature monitoring with hot spot calculation (1)

Example: Natural cooling



$$\Theta_h = \Theta_o + H_{gr} \cdot k^Y$$

Θ_h = hot spot temperature

Θ_o = oil temperature

H_{gr} = hot-spot-to-oil temperature gradient

k = load factor I/I_n

Y = winding exponent

Aging rate:

$$V = \frac{\text{Aging at } \Theta_h}{\text{Aging at } 98^\circ\text{C}} = 2^{(\Theta_h - 98)/6}$$

98° is reference for the aging of Cellulose insulation

Mean value of aging during a fixed time interval:

$$L = \frac{1}{T_2 - T_1} \cdot \int_{T_1}^{T_2} V \cdot dt$$

Temperature monitoring with hot spot calculation (2)

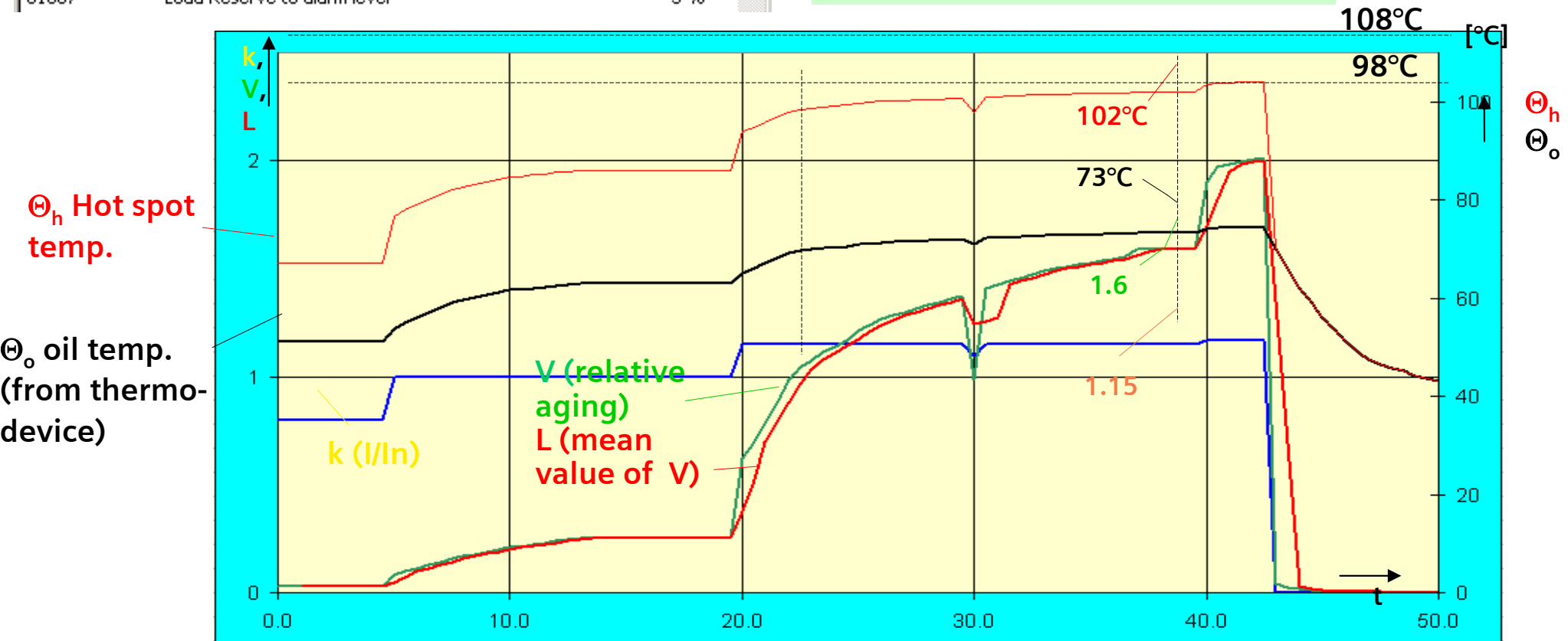
Example: Natural cooling

Number	Measured value	Value
01060	Hot spot temperature of leg 1	102 °C
01061	Hot spot temperature of leg 2	102 °C
01062	Hot spot temperature of leg 3	102 °C
01063	Aging Rate (L)	1.6
01066	Load Reserve to warning level	-10 %
01067	Load Reserve to alarm level	5 %

Number	Measured value	Value
01068	Temperature of RTD 1	73 °C

$$\Theta_h = \Theta_o + H_{gr} \cdot k^Y \approx 73 + 23 \cdot 1.15^{1.6} = 102^\circ\text{C}$$

$$V = 2^{(\Theta_h - 98)/6} = 2^{(102 - 98)/6} \approx 1.6$$

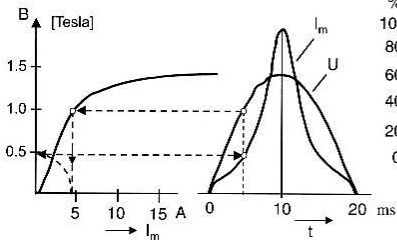


SOBREEXCITACIÓN

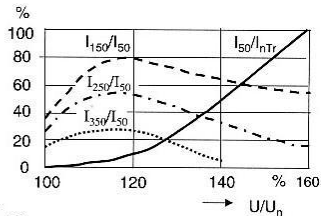
Cuando un transformador opera con sobretensiones, la corriente de magnetización se incrementa. La forma de onda de esta corriente se distorsiona a medida que el punto de trabajo es más cercano al codo de la curva de saturación del núcleo del transformador. A medida que se distorsiona, aumenta el contenido de armónicos en la corriente.

El aumento de la corriente de magnetización aparece como una corriente diferencial en la protección, provocando la operación de la protección.

Deduction of wave form



Harmonic content



Magnetising current in the event of transformer over-fluxing

SOBREEXCITACIÓN

Bloqueo por sobreexcitación

Por lo tanto, el relé diferencial debe ser capaz de discriminar entre corriente de falta interna y corriente de magnetización debido a una sobreexcitación.

Una de las técnicas más usada es la utilización de los armónicos de la corriente diferencial como base para la retención o inhibición del relé.

Este bloqueo se basa en la medida de la componente de 5to armónico con relación a la componente fundamental. Se bloquea el disparo si la relación entre: $\frac{I_{250Hz}}{I_{Hz}}$ supera cierto valor de ajuste.

TRANSFORMADOR TRIFÁSICO DE DOS ARROLLAMIENTOS:

La conexión de los relés diferenciales de porcentaje para transformadores de dos arrollamientos debe ser tal que garantice su operación para todas las faltas internas a la zona protegida, y su bloqueo para cualquier otra condición de operación, incluyendo faltas externas. Para ello es necesario que la corriente que llega a una de las bobinas de restricción sea igual a la que sale, para cada fase del relé.

Esto sugiere dos pasos para la conexión correcta del relé diferencial:

- compensar el desfase entre las corrientes primarias y secundarias (generalmente usando conexión en triángulo): para asegurarse que las corrientes que llegan al relé están en fase.
- ajuste de la relación: seleccionar taps en los relés para minimizar la diferencia de las corrientes que circula para la bobina de operación.

En los relés electromecánicos, se realizaba mediante la conexión de transformadores de corriente auxiliares.

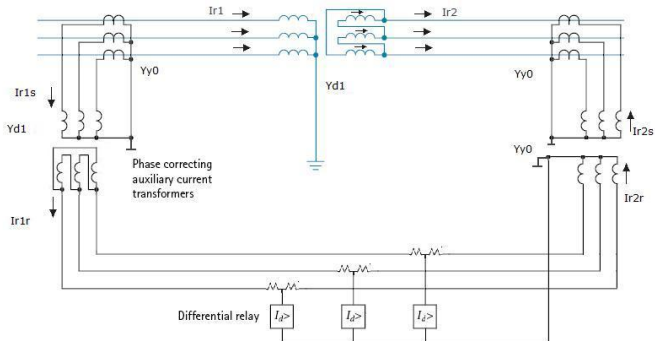
En los relés numéricos, se realiza mediante ajustes en el relé.

TRANSFORMADOR TRIFÁSICO DE DOS ARROLLAMIENTOS:

Desfasaje:

Para compensar el desfase de corrientes en transformadores Yd, se debe conectar un grupo de transformadores de corriente en triángulo y otro en estrella. Cualquiera de los dos grupos se puede conectar en triángulo, pero es recomendable conectar en triángulo el grupo de transformadores de corriente del arrollamiento en estrella.

Ejemplo de conexión:



EJEMPLO DE CONEXIÓN

Conexión de un relé para un transformador de 2 arrollamientos:

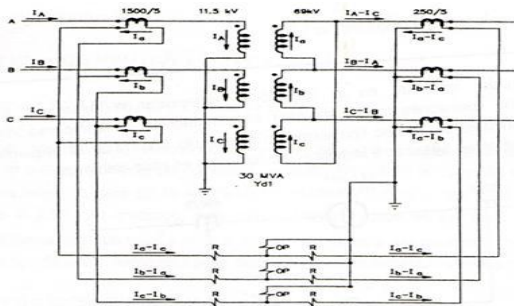
Se considera un transformador de 30MVA, 11.5/69 kV, Yd1.

Determinar la relación de transformación y la conexión de los transformadores de corriente requeridos para ajustar el relé diferencial.

Deben utilizarse transformadores de corriente con relaciones normalizadas.

Se utiliza un relé diferencial de porcentaje, y los taps de corriente disponibles son: 5.0 / (5.0 - 5.5 - 6.0 - 6.6 - 7.3 - 8.0 - 9.0 - 10.0)A.

La figura muestra el esquema trifásico de conexiones. Se muestran que las corrientes de restricción del lado estrella y del triángulo están en fase.



EJEMPLO DE CONEXIÓN

Las corrientes nominales de carga de cada arrollamiento son:

- $I_{carga}(69kV) = \frac{30MVA}{\sqrt{3} \cdot 69kV} = 251A$
- $I_{carga}(11,5kV) = \frac{30MVA}{\sqrt{3} \cdot 11,5kV} = 1506A$

La relación de transformación son: del lado de 11.5kV: 1500/5A; y del lado de 69kV: 250/5A.

Finalmente, se eligen los taps correspondiente en el relé. Con las dos relaciones elegidas, las corrientes en los arrollamientos del relé, para las condiciones nominales, son:

- $I_{rele}(69kV) = 251 \frac{5}{250} = 5,02A$
- $I_{rele}(11,5kV) = 1506 \frac{5}{1500} = 5,02A \times \sqrt{3} = 8,69$
- \Rightarrow se selecciona el tap 5/5 A del lado de 69kV y 5/9 A del lado de 11kV.

EJEMPLO DE CONEXIÓN

Determinación de la pendiente:

El ajuste de la pendiente de los relés diferenciales se lleva a cabo con el objetivo de asegurar que no habrá una operación incorrecta debido a las diferencias en las corrientes de las bobinas de restricción causado por las relaciones de los transformadores de corriente y la operación de los cambios del tap bajo condiciones de carga.

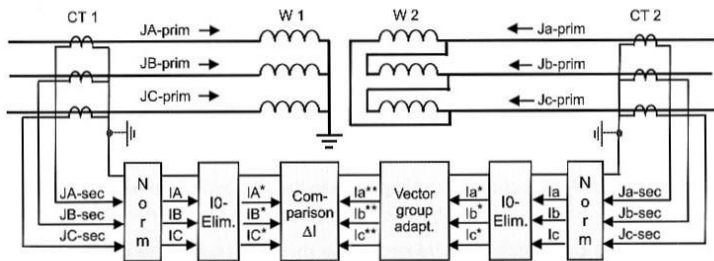
Se ajusta la pendiente y la corriente de umbral en función de la magnitud de la corriente de magnetización en condiciones normales, los errores introducidos por los transformadores de corriente y del rango de regulación bajo carga.

EJEMPLO DE CONEXIÓN

Ejemplo: Relé numéricos:

En los relés numéricos no es necesario la utilización de transformadores auxiliares para compensar la relación y desfaseaje.

La siguiente figura es un ejemplo de como se implementa en los relés numéricos:

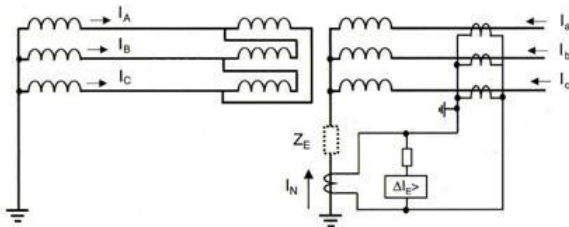


Numerical current adaptation for the comparison

PROTECCIÓN PARA FALTAS A TIERRA:

Los transformadores con neutro puesto a tierra en forma rígida o a través de una resistencia, pueden ser equipados con diferentes tipos de relés para faltas a tierra.

El relé diferencial restringido de alta impedancia para faltas a tierra, solo puede operar para faltas dentro de la zona de protección. La figura muestra la conexión de este tipo de relé para arrollamiento en estrella. El relé es sensible y confiable y se obtiene una alta velocidad de operación.



Application of the HI restricted earth-fault protection

PROTECCIÓN PARA FALTAS A TIERRA:

La corriente, que proviene de los transformadores de corriente de fase, está balanceada con la corriente que proviene del transformador de corriente conectado en el neutro.

falta interna: las corrientes de los transformadores de corriente tienen direcciones opuestas, y se produce una tensión elevada en los extremos del relé de alta impedancia. La tensión de saturación de los transformadores de corriente debe ser al menos el doble de la tensión de operación del relé.

falta externa: la corriente circula entre los transformadores de corriente. El relé es luego estable para todas las faltas externas, aún cuando uno de los transformadores de corriente saturará.

7UT6

Integrated protection functions

87T

Transformer differential protection

- $\Delta I >$
- Rush-stabilised (2nd harmonic)
- Stabilised against overfluxing (5th harmonic)
- $\Delta I >>$ high set element, non-stabilised

49-1

49-2

Thermal overload protection

50/51

50HS

Time overcurrent protection (IT or DT)

87N

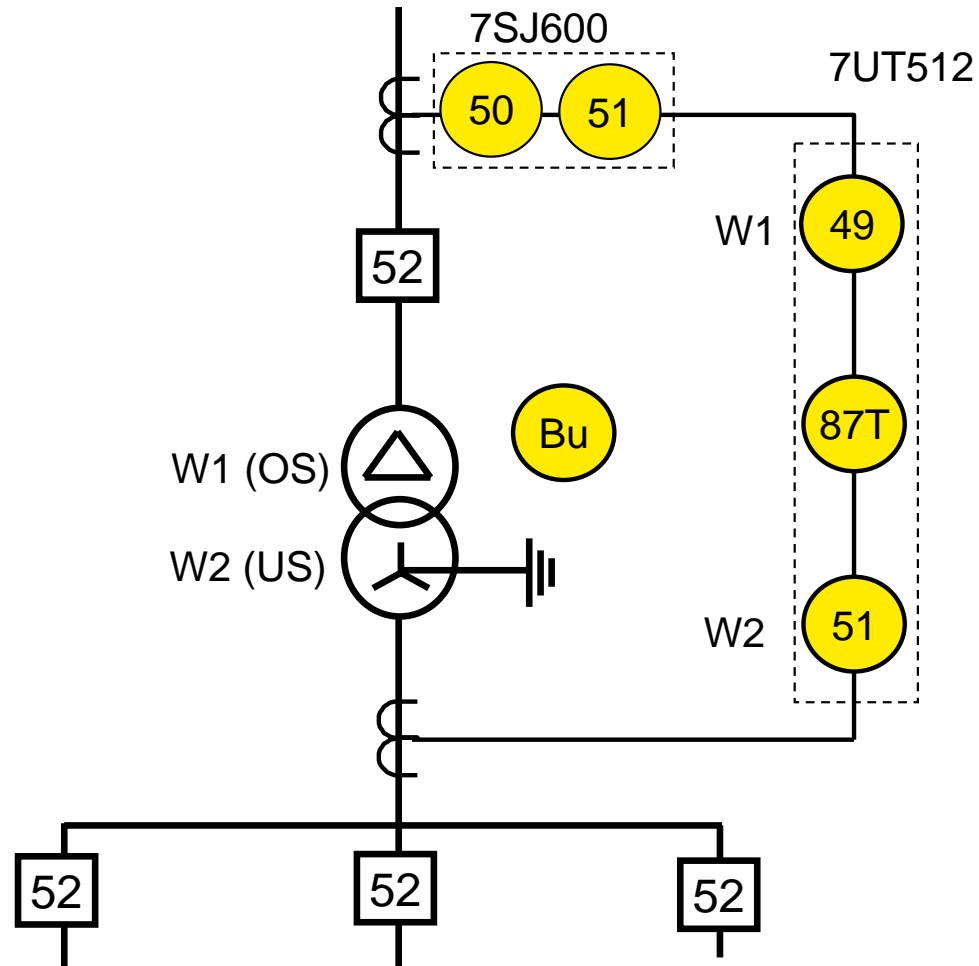
Earth current differential protection (7UT613)

64T

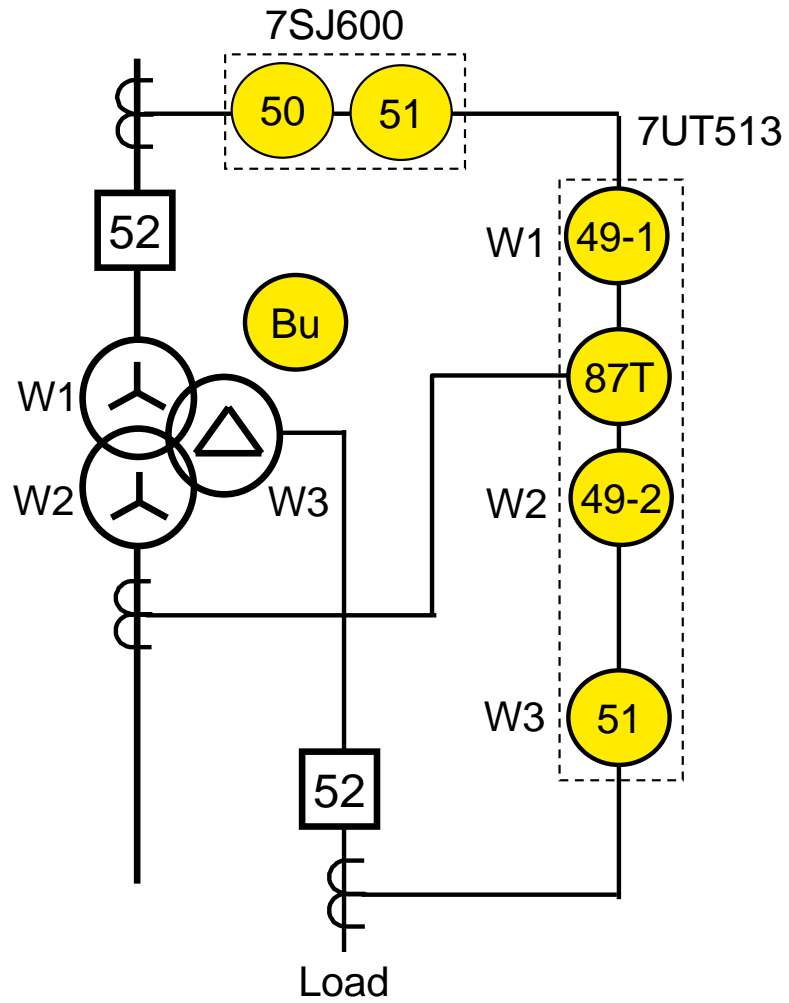
Tank protection (7UT613)

Application examples

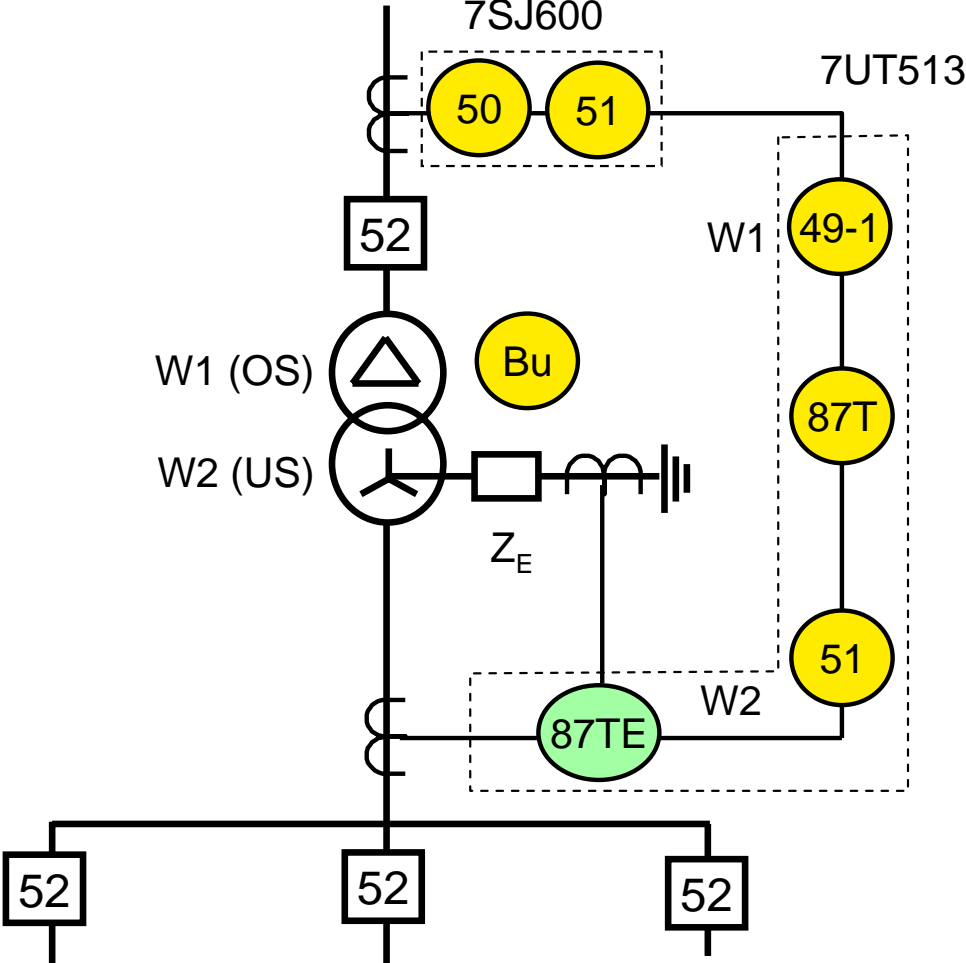
Protection of a two winding transformer



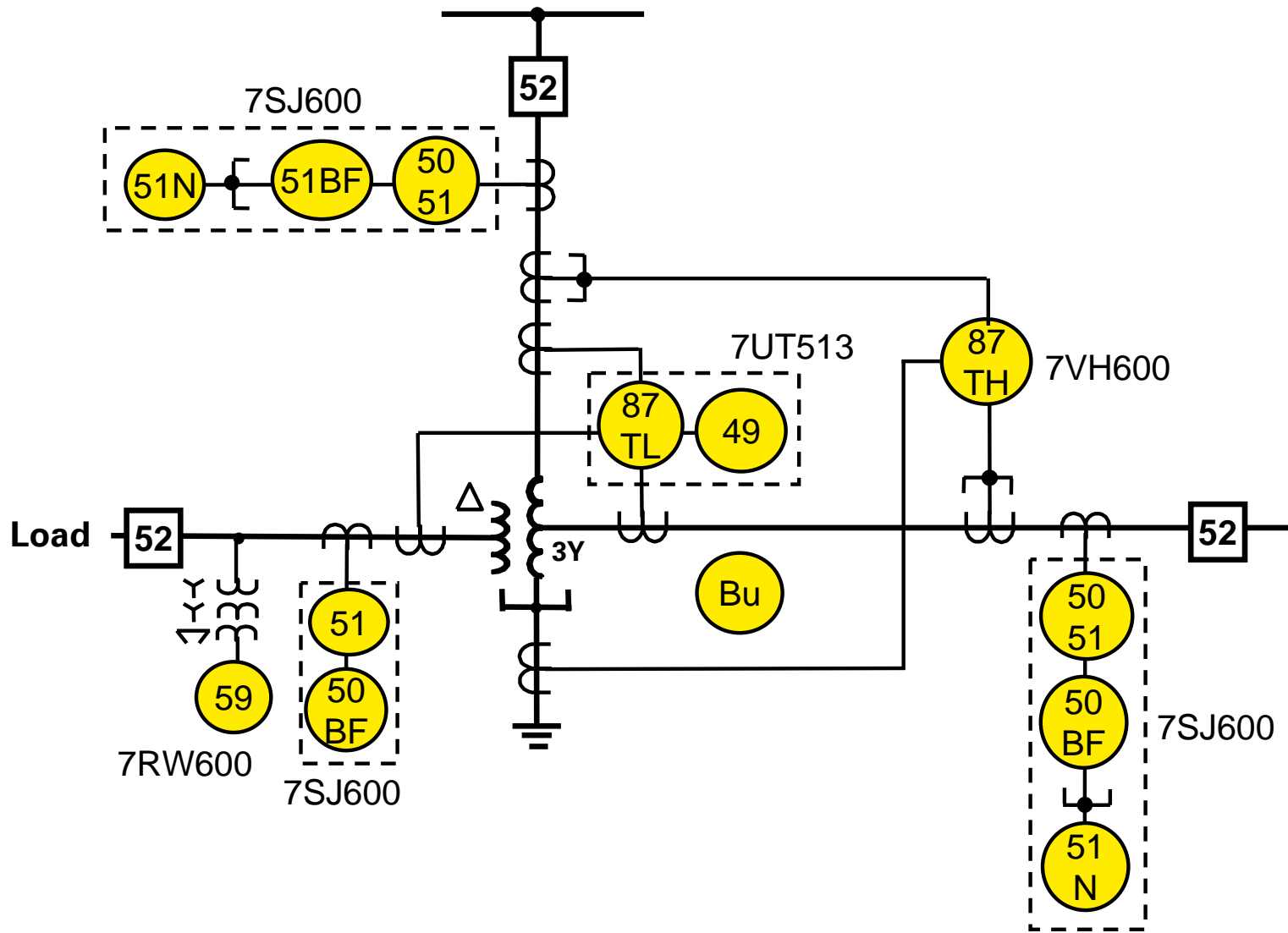
Protection of a three winding transformer



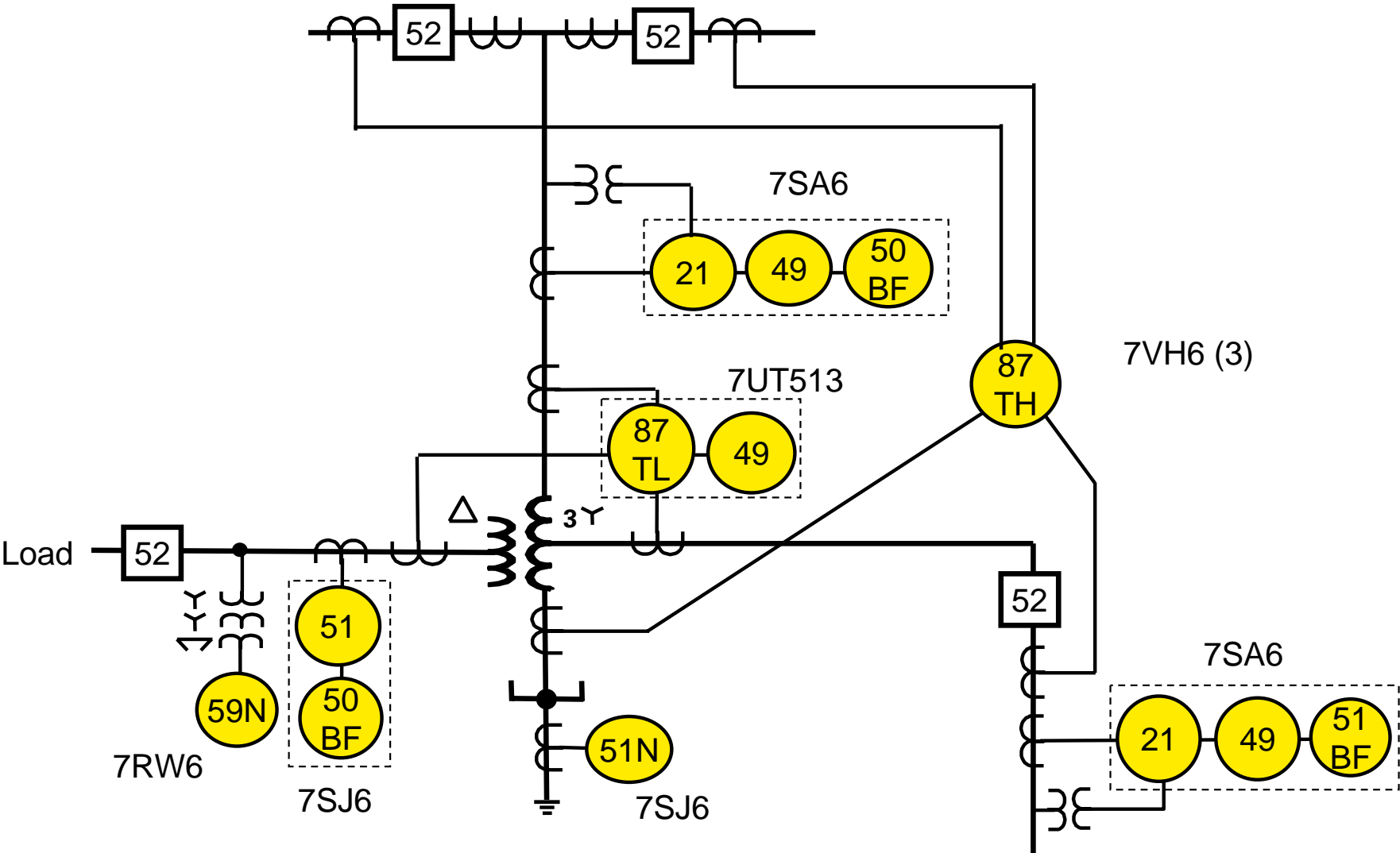
Restricted earth fault protection for a two winding transformer



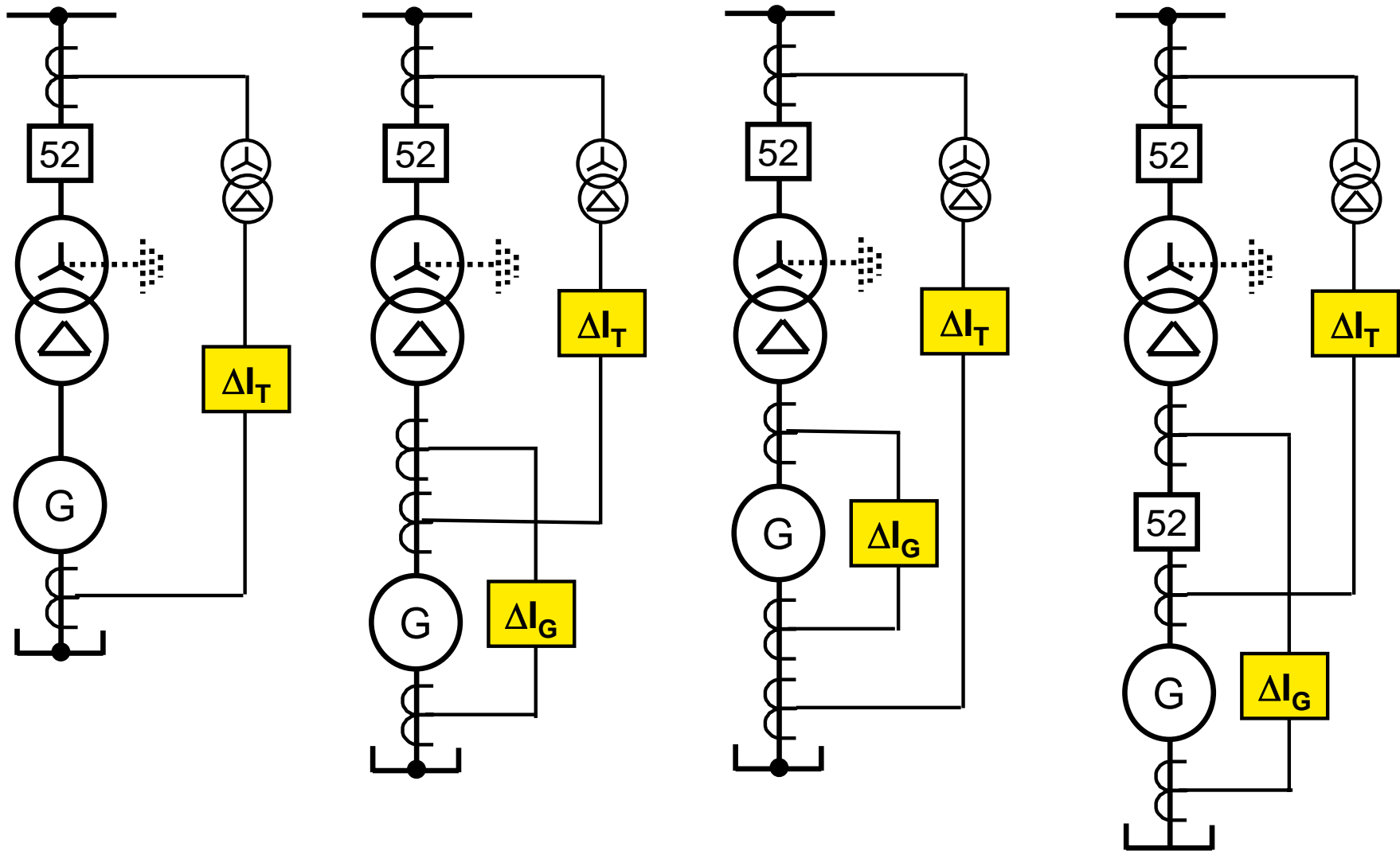
Protection of an autotransformer



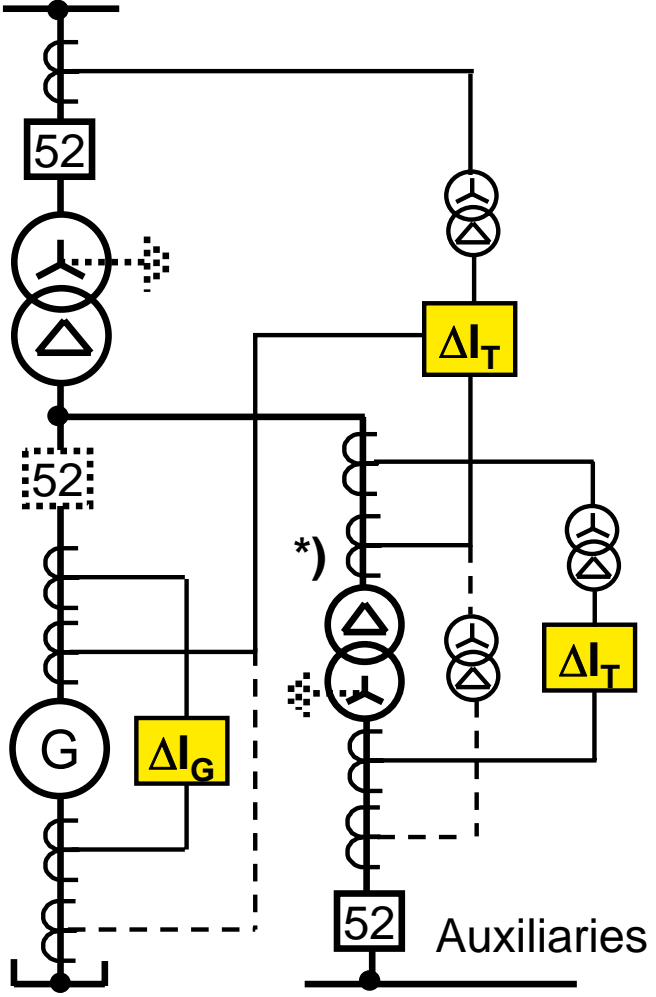
Protection of a large transformer bank



Differential protection of generation units

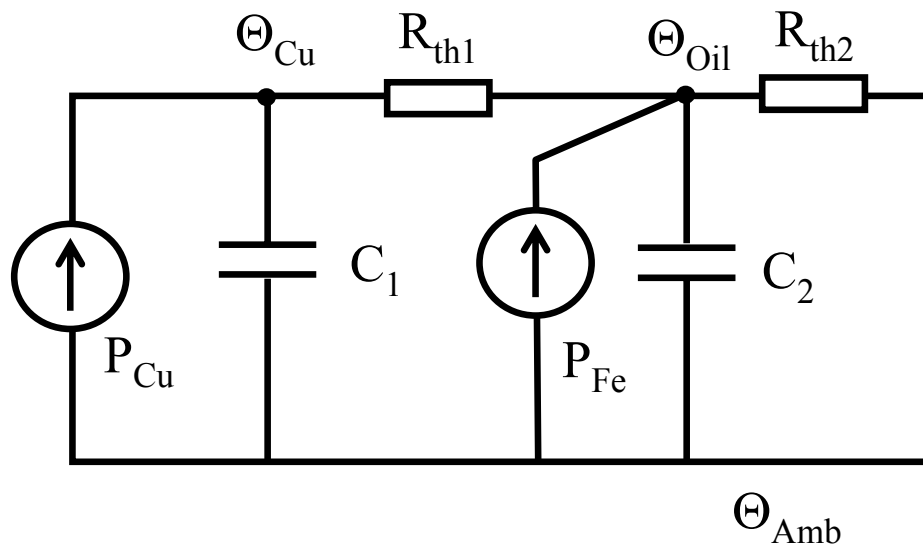


Differential protection of generation units (2)



*) same ratio as generator CTs

Thermal protection of transformers



Legend:

P_{Cu} : Winding losses ($I^2 \cdot R$)

P_{Fe} : Core and tank losses

R_{th1} : Thermal resistance Copper-Oil

R_{th2} : Thermal resistance Oil-Air (cooling medium)

C_1 : Winding thermal capacity

C_2 : Thermal capacity of Oil, Core and tank

Θ_{Cu} : Winding copper temperature

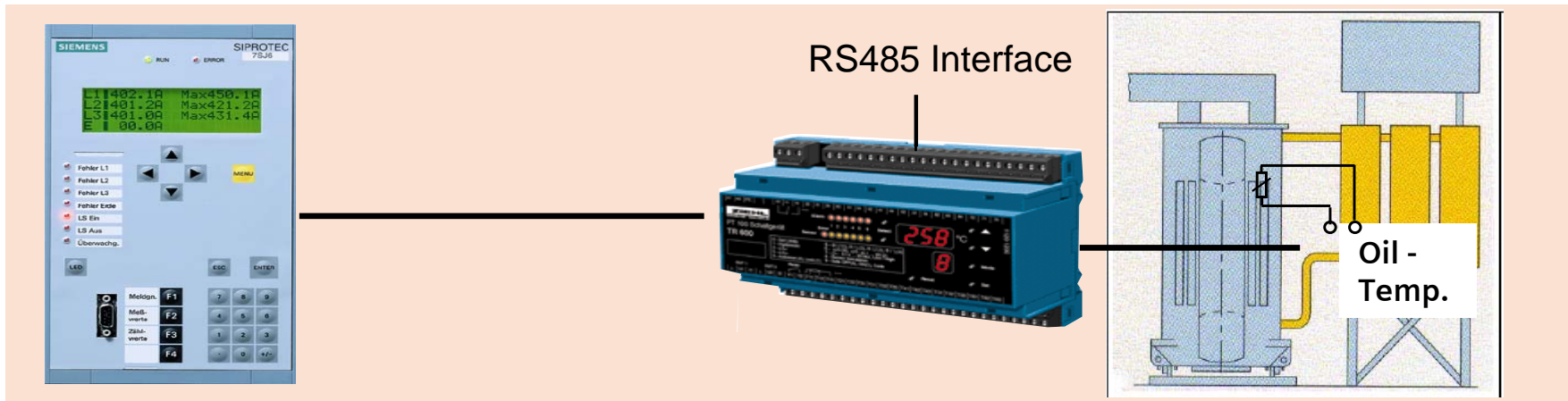
Θ_{Oil} : Oil temperature

$\Theta_{Amb.}$: Ambient temperature

Lifetime of insulation depends on the winding Hot-spot temperature.

6 °C higher temperature increases the aging of the insulation by the factor 2!

7SA6: Temperature monitoring



- Two thermo-devices can be connected to the serial service interface
- Monitoring of up to 12 measuring points (6 per thermo-device)
- One input is reserved for hot spot monitoring (measurement of oil temperature)
- Thermistors: Pt100, Ni100 or Ni120

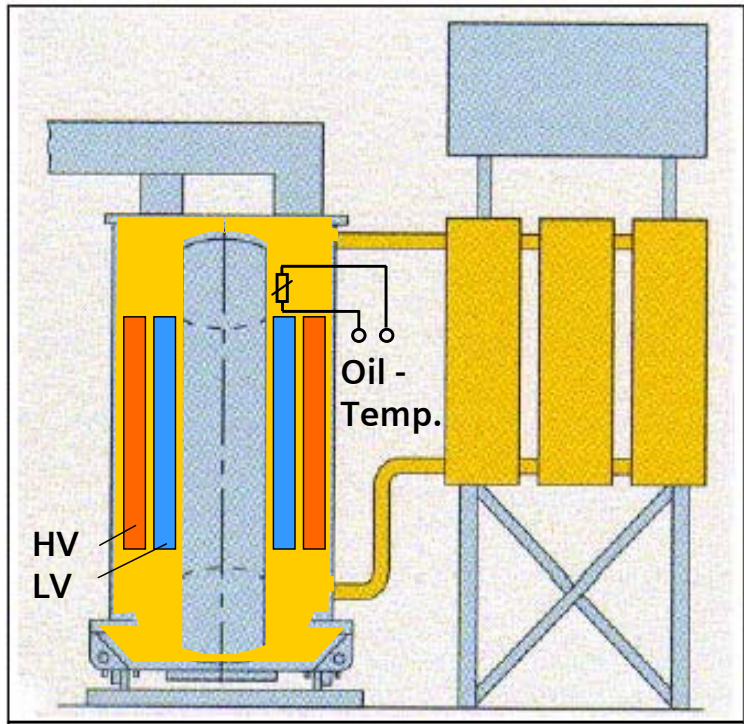
The the upper oil temperature is directly measured by the use of thermoelement.
 The hot spot temperature is calculated by the relay using the thermal model Cu-Oil:

$$\frac{d\Theta_{Cu}}{dt} = \frac{1}{\tau_{Th}} \cdot \left(\frac{I}{I_r} \right)^2 - \frac{1}{\tau_{Th}} \cdot (\Theta_{Cu} - \Theta_{Oil})$$

I = actual transformer current
 I_r = rated transformer current
 τ_{th} = time constant of the winding

7UT6: Temperature monitoring with hot spot calculation (1)

Example: Natural cooling



$$\Theta_h = \Theta_o + H_{gr} \cdot k^Y$$

Θ_h = hot spot temperature

Θ_o = oil temperature

H_{gr} = hot-spot-to-oil temperature gradient

k = load factor I/I_n

Y = winding exponent

Aging rate:

$$V = \frac{\text{Aging at } \Theta_h}{\text{Aging at } 98^\circ\text{C}} = 2^{(\Theta_h - 98)/6}$$

98° is reference for the aging of Cellulose insulation

Mean value of aging during a fixed time interval:

$$L = \frac{1}{T_2 - T_1} \cdot \int_{T_1}^{T_2} V \cdot dt$$

7UT6: Temperature monitoring with hot spot calculation (2)

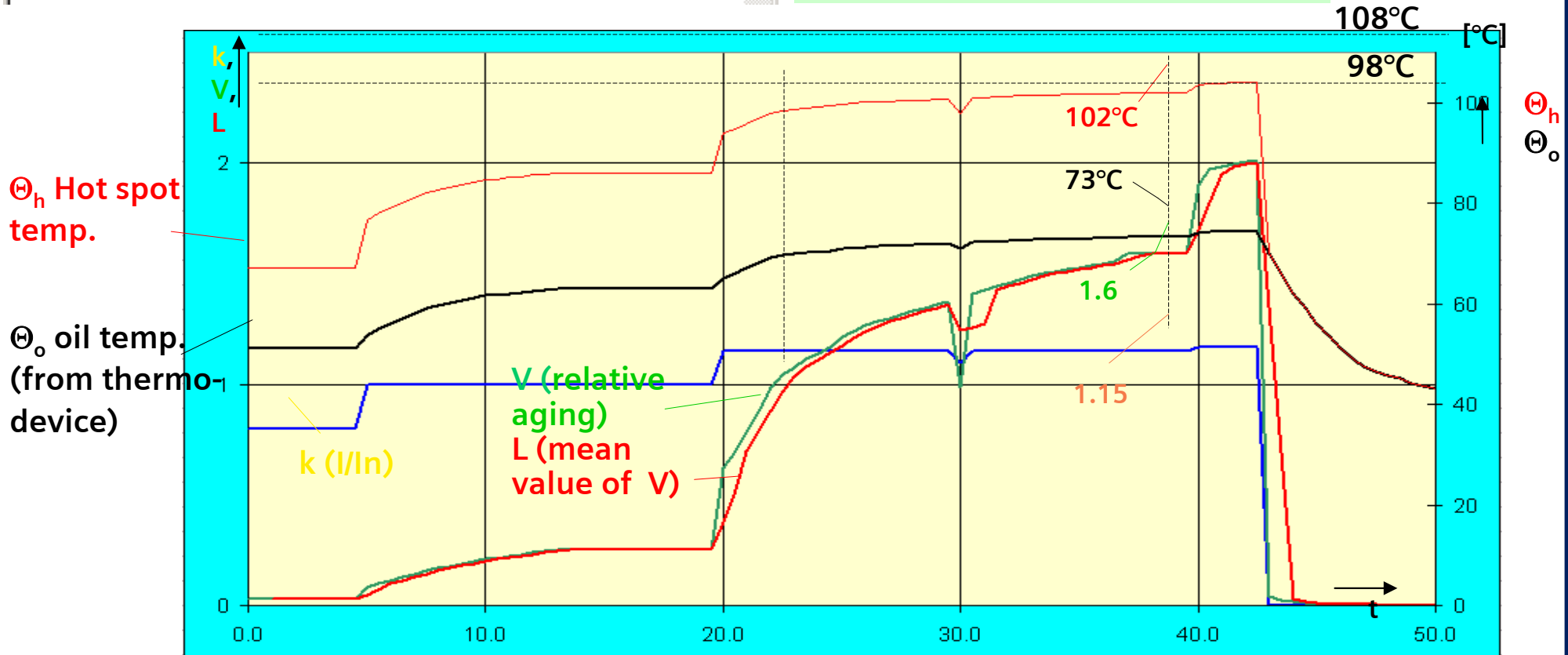
Example: Natural cooling

Number	Measured value	Value
01060	Hot spot temperature of leg 1	102 °C
01061	Hot spot temperature of leg 2	102 °C
01062	Hot spot temperature of leg 3	102 °C
01063	Aging Rate (L)	1.6
01066	Load Reserve to warning level	-10 %
01067	Load Reserve to alarm level	5 %

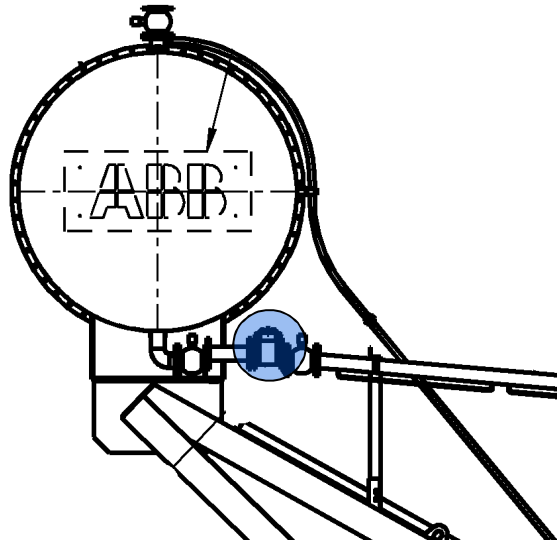
Number	Measured value	Value
01068	Temperature of RTD 1	73 °C

$$\Theta_h = \Theta_o + H_{gr} \cdot k^Y \approx 73 + 23 \cdot 1.15^{1.6} = 102^\circ\text{C}$$

$$V = 2^{(\Theta_h - 98)/6} = 2^{(102 - 98)/6} \approx 1.6$$



Relé Buchholz



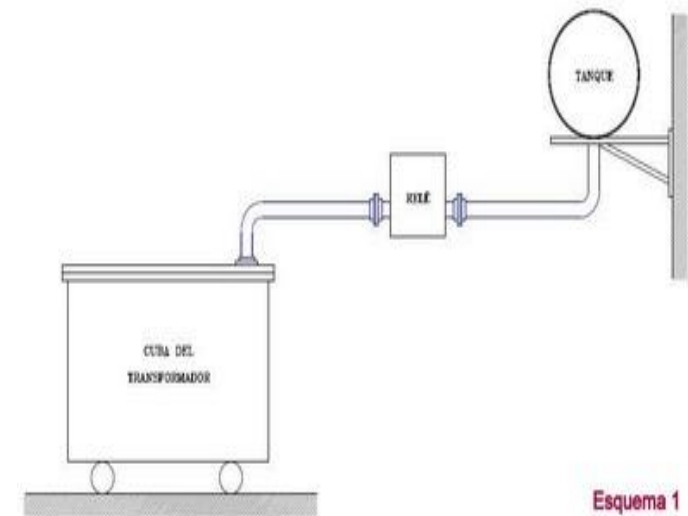
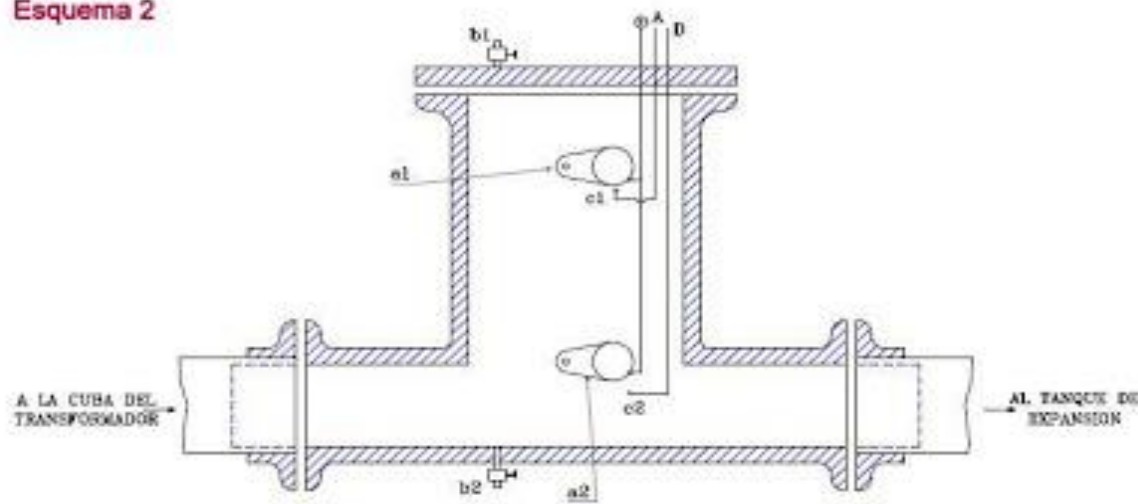
Buchholz relay

- Se instala en la conducción de aceite entre cuba y depósito de expansión
- Es la protección propia más importante del transformador
- Se considera una protección primaria de la máquina
- Es muy rápida
- Es muy simple conceptualmente
- Detecta una falta interna por variación brusca del volumen de gases en el aceite
- Se ve afectada por problemas mecánicos, que pueden dar lugar a disparos intempestivos.
- Exige una cuidadosa puesta en servicio (purga de gases)
- Requiere de mantenimiento, al tratarse de un elemento mecánico
- No necesita fuentes auxiliares de tensión

RELÉ BUCHHOLZ

- ✓ Se aplica en el caso de elevación muy rápida de la presión y detección de gas en cubas de trafos inmersos en aceite.
- ✓ Se instala en la pipeta de conexión entre la cuba y el tanque de expansión, y responde a fallas de arco interna y descomposición lenta de materiales aislantes.

Esquema 2



Esquema 1

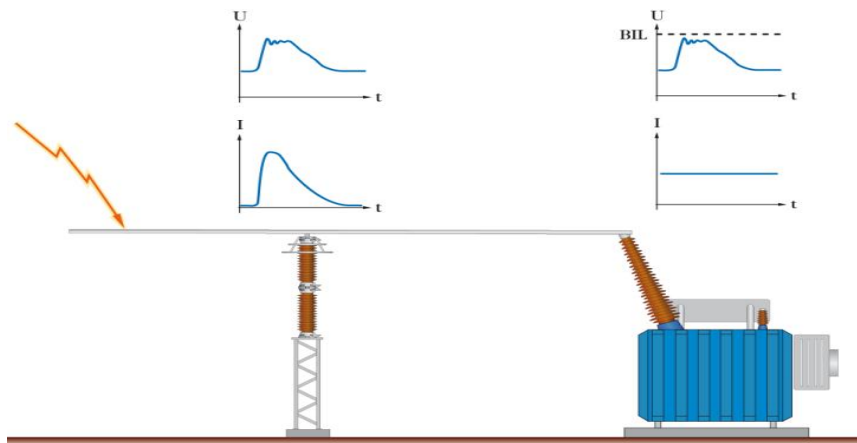


- ✓ El relé actúa ya sea por ondas de presión o por acumulación de aceite, o por pérdida de aceite por debajo del nivel del relé. Existen contactos separados para alarma y disparo.
- ✓ Los gases que pueden producirse en el interior de la cuba **suben por el caño** en el cual está instalado el relé Buchholz (esquema 1) quedando atrapado en este.
- ✓ La caja del relé está llena de aceite conteniendo los **flotadores a1 y a2 móviles**. Cuando por causa de un defecto se producen **pequeñas burbujas de gas**, éstos se elevan en la cuba hacia el tanque de expansión y son captadas por el relé y almacenados en la caja cuyo nivel de aceite **baja progresivamente**. El flotador superior se inclina y cuando la cantidad de gases es suficiente, cierra los contactos (**c1**) que alimenta el **circuito de alarma**.
- ✓ Si por la importancia del defecto haya una formación tumultuosa de gas, **cae el flotante a2 cerrándose c2** y produciéndose el **desenganche del transformador**.
- ✓ En caso de deterioro de gran magnitud que de lugar a un arco en el interior de la cuba, se producirá un flujo violento de aceite hacia el tanque de expansión que cerrará el contacto c2 **sacando el transformador de servicio** en acción rápida de manera tal de que el transformador no se averíe por la **sobrecarga**.

- ✓ El relé también actúa cuando el nivel de aceite desciende por debajo de un límite determinado.
- ✓ Grifo **b1** que permite la **salida de los gases** acumulados en la caja. Otro grifo **b2**, permite comprobar que los contactos flotadores y conexiones se hallan en buen estado.
- ✓ El relé detecta **cortocircuitos entre espiras, entre arrollamiento y núcleo y entre arrollamientos, interrupción de una fase, sobrecargas excesivas, pérdidas de aceite, etc.** La gran ventaja de este relé es su **elevada sensibilidad** para advertir deterioros o fallas incipientes.
- ✓ Las características de los gases acumulados en el Buchholz puede dar una idea del tipo de desperfecto y en que parte del transformador se ha producido. El color de los gases puede brindar también idea de la naturaleza del desperfecto:
 - Gases de color **blanco** provienen de la destrucción del **papel**
 - Gases **amarillos** de la destrucción de piezas de **madera**
 - Humos **negros o grises** provienen de la **descomposición del aceite**
 - Gases **rojos** del aislamiento de los **bobinados**.
- ✓ Una **mirilla** en el relé permite observar los gases debiéndose observar el color de los mismos a los pocos minutos de aparecida la avería, dado que luego desaparece.

Autoválvulas

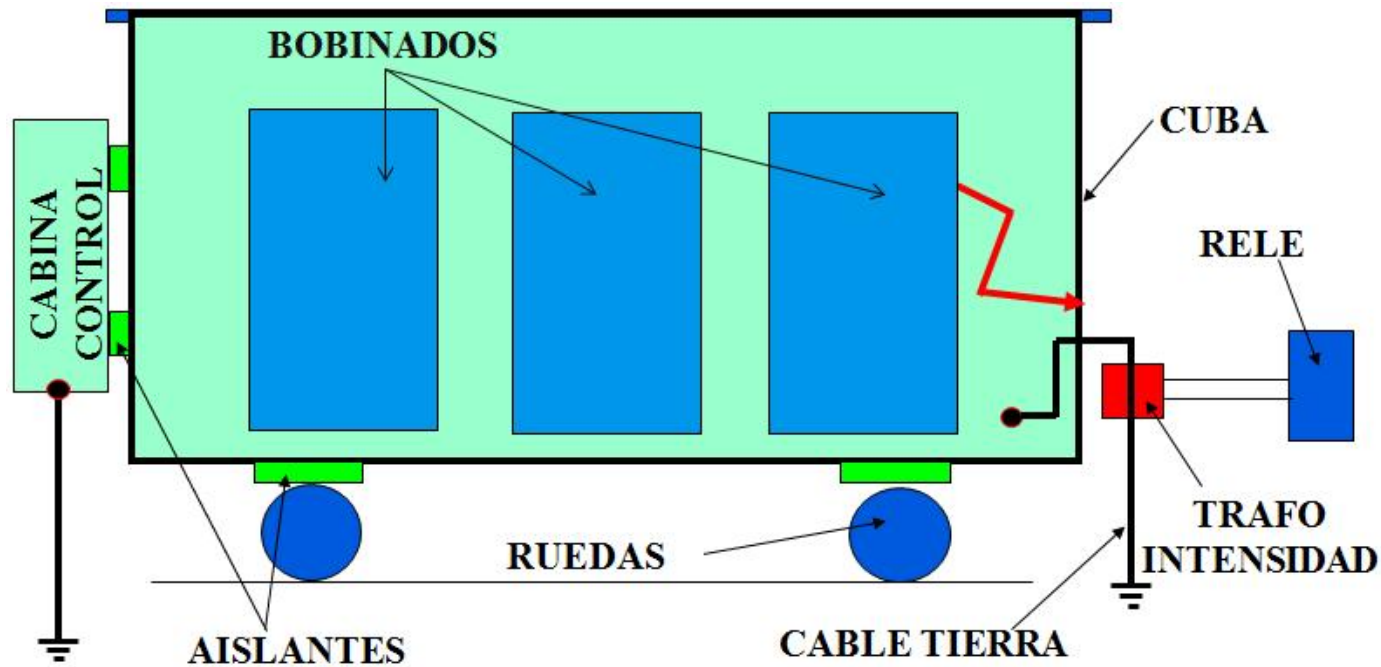
- Protegen al transformador frente a sobretensiones:
 - Caída de rayos
 - Maniobras de operación
- Dirige la corriente a tierra, manteniendo la tensión al nivel de protección
- Vuelve a su estado original para operar nuevamente
- De acuerdo a la coordinación de aislamiento
- Situación lo más próxima al transformador
- Montaje sobre bases aislantes.
- Contador de descargas



Protección contra defectos internos

PROTECCIÓN MASA-CUBA DETECTA:

- Faltas o descargas a tierra



Nota:

El transformador debe estar aislado de tierra, bien mediante calzos aislantes interpuestos entre las ruedas y railes ó por placas aislantes montadas entre la base de la cuba y las ruedas.

Detección de sobrecargas



- Termómetros (aceite)

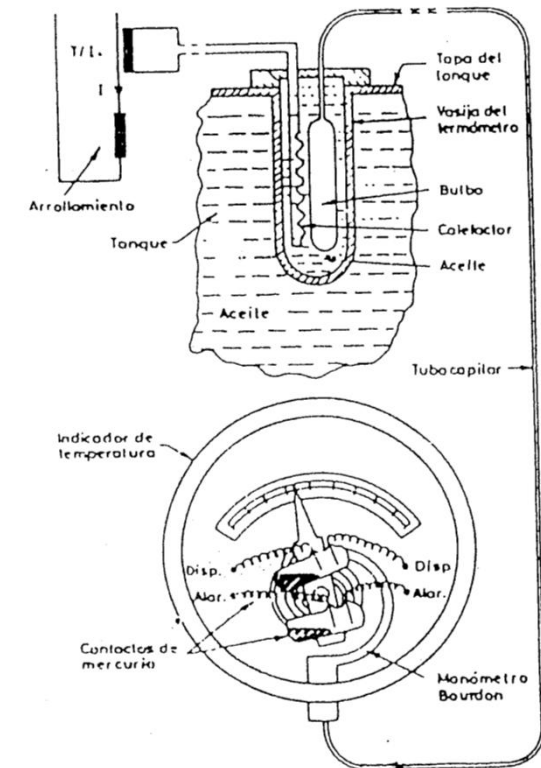
- *Termómetro en tapa*

- Imágenes térmicas (arrollamientos)

- Con compensación de corriente para simular la temperatura de los arrollamientos.

- Sondas de medida directa

- Generalmente instalados en puntos críticos de bobinado o transformador

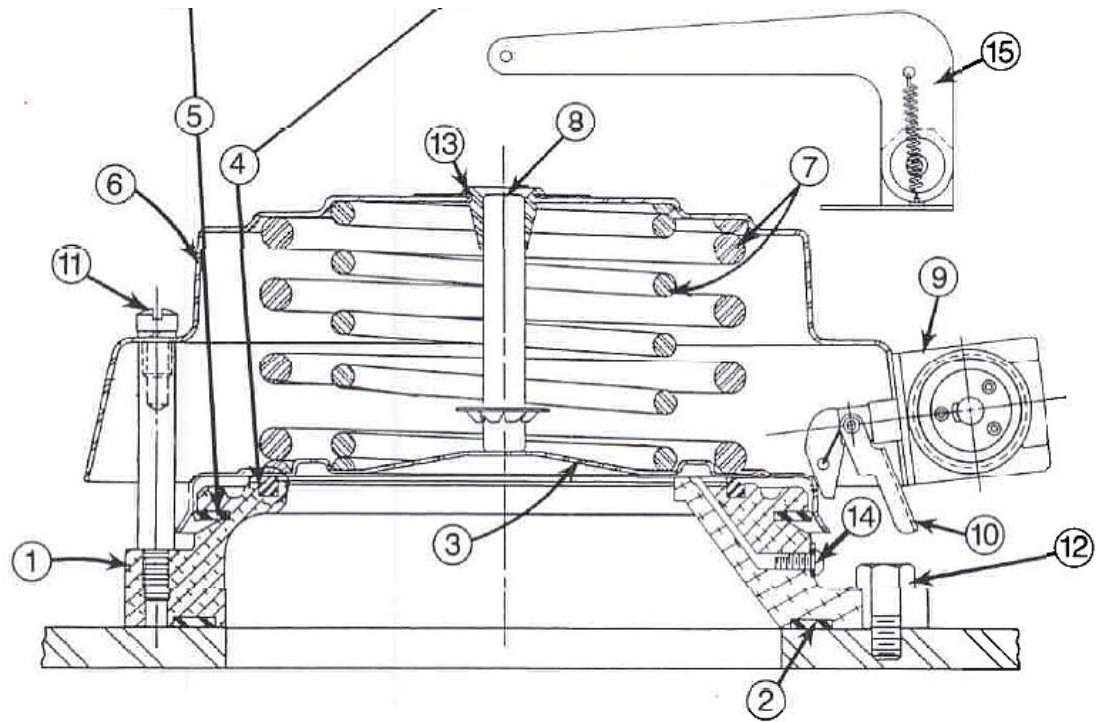


Protección contra defectos internos

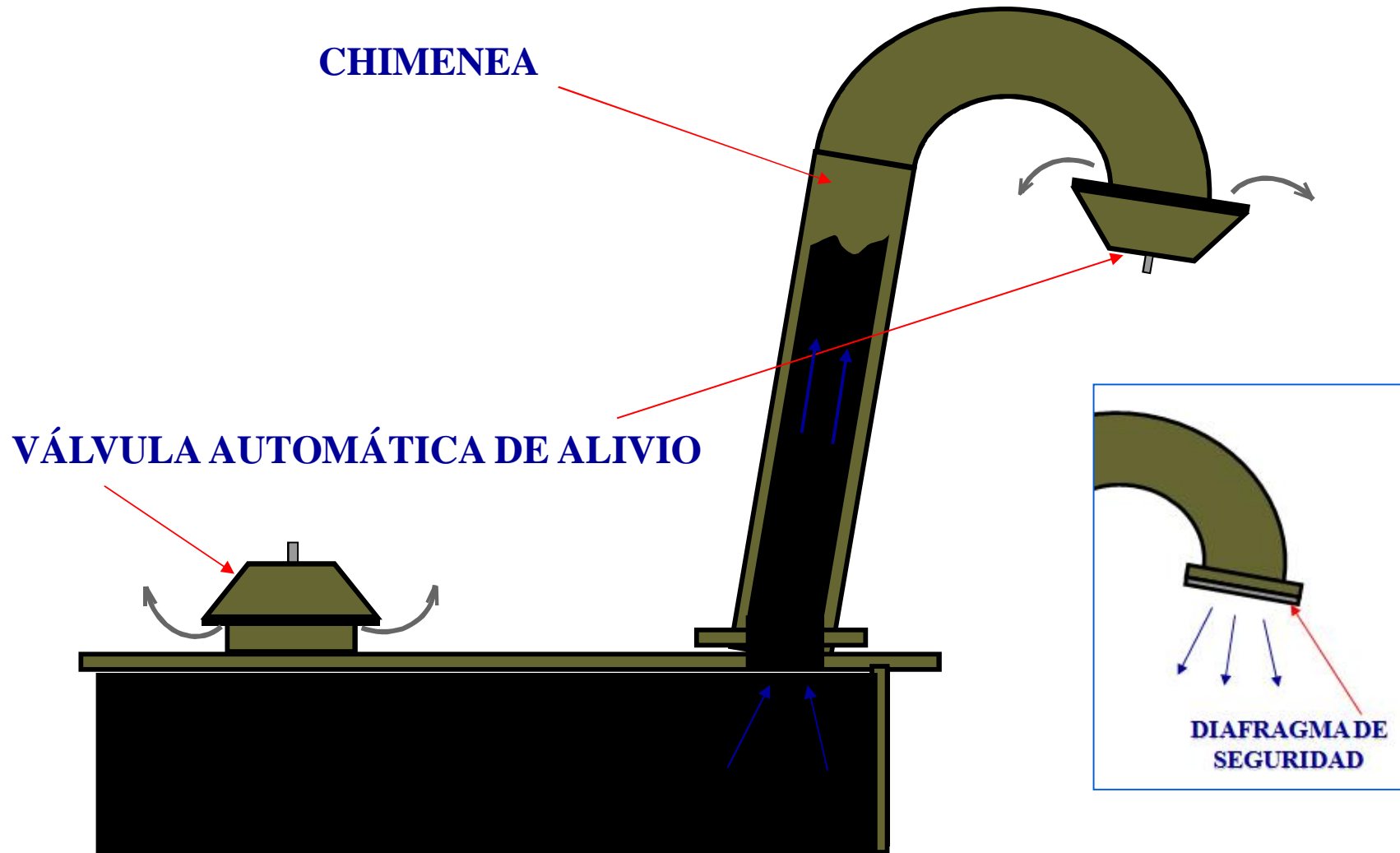
OTRAS PROTECCIONES:

- CHIMENEAS DE EXPLOSIÓN
- VÁLVULAS AUTOMÁTICAS DE ALIVIO
- SISTEMAS DE PRESERVACIÓN DE ACEITE:
 - A presión constante en contacto con el aire
 - A presión constante sin contacto con el aire
 - A presión variable (sellados)
- Nivel magnético
- PROTECCIÓN CONTRA INCENDIOS

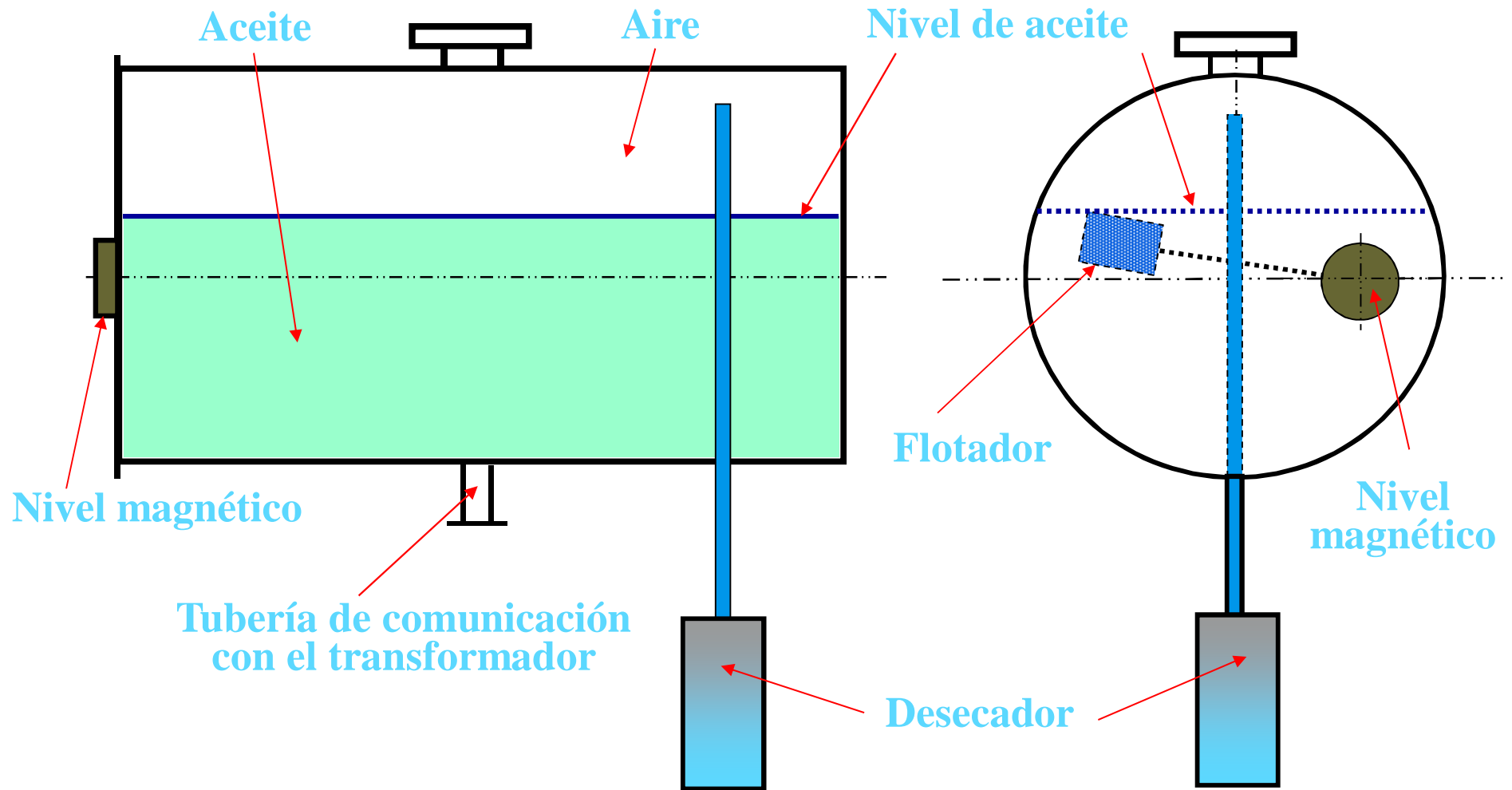
Válvula de alivio



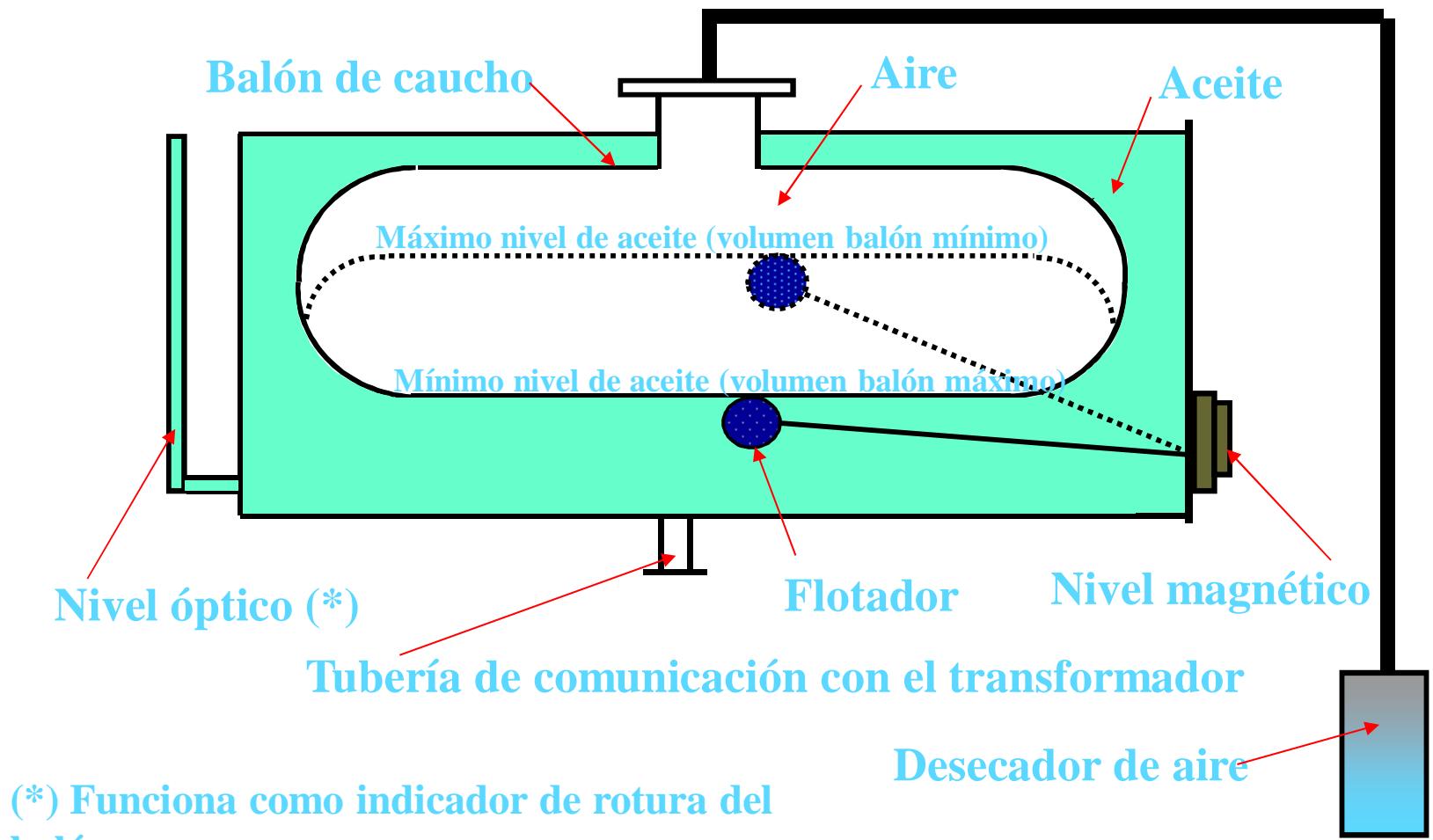
Chimenea de sobrepresión



Sistema de preservación de aceite Al aire



Sistema de preservación de aceite Transformador sellado



(*) Funciona como indicador de rotura del balón

Indicador de nivel

Nivel magnético

